

ЕЖЕМЕСЯЧНЫЙ
НАУЧНО-
ТЕХНИЧЕСКИЙ
И ПРОИЗВОДСТВЕННЫЙ
ЖУРНАЛ
МИНИСТЕРСТВА
ПРОМЫШЛЕННОСТИ
СТРОИТЕЛЬНЫХ
МАТЕРИАЛОВ СССР

Строительные материалы №10

(418)

ОКТЯБРЬ

Издается с января 1955 г.

1989

Содержание

СОВЕРШЕНСТВОВАНИЕ ТЕХНОЛОГИИ И ОРГАНИЗАЦИИ ПРОИЗВОДСТВА

АШМАРИН Г. Д., ШЕЙНМАН Е. Ш. Высокомеханизированный завод малой мощности по выпусканию керамического кирпича полусухого прессования	2
ГРИЦАНС В. М. Определение производительности технологических линий и транспортных потоков на заводах керамических стеновых материалов	4
ЭЙДУКЯВИЧЮС К. К., АБРАМОВ Г. П., ГОРДОН Я. М., ИШУТИНОВ А. Д., САВОЧКИН Н. Г., ПАЩЕНКО А. Н. Управляющие воздействия на ход ваграночного процесса в производстве минеральной ваты	6
СТАРОМИНСКАЯ Г. А., ГЕРШМАН С. Л., ЧЕРКАССКИЙ И. М., МИРОНЕНКО Н. Г., ДАНИЛЕВИЧ А. В., ДУТЧАК Л. Г. Реконструкция шахтных печей на природном газе	8

РЕСУРСОСБЕРЕЖЕНИЕ

ВЫСОЦКИЙ С. А., БРУССЕР М. И., СМИРНОВ В. П., ЦАРИК А. М. Оценка эффективности и классификации минеральных добавок к цементам и бетонам	9
ПЕТРОВ Н. А. Критерии определения оптимальных параметров разработки песчано-гравийных месторождений земснарядами	12
КАРАСЕВ Ю. Г., КОНКИН В. В. Выбор направления развития горных работ на карьерах природного камня	13
КАГАНОВИЧ М. И., МИШЕЛЬ З. Г., ШЕХТМАН Л. Е. Ускорение твердения асбестоцемента с помощью дистиллерной жидкости	15

НОВЫЕ И УЛУЧШЕННЫЕ МАТЕРИАЛЫ

МАРТЫНЮК В. И., ЛЕОНОВИЧ А. А. Огнезащищенные древесно-стружечные плиты	17
ЛАРКИНА В. И. Новое поколение водно-дисперсионных клеящих мастик для строительного назначения	18
ТАРАСОВА Г. И., ИЛЬЧЕВ И. Е., ПАУС С. К. Сухая побелка и бензилифная шпаклевка	20

ПРИБОРЫ И АВТОМАТИКА

ЩЕРБАКОВ П. Н. Электронно-вычислительная система контроля загрузки автомобилей	21
--	----

РЕЗУЛЬТАТЫ НАУЧНЫХ ИССЛЕДОВАНИЙ

ГОРЛОВ Ю. П., РАЕВСКАЯ Г. С., ВАГАПОВА Р. В., УСТЕНКО А. А. К вопросу прогнозирования срока службы кристаллизующихся минеральных волокон	23
ЧЕРНЫХ В. Ф., ОГУРЦОВА О. С., НЕХОРОШЕВ А. В. Реологические свойства цементно-песчаных смесей при повторном перемешивании	24
БИРМАНТАС И. Ю., ВАЙЦЕКАУСКЕНЕ Г. Ю., КАМИНСКАС А. Ю., СТУЛЬПИС С. А. О стойкости некоторых силикатов к воздействию угольной кислоты	26
МИХАЙЛОВИЧ Н. Г., ГЛОТОВА Н. А., ГОРШКОВ В. С. Методика определения плотности гелеобразования пластифицированного полизинилхлорида	28
НИКОНОВА Н. С., МИЮШИН В. В., ТИХОМИРОВА И. Н. Кинетика фазообразования и твердения известково-кварцевого вяжущего с добавкой алюмината натрия	29



МОСКВА
СТРОЙИЗДАТ

Совершенствование технологий и организаций производства

УДК 668.71/65.011.84

Г. Д. АЦМАРИН, канд. техн. наук, Е. Ш. ШЕЙНМАН, канд. техн. наук
(ВНИИ стеновых и вяжущих материалов)

Высокомеханизированный завод малой мощности по выпуску керамического кирпича полусухого прессования

Проблема создания механизированного производства кирпича малой мощности является в настоящее время весьма актуальной в связи с резким увеличением сельского жилищного строительства, которое должно базироваться на местных строительных материалах.

С целью расширения сырьевой базы и учитывая отсутствие промышленных отходов в сельскохозяйственных районах страны, железнодорожного транспорта, а также необходимость упрощения технологического процесса и удешевления получаемой продукции, ВНИИстромом им. П. П. Будникова разработана новая технология производства керамического кирпича методом полусухого прессования, основанная на полусухом способе производства (рис. 1).

Метод полусухого прессования делает производство независимым от погодно-климатических условий и позволяет укладывать кирпич-сырец непосредственно на печные вагонетки, что исключает переделы по загрузке и выгрузке сушильных вагонеток и не требует парка сушильных вагонеток, рамок, приобретение и эксплуатация которых требуют больших финансовых и эксплуатационных затрат.

Особенностью разработанной технологии является обеспечение одинаковой по фракционной влажности пресс-порошка путем отработки подсушенных сырьевых материалов в стержневом смесителе, прессования изделий со сквозными пустотами на прессе СМ-1085А при удельном давлении прессования 20—30 МПа с применением пресс-форм конструкции ВНИИстрома. Досушка изделий, уложенных штабелем на печные вагонетки, осуществляется в прямоточном-противоточном тунNELЬНОЙ сушилке с рециркуляцией отработанного теплоносителя конструкции ВНИИстрома.

Обжиг изделий осуществляется в модернизированной тунNELЬНОЙ печи с автономно регулируемыми зонами, обеспечивающими ведение процесса обжига по рациональному режиму.

Разработанный ВНИИстромом технологический процесс производства кирпича методом полусухого прессования включен в проектно-сметную документацию специалистами Союзгипрострома, строительная часть проекта кирпичного завода мощностью 5 млн. шт. усл. кирпича разработана СПКБ НИИ керамики.

Размещение оборудования и технологических потоков обеспечивает ради-

предусмотрен конус глины с запасом на 6 смен. Для разработки и формирования конуса проектом предусмотрен бульдозер. Сырье в производство подается с помощью автогрузчика с ковшом. В конусе происходит ее подсушивание в естественных условиях и усреднение.

Для приема и подачи сырья установлен ящичный питатель с глиновальным телом, а далее ленточный конвейер с шириной ленты 650 мм, который транспортирует глину на камнеудельные вальцы СМ-1198А. На камнеудельительных вальцах, в которых вращаются гладкий и ребристый валки с зазором 8—10 мм, происходит переработка сырья и отделение каменистых включений. Включения собираются в кюбель на колесах, который затем вывозится в отвал.

Переработанное сырье поступает в сушильный барабан 14×2,2 м с модернизированной топкой, позволяющей эксплуатировать барабан по две смены. Сырье, высушенное в сушильном барабане до 10—12% влажности, поступает на колосниковую решетку для рассева. Фракция более 20 мм возвращается с помощью ленточного конвейера на вторичную переработку в камнеудельительные вальцы, а фракция менее 20 мм ленточным конвейером подается в бункер, под которым установлен ленточный питатель, равномерно подающий сырье в стержневую смеситель СК-19 конструкции ВНИИстрома производительностью 25 т/ч. Зерновой состав сырья, %: фракции 3—1 мм — 40—50, фракции менее 1 мм — 60—60.

Далее сырье при помощи конвейеров и элеватора подается в бункеры запаса, которые оборудованы указателями верхнего и нижнего уровней и вибровдообрушителями. Под бункерами установлены ленточные питатели, дозирующие пресс-порошок в мешалку пресса СМ-282 обеспечивающую устранение расслоения материала по фракциям. Прессование кирпича производится на прессе СМ-1085А.

Отбор сырца от пресса и укладка в пакеты на печную вагонетку производятся с помощью автомата-садчика конструкции Камышловского завода керамических стеновых материалов (Свердловская обл.). Габариты печной вагонетки, мм: ширина — 2140, длина — 1985, высота футеровки от головки рельса — 705 колеса — 900.

Садка сырца на печную вагонетку осуществляется на «пастель» в 18 рядов по высоте в единичный пакет емкостью 850 шт. Груженая кирличом вагонетка подается на исходную позицию перед сушилкой или в состав запаса на 3-ю смену на участке между садчиком и сушилкой.

Проталкивание состава в сушилку осуществляется в такой последовательности: открываются входная и выходная двери сушилки и гидротолкатель СМК-101А проталкивает весь состав на одну позицию. Вагонетка из сушилки подается на электропередаточную тележку, закрываются входная и выход-

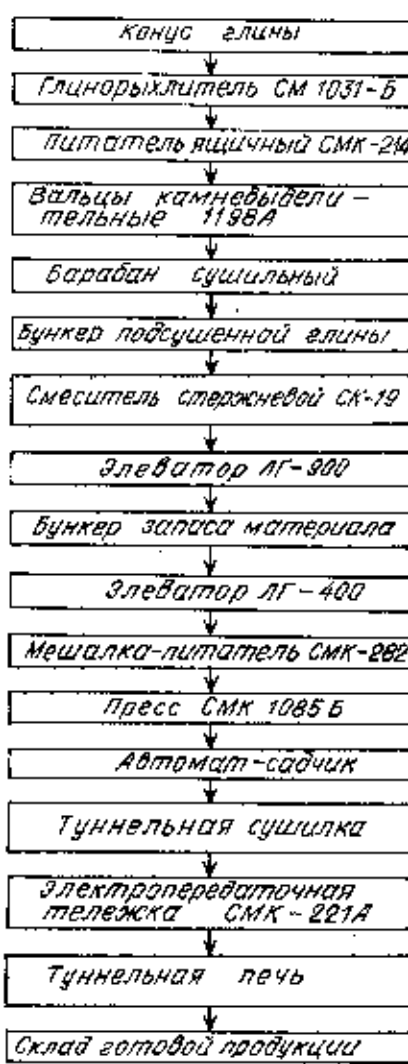


Рис. 1. Технологическая схема производства кирпича полусухого прессования

Рис. 2. Отопительно-вентиляционная система туннельной сушки и кривая влагоотдачи

ная двери сушки и вагонетка поступает в зону действия гидротолкателя печи. При наличии вагонетки в зоне действия гидротолкателя сушки оператор открывает входную дверь и гидротолкатель за два дополнительных хода подает вагонетку на первую позицию.

Сушка сырца производится в туннельной сушке с рециркуляцией отработанного теплоносителя конструкции ВНИИстриома. В качестве агента сушки служит смесь горячего воздуха, отбираемого из зоны охлаждения туннельной печи, рециркулята и атмосферного воздуха.

По принципу движения теплоносителя сушка прямоточно-противоточная с двумя автономно регулируемыми зонами. Кроме того, в каждой зоне сушки установлено по одной рециркуляционной системе, осуществляющей поперечное движение теплоносителя, причем первая рециркуляционная система подает теплоноситель справа налево, а вторая — слева направо. Таким образом, направление движения теплоносителя в процессе сушки изменяется во взаимно перпендикулярных плоскостях относительно поверхности высушиваемых изделий. В каждую из рециркуляционных систем предусмотрена также дополнительная подача свежего теплоносителя, что расширяет пределы регулирования параметров сушки. Подачу агента сушки осуществляют в межплатковое пространство между поз. 10—11.

Первая рециркуляционная система осуществляет отбор теплоносителя с рабочего канала сушки на 7-ю и 8-ю поз. слева по ходу движения вагонеток, а подача его в сушку осуществляется на этих же позициях справа и сверху на 5-ю поз. через узкие щели в своде.

Вторая рециркуляционная система отбирает теплоноситель из рабочего канала сушки справа через щели в стенах на 12—13-ю поз., подача его в сушку осуществляется на тех же позициях слева. «Подпитку» рециркулята осуществляют горячим воздухом, отбиравшим из зоны охлаждения туннельной печи. Отопительно-вентиляционная система сушки и кривая влагоотдачи приведены на рис. 2.

Параметры работы сушки

Продолжительность сушки, ч.	20
Относительная влажность из- делий, %:	
до сушки	11
после сушки	4
Параметры теплоносителя:	
свежего — объем, м ³ /ч	7500
температура, °С	100
в смеси с рециркулятом:	
объем, м ³ /ч	19 100
температура, °С	65

Обжиг кирпича производится в модернизированной туннельной печи с автономно регулируемыми зонами системы ВНИИстриома (рис. 3).

Проталкивание состава вагонеток в печи осуществляется при условии отбора последней вагонетки из печи и закрывания выходной двери. Затем, при

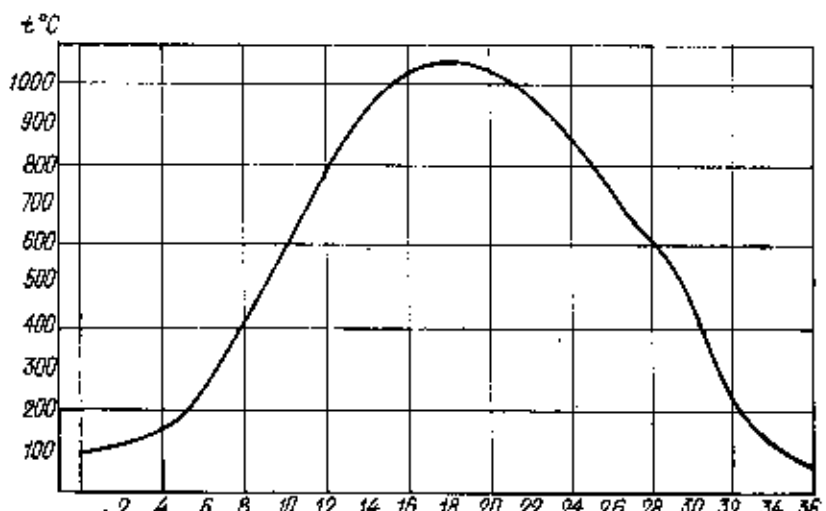
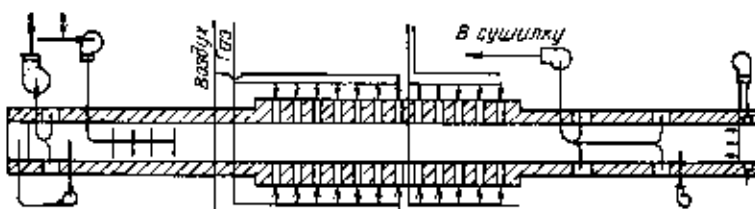
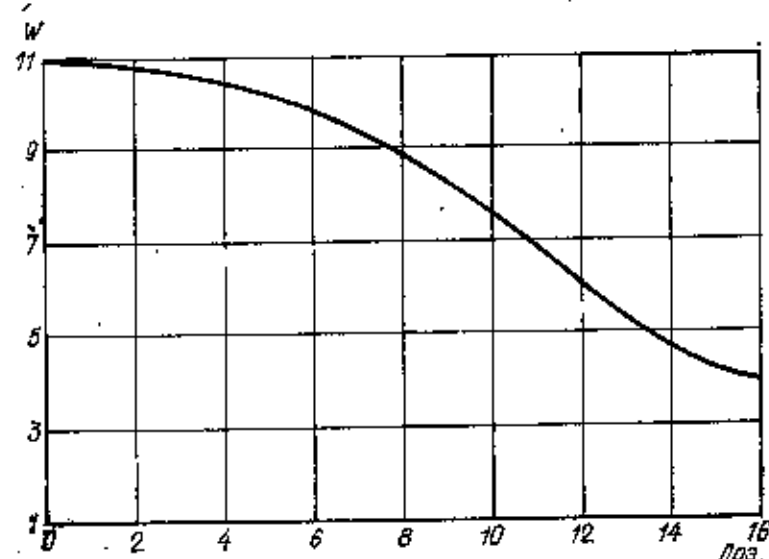
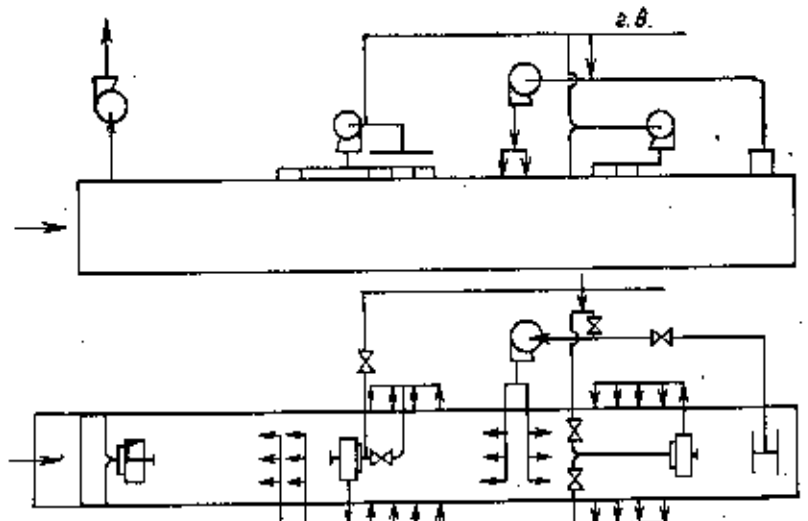


Рис. 3. Отопительно-вентиляционная система печи и температурный режим обжига

поднятой внутренней двери печи, происходит проталкивание состава и вы свобождение форкамеры печи, после чего внутренняя дверь закрывается и очередная вагонетка поступает в форкамеру.

Для уменьшения подсосов холодного воздуха в обжигательный канал печи и обеспечения постоянного нагрева изделия в начале печи предусматривается форкамера (одна позиция) с двумя дверями. В форкамере осуществляется подача теплого воздуха отбрасываемого из подвагонеточного канала печи.

С целью гибкого регулирования температурных и газовых режимами обжига, обеспечивающими эффективное использование теплоты тощилы, содержащегося в изделиях, а также устранения основного недостатка конструкции туннельных печей — неоднородности температурного поля по сечению обжигательного канала печи — в зоне подготовки печи предусмотрены рециркуляционная система и дополнительный источник теплоты.

Рециркуляция осуществляется путем подачи отработанных дымовых газов в печь через узкие щели шириной 30—40 мм в своде печи. Щели расположены в местах над разрывами между пакетами садки по всей ширине печи между поз. 4—5, 5—6, 6—7 и 7—8. Скорость рециркулята, поступающего в печь, должна составлять 12—16 м/с. Это обеспечивает создание воздушных завес, препятствующих прохождению горячих газов по подводовому пространству печи. В трубопроводе перед рециркуляционным вентилятором предусматривается установка патрубка с шибером для подсоса холодного воздуха, что обеспечивает тонкое регулирование температуры рециркулята.

Зона обжига оборудована 24 горелками с широким диапазоном регулирования соотношения газ — воздух, которые разделены на две группы, каждая из которых автономно регулируется.

Зона охлаждения в предлагаемой конструкции разработана таким образом, чтобы обеспечить охлаждение изделий по рациональному температурному режиму, т. е. медленное охлаждение на 50—100°C от максимальной температуры обжига, затем ускоренное охлаждение до начала модификационных изменений кварца, замедленное охлаждение в период его модификации, затем интенсивное охлаждение до температуры выгружаемых изделий из печи. С этой целью в зоне охлаждения устанавливается приточно-вытяжной вентилятор.

Замедленное охлаждение на участке модификационных превращений кварца обеспечивается путем распределенного регулируемого отбора горячего воздуха на этом участке.

Для интенсивного охлаждения изделий на безопасном температурном участке (от 500 до 50°C) на последнюю позицию зоны охлаждения подается атмосферный воздух через отверстия, расположенные в стенах печи, и через щель, расположенную в своде печи.

В конструкции печи применен управновешенный аэродинамический режим между обжигательным и подвагонеточным каналом путем создания в послед-

ней приточно-вытяжной вентиляции. Для этого осуществляют подачу воздуха в подвагонеточный канал в районе 32-й поз. и отбор воздуха из него на 3-й поз.

В печном отделении предусмотрены участки ремонта футеровки вагонеток и ремонта их ходовой части. Для загрузки печных вагонеток предусмотрены три поста разгрузки по 1 вагонетке. Для разгрузки установлены рамы с отметкой, одинаковой с отметкой пода печных вагонеток. Разгрузка производится вручную на поддоны. Поддоны с кирпичом автологогрузчиком с вилами перевозятся на склад готовой продукции. Погрузка на автотранспорт производится также с помощью вилочного автологогрузчика.

Параметры работы туннельной печи

Продолжительность обжига, ч	48
Максимальная температура обжига, °С	1060
Вид топлива	природный газ
Состав шихты, %:	
глина	95
бурый уголь	5
Общий удельный расход условного топлива в печи (с учетом теплоты горячего воздуха, отбираемого из сушки), кг на 1 тыс. шт.	235,5,1000
Габариты рабочего канала печи, м:	
длина	74,4
ширина	2
Количество позиций в форкамере	36
Параметры отработанных дымовых газов печи:	
объем, м³/ч	8300
температура, °С	100
Параметры рециркуляции:	
объем, м³/ч	8280
температура, °С	100

Параметры горячего воздуха, отбрасываемого из печи в сушку:

объем, м³/ч	7000
температура, °С	120
Параметры холодного воздуха, подаваемого в зону охлаждения печи:	
объем, м³/ч	4000
температура, °С	13
Горелки боковая	ГНП-2

В проекте применено серийное технологическое оборудование для переработки, подсушки и транспортировки сырья, прессования кирпича-сырца, передвижения печных вагонеток. Нестандартизированное оборудование, применившееся в проекте: стержневой смеситель, автомат-садчик на печные вагонетки, туннельные сушилки и печь.

Численность работающих производственного назначения — 40 чел., в том числе: начальник и мастер смены — 4, рабочие по обслуживанию технологического оборудования и тепловых агрегатов — 26, рабочие по ремонту футеровки вагонеток, дежурные электрики, слесарь, водитель погрузчика — 10.

Стойкость технологической части главного производственного корпуса составляет 904,2 тыс. р., в том числе: приобретение и монтаж технологического оборудования и сушильного барабана 302,08; приобретение и монтаж приборов КИПиА 19,47; туннельная печь (общестроительные работы) 87,708; туннельная сушилка (общестроительные работы) 19,47.

В настоящее время заканчивается строительство завода по указанному проекту в г. Махарадзе Грузинской ССР.

УДК 666.14.72.65.111.4.001.2

В. М. ГРИЦАНС, инж. (Проектное отделение ВПНИИ теплоизоляции, г. Рига)

Определение производительности технологических линий и транспортных потоков на заводах керамических стеновых материалов

Анализ работы некоторых заводов по производству стеновых керамических материалов показывает, что в ряде случаев они не достигают проектной мощности. В значительной степени это связано с тем, что применяемая при проектировании методика расчета производительности поточных и технологических линий далеко не совершенна.

В современном производстве единицы оборудования объединены в поточные линии (формование, массоподготовка, и др.) связями (конвейерами и др.). Эксплуатационная производительность линий определяется по оборудованию с самой низкой производительностью. Поточные линии и отдельные виды оборо-

дования объединены в технологическую линию, имеющую самостоятельную производственную программу по выпуску продукции.

Связями между поточными линиями здесь служат щихтозапасники, буферные емкости, возвратные и резервные пути для сушильных и печных вагонеток и др. Эксплуатационная производительность технологической линии определяется производительностью отдельного оборудования или эксплуатационной производительностью ведущих поточных линий, например автоматической поточной линией формовки.

Целесообразно положить в основу

расчетов отдельных видов оборудования и поточных линий три взаимосвязанные виды производительности: конструктивную, техническую и эксплуатационную. Другие определения, как, например, паспортная, реальная, средняя, цикловая производительность и др. во избежание путаницы применять не следует.

Конструктивная производительность P_k определена заданием на конструирование оборудования с расчетно-теоретическим обоснованием.

Техническая производительность P_t показывает максимальные возможности оборудования в единицу времени в данных условиях при непрерывной работе и определяется хронометражем. Поставляемое машиностроителями оборудование характеризуется только конструктивной производительностью, которая под влиянием многих факторов (реологических свойств сырья, степени переработки влажности, качества и количества добавок и т. п.) всегда бо́льше технической производительности.

Эксплуатационная производительность P_e рассчитывается при проектировании, а также определяется хронометражем.

Между указанными определениями существует соотношение

$$P_k \geq P_1 \geq P_0. \quad (1)$$

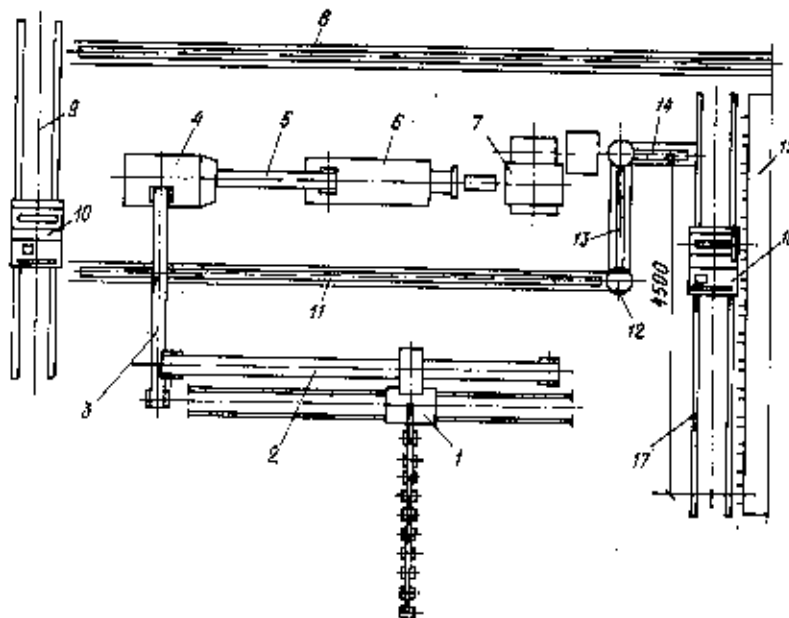
Расчет эксплуатационной производительности производится следующим образом:

$$P_3 = K_{T,N}^{-1} K_{\text{HS}} K_{T,n} P_T, \quad (2)$$

где $K_{t,a}$ — коэффициент технического использования оборудования с учетом планово-предупредительного ремонта; При непрерывной работе (365 дней в году) следует принимать равным 0,9. При прерывной работе (300 дней в году) — 0,93 (это значение $K_{t,a}$ может быть применено только для отдельного оборудования, при расчетах поточных линий его использовать нельзя); $K_{v,a}$ — коэффициент использования внутрисменного времени оборудования, предусматривает неизбежные потери на чистку, смазку, подналадку и мелкий ремонт оборудования, потери времени при передаче смены по уборке рабочего места: при трехсменной работе его следует принимать равным 0,9, при двухсменной работе — 0,97; $K_{t,p}$ — коэффициент неизбежных технологических потерь, определяется по нормам потерь в производстве (объемные потери сырья, %: при добыче и транспортировке — 1—2; при сушке — 2; при обжиге — 3).

Отечественный и зарубежный опыт эксплуатации поточных линий показывает, что общий коэффициент использования оборудования их составляет 0,7—0,9 с учетом всех планово-предупредительных ремонтов входящего в состав линии оборудования.

Следует различать две группы оборудования. При проектировании необходимо в первую очередь рассчитывать производительность главных поточных линий, включающих в себя массоперерабатывающее и формоизменяющее оборудование — первая группа. При расчетах производительности линии с большим количеством оборудования второй группы, куда входят электропрерывательные



Технологическая схема производства керамического кирпича.
 1 — многоковшовый экскаватор; 2 — ленточный конвейер; 3 — денточный конвейер; 4 — гранито-
 мешалка с фильтрующей решеткой; 5 — ящичный конвейер; 6 — пресс; 7 — автомат-укладчик;
 8 — толкатели изогнутых сушильных вагонеток; 9 — реальный путь; 10 — электроприводятческая
 тележка; 11 — толкатель подачи сушильных вагонеток; 12 — половоротный круг; 13 — толкатель
 изогнутой подачи сушильных вагонеток; 14 — толкатель вывода сушильных вагонеток; 15 —
 сушмака туннельная; 16 — электроприводятческая тележка; 17 — реальный путь

лежки, толкатели, конвейера и следует ориентироваться на технические возможности главных поточных линий.

Ввиду незначительной разницы между значениями P_k и P_1 для оборудования второй группы при расчете эксплуатационной производительности линии можно пользоваться величиной P_k и нельзя принимать при определении производительности оборудования первой группы.

Для первой группы оборудования проектные организации вместе с заданием на проектирование кардинально с технологическим регламентом и рекомендациями по режимам тепловой обработки должны получать данные о составе оборудования и его технической производительности, определенной хронометражем при испытаниях сырья данного месторождения. Для безошибочного определения эксплуатационной производительности это условие обязательно.

Для иллюстрации проведем расчет эксплуатационной производительности фрагмента технологической линии (см. рисунок) производства кирпича (двухсменная работа, 305 рабочих дней в году).

Автоматическая поточная линия формовки: 1, 4, 5 — оборудование первой группы, 2, 3, 5, 7 — второй. Состав оборудования: многоковшовый экскаватор ($P_t=20$ м³/ч), глиномешалка с фильтрующей решеткой ($P_t=18$ м³/ч), пресс ($P_t=15$ м³/ч, или 6400 шт. кирпича в 1 ч); автомат-укладчик ($P_k=10\ 000$ шт. кирпича в 1 ч) (23 м³/ч), ленточные конвейеры ($P_k=16$ м³/ч).

Для определения эксплуатационной производительности автоматической поточной лаккии коэффициент K_x вычисляем по уравнению

$$K_{\pi, n} = \frac{1}{1 + K}, \quad (3)$$

где K — сумма результатов хронометражных наблюдений потерь производительности и определяется

$$K = (K_1 + K_2 + K_3 + \dots + K_n) / K_n, \quad (4)$$

где $K_1, K_2, K_3, \dots, K_n$ — коэффициенты потерь производительности во времени всех видов оборудования поточной линии (на устранение неисправностей, замену инструмента, отсутствие энергоснабжения, настройку и др.); K_p — коэффициент наложения потерь производительности по времени.

Определим значение $K_{\text{ж}}$ за конкретном примере работы автоматической формовочной линии с продолжительностью смены 8 ч: простой поточной линии в течение 30 мин по принципу двойни заводской системы энергоснабжения — коэффициент потеря производительности по времени $K_1=0,06$; замена струи автомата-резчика заготовок 10 раз по 3 мин — $K_2=0,06$; замена гибкого кабеля многоковшового экскаватора 45 мин — $K_3=0,09$; заменка вентиля в линии подачи пара к глинохемашке 60 мин — $K_4=0,12$.

Для вычисления коэффициента износа потерь производительности во времени K_p следует учесть, что замена гибкого кабеля многоковшового экскаватора ($K_p = 0,09$) происходила во время замены вентиля в линиях подачи пыли в грохотомешалку ($K_p = 0,12$).

Выясняем коэффициент изложе-

$$K_0 = \frac{K_3}{K_1 + K_2 + K_3} = 0.375, \quad (5)$$

тогда по (4) $K = 0,12$, затем по формуле (3) определяем $K_{\text{т.}}$, который в данном случае равен 0,89.

В этом случае эксплуатационная производительность линии будет согласно формуле (2) $P_{\text{л}} = 0.89 \times 0.97 \times 6400 = 5504$ шт. кирпича в 1 ч, или 26 млн. шт. кирпича в год.

Порядок проектирования полуавтоматической поточной линии транспортировки сушильных вагонеток следующий: устанавливаются все необходимые операции потока и состав оборудования, рассчитываются ритм потока, скоростные и силовые характеристики звеньев.

Все оборудование линии (8, 10, 11, 12, 13, 14, 16) относится ко второй группе, следовательно, эксплуатационная производительность равна P_e . Кроме того, эксплуатационная производительность должна быть ориентирована на производительность линии Формовки (главную поточную линию) и должна составлять не менее 5504 шт. кирпича в 1 ч.

Одной из главных характерных особенностей поточной линии транспортировки является ритмичность.

В данном примере под ритмичностью понимается время загрузки сушильной вагонетки автоматом-укладчиком и определяется

$$P = \frac{60 P}{P_e} = \frac{60 \cdot 240}{5504} = 2,61 \text{ мин.} \quad (6)$$

где P — количество кирпича на сушильной вагонетке, шт.; P_e — эксплуатационная производительность формовочной поточной линии, шт. в 1 ч.

Скоростные характеристики отдельных механизмов линии подбираются исходя из того, что суммарное время работы механизма при обработке вагонетки (как порожней, так и груженой) должно соответствовать равенству:

$$t = P K_{t,v} K_{v,w} = 2,61 \cdot 0,89 \cdot 0,97 = 2,25 \text{ мин.} \quad (7)$$

Минимальная необходимая скорость транспортирующих механизмов

$$V = \frac{2l}{60 P K_{t,v} K_{v,w}}, \text{ м/с.} \quad (8)$$

Во избежание повышенных скоростей при передаче вагонеток на большие расстояния на возвратных путях следует применять штанговые шаговые устройства с возвратно-поступательным движением, где l — длина сушильной вагонетки, м. Отрицательным моментом при использовании таких транспортирующих устройств является незначительное увеличение парка сушильных вагонеток.

Коэффициент загрузки электропередаточной тележки, отражающий фактическую ее загрузку в расчетном ритме, определяется по формуле

$$K_s = \frac{P_r}{P_n}, \quad (9)$$

где P_r — расчетное число электропередаточных тележек; P_n — принятое число электропередаточных тележек.

Коэффициент загрузки оборудования полуавтоматических и автоматических поточных линий всегда меньше единицы, для немеханизированных и механизированных линий допустимо некоторое увеличение K_s до 1,1—1,15 за счет возможностей интенсификации работы, улучшения организации рабочих мест и др.

Опыт эксплуатации показывает, что более устойчиво и экономически эффективно работают поточные линии, где оборудование подобрано с коэффициен-

том загрузки 0,8—0,9. При более низком значении недогруженное оборудование следует заменить другим с меньшим значением P_e . Соответствующие мероприятия следует применять и при проектировании поточных линий, когда $K_s > 1$. Кроме того, значение коэффициента загрузки следует учитывать при составлении графиков профилактических осмотров и планово-предупредительных ремонтов при эксплуатации.

Таким образом, полуавтоматическая поточная линия транспортировки сушильных вагонеток (см. рисунок) состоит из оборудования со следующими техническими характеристиками: толкатели штанговые 8, 11 с шагом толкания 1500 мм и минимальной скоростью

толкания 0,02 м/с, поворотных кругов, 1/2, толкателя 14 с полным циклом работы не более 2,25 мин, электропередаточной тележки 16 с коэффициентом загрузки $K_s = 0,37$, электропередаточной тележки 10 без механизма подъема цветной.

Использование настоящей методики при подборе оборудования и определении эксплуатационной производительности поточных и технологических линий керамических производств дадут возможность сравнивать технико-экономические показатели проектируемых предприятий и действующих производств, выявлять целесообразность принимаемых проектных решений, позволяют повысить производительность труда на предприятиях.

УДК 666.198:661.745.012

К. К. ЭЙДУКЯВИЧЮС, канд. техн. наук, Г. П. АБРАМОВ, канд. техн. наук, (ВПНИИ теплоизоляция), Я. М. ГОРДОН, канд. техн. наук, А. Д. ИШУТИНОВ, инж. (Уральский политехнический институт), Н. Г. САВОЧКИН, инж., А. Н. ПАЩЕНКО, инж. (Ростовский завод жестких минераловатных плит)

Управляющие воздействия на ход ваграночного процесса в производстве минеральной ваты

Анализ результатов расчетных, модельных и натурных [1, 2] исследований позволяет заключить, что для улучшения тепловой обработки шихты, уменьшения расхода кокса и увеличения производительности вагранки есть управляющие воздействия, которые могут быть реализованы без дополнительных капитальныхложений. С этой целью были проведены натурные исследования по оптимизации теплового и газодинамического режимов работы вагранки на Ростовском заводе жестких минераловатных плит.

На этом заводе эксплуатируется вагранка диаметром в зоне фурм 1450 мм. Агрегат оборудован 22 фирмами диаметром 40—60 мм, испарительной системой охлаждения, радионизотопным уровнемером, автоматизированной системой дозировки и загрузки шихты («труба в трубе»), снабженной ЭВМ фирмы «Флайстер». Система дозировки и загрузки обеспечивает постоянную высоту загрузки шихты, равную 4,6 м. В днище выполнено отверстие для слива металла, который поступает в приемник и удаляется из цеха. Вагранка освещена автономным воздухонагревателем, позволяющим нагревать дутьевой воздух до 500°C при его расходе 6000—7000 м³/ч.

Воздух в вагранку подается вентилятором высокого давления — до 6 КПа. Второй вентилятор — заасной.

Предусмотрена очистка дымовых газов от пыли и сернистых соединений мокрым способом.

В качестве топлива используется лигнитный кокс марки КЛ-1 Горловского коксохимического завода со следующими характеристиками: влажность — 9%; содержание серы — до 1%; зольность — 11,5%.

В качестве сырья используются: габбро-диабаз Крутогорского, известняк Жирновского месторождений и доменный шлак Мариупольского комбината «Азовсталь». Химические составы материалов приведены в табл. 1, а зерновой состав — в табл. 2.

Для выяснения факторов, обусловливающих увеличение производительности и стабилизацию процесса плавления, были проведены исследования по определению теплового и газодинамического режимов работы вагранки. В ватержете были установлены два штуцера с внутренним диаметром 22 мм, обеспечивающие введение измерительных зондов внутрь рабочего пространства печи для замера температур в 8 точках по двум взаимно перпендикулярным диаметрам вагранки. Схема расположения штуцеров, измерительных точек и фурм показана на рис. 1.

Измерительный датчик представляет собой зонд, выполненный на основе хромель-алюмелевой термопары, которую вводили внутрь зонда. В качестве вторичного прибора использовали милливольтметр Ф-226.

В результате эксплуатации вагранки на Ростовском заводе жестких минераловатных плит был отработан режим работы на 20 и 22 фурмах. Две фур-

мы в процессе эксплуатации были заварены (на рис. 1 эти фурмы обозначены светлым треугольником). Результаты измерений температуры газов представлены на рис. 2 и 3. Кривые, изображенные на рис. 2, иллюстрируют распределение температур в неуставновившемся режиме по диаметру печи.

Анализ полученных результатов позволяет сделать вывод, что в вагранке тепловые процессы в нестационарном режиме происходят неравномерно. Эта неравномерность характеризуется явно периферийным ходом агрегата. Так, например, для кривых 1, показывающих распределение температур в вагранке через 1 ч после пуска, отношение значений температуры в 8-й измерительной точке и в центре равно 3,23 и 7 для 1 и 2 штуцеров соответственно. Колебания отношений температур в 1-й измерительной точке и в центре вагранки несколько меньше и составляют 2 и 3,48.

По мере увеличения времени непрерывной работы печи неравномерность температурного поля по сечению вагранки уменьшается. Так, например, для кривой 2 (см. рис. 2, а), которая иллюстрирует распределение температур по диаметру, проходящему через штуцер 1, через 2 ч после пуска вагранки отношение максимальной и минимальной температур составляет уже значение, равное 2,7, причем, максимум температур сместился к 1-й измерительной точке. Для штуцера 2 характер температурного поля изменился незначительно, при этом отношение максимального и минимального значений температур равно 4,5. Однако неравномерность распределения температур, измеренных через штуцер 1, уменьшилась лишь в 1,2 раза, в то время как для штуцера 2 — в 1,55 раза.

После истечения времени переходного процесса (около 4 ч или времени проплавки 1,5—2 объемов материала) устанавливается стационарное температурное поле, которое иллюстрирует сплошные линии рис. 3. Анализ полученных результатов позволяет заключить, что при устойчивой работе вагранки также наблюдается существенная неравномерность температурного поля по ее сечению, причем, как и для нестационарного режима, неравномерность распределения температур, измеренных через штуцер 1, существенно меньше, чем измеренных через штуцер 2 (отношение максимальной и минимальной температур равны 2,66 и 3,55 соответственно). Однако, если для диаметра печи у штуцера 1 наблюдается явно периферийный ход печи, то для 2-го штуцера максимум температур наблюдается в 8-й измерительной точке, причем падение температур к 1-й точке происходит монотонно.

При стационарной работе вагранки производительность печи по расплаву составила 2,8 т/ч.

Одним из существенных факторов, с помощью которых можно управлять газораспределением, является кинетическая энергия дутья. Поскольку центр вагранки плохо продувается, то, очевидно, требуется увеличение энергии дутья. При этом общий расход дутья на печь остается неизменным, поскольку, во-первых, производительность вагранки лимитируется мощностью техно-

Таблица 1

Сырьевые компоненты	Содержание оксидов, % по массе							
	SiO ₂	Al ₂ O ₃	Fe ₂ O ₃	CaO	MgO	K ₂ O	Na ₂ O	п. п.
Габбро-диабаз	53,66	15,91	18,14	6,24	5,3	—	2,74	3,16
Доменный шлак	38,63	11,83	0,43	43,37	5,22	0,28	0,98	—
Известняк	0,68	0,1	0,34	54,72	0,65	—	0,54	42,94

Таблица 2

Сырьевые компоненты	Зерновой состав, % по массе, при размере зерна, мкм			
	20	20—40	40—70	70—120
Габбро-диабаз	2	25	45	28
Доменный шлак	5	30	40	25
Известняк	2	34	54	10

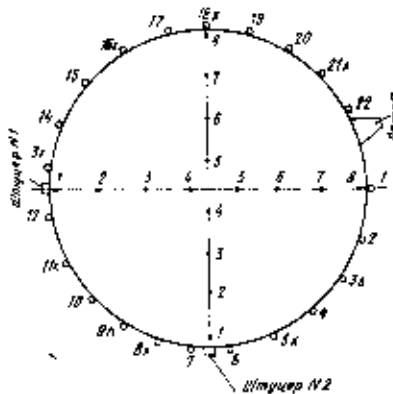


Рис. 1. Схема расположения измерительных точек, фурм, штуцеров и фурменных заглушек на вагранке. Цифры на диаметрах — измерительные точки; цифры на окружности — номера фурм; Δ — фурма аварийка; \times — фурма перекрыта

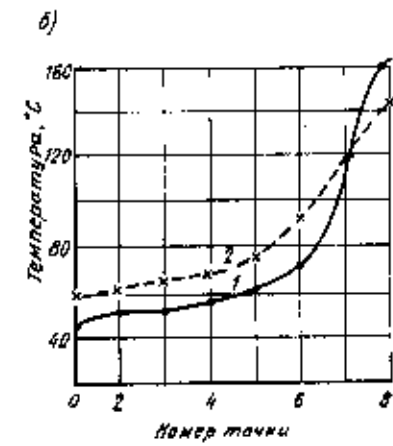
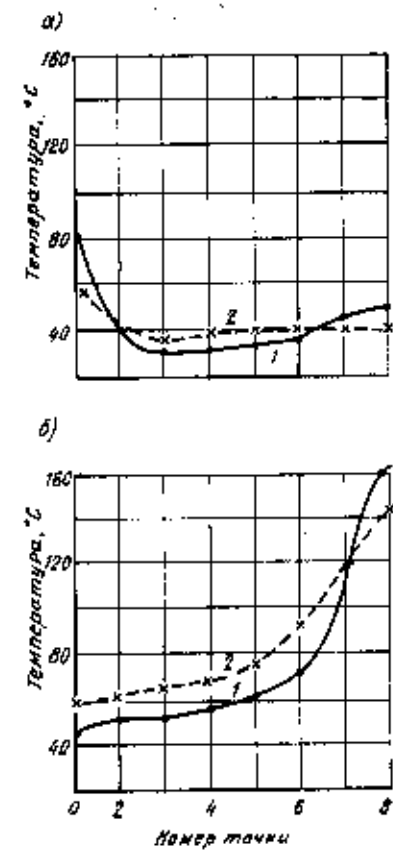


Рис. 2. Распределение температур по диаметрам вагранки (востановленный режим), замеренных через 1 (а) и 2 (б) штуцера: 1 — замеры сделаны через 1 ч после пуска; 2 — то же, через 2 ч

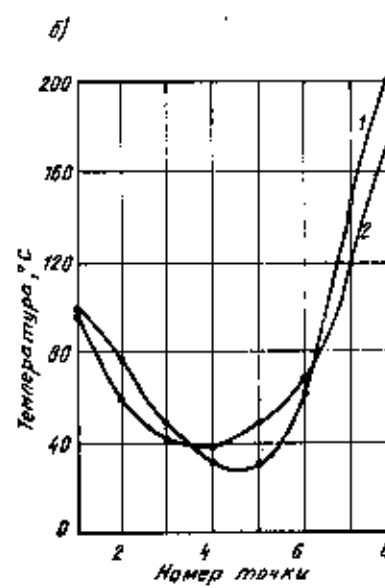
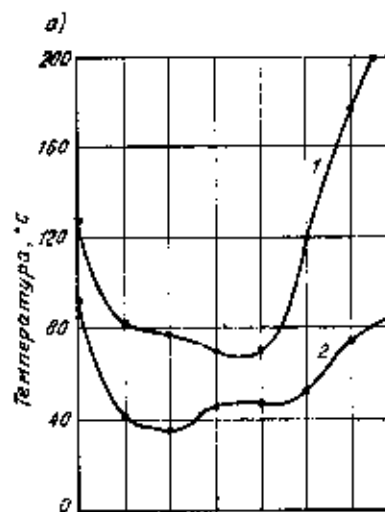


Рис. 3. Распределение температур по диаметрам вагранки (стационарный режим), замеренных через 1 (а) и 2 (б) штуцера: 1 — при работе 20 фурм; 2 — то же, 13 фурм

логической линии производства минеральной ваты, а, во-вторых, резервы дутья (как по давлению, так и по количеству) на заводе практически использованы полностью. Чтобы увеличить кинетическую энергию фурменного газопотока, одна треть фирм была перекрыта специальными заглушками (см. рис. 1). При этом, как следует из результатов предыдущих работ [1, 2], окружная неравномерность газораспределения практически не ухудшается.

Следует отметить, что в связи с неточностью изготовления заглушек попечное сечение фирм перекрывалось на 50—60%, что обеспечивало увеличение кинетической энергии дутьевого воздуха из открытых фирм почти в 1,2 раза. Результаты зондирования печи в этом

случае представлены на рис. 3.

Анализ кривой температур по диаметру печи, проходящему через штуцер 1, показывает, что отношение максимального и минимального значений температур составляет 1,6, а при диаметре, проходящем через штуцер 2 — 2,52. Иными словами, газораспределение стало более равномерным по сравнению с предыдущим вариантом работы вагранки — в среднем на 34%. При этом производительность агрегата возросла приблизительно на 11% и составила 3,1 т/ч.

Анализ полученных автор распределения температур по диаметрам вагранок позволяет сделать вывод, что резервы повышения ее производительности и сокращения расхода топлива в настоящее

время еще не исчерпаны. Дополнительно повысить эффективность работы вагранки можно путем внедрения способа ведения пларки в шахтной печи, для осуществления которого требуется оборудование фирм действующими дроссельными заслонками и обеспечение резерва тягодутьевых средств по давлению и расходу воздуха.

СПИСОК ЛИТЕРАТУРЫ

1. Оптимизация режима работы вагранки СМТ-208 / А. И. Мельник, А. А. Мальцев, Я. М. Гордов и др. // Стройт. материалы. 1987. № 3.
2. Абрамов Г. П., Экскурсия К. К., Гордов Я. М. Управление тепловым и гидравлическим работой вагранок минераловатного производства // Стройт. материалы. 1988. № 11.

УДК 666.3.041.04.668.688

П. А. СТАРОМИНСКАЯ, канд. техн. наук, С. Л. ГЕРШМАН, инж., И. М. ЧЕРКАССКИЙ, инж. (НПО «Стройматериалы»), Н. Г. МИРОНЕНКО, инж., А. В. ДАНИЛЕВИЧ, инж., Л. Г. ДУТЧАК, инж. (Трипольский завод силикатных стеновых материалов)

Реконструкция шахтных печей на природном газе

На Трипольском заводе силикатных стеновых материалов эксплуатировались две шахтные печи для обжига известня на природном газе конструкции НИИстремпроекта (г. Ташкент) проектной производительностью 100 т/сут. С целью улучшения качества известня и технико-экономических показателей работы печей осуществляла их реконструкция.

До реконструкции печи, представляющие собой шахты круглого попечного сечения с внутренним диаметром 3,2 м в зоне обжига, расширяющиеся в зоне подогрева, рабочей высотой 18 м, имели двухклапанные загрузочно-распределительные устройства с поворотной чашей на искусственной тяге, создаваемой дымососами ДН 12,5. Топливо подводилось через два яруса периферийных горелок — восемь в каждом ярусе, центральная (подовая) горелка вышла из строя. Расстояние между ярусами горелок — 3 м.

Проведенные теплотехнические испытания шахтных печей до реконструкции показали следующее. Производительность печи (по натуральной известне) — 90 т/сут; содержание активных $\text{CaO} + \text{MgO}$ в выпускаемой известне — 60,2%; температура выгружаемой известне — 250°C; расход природного газа (с теплотворной способностью $Q_p = 33100 \text{ кДж/нм}^3$) — 410 $\text{мм}^3/\text{ч}$. Средний состав уходящих печных газов, %: $\text{CO}_2 = 10,6$; $\text{O}_2 = 13,2$; $\text{N}_2 = 78,2$. Температура уходящих печных газов составляла 120°C.

Сложность изготовления и эксплуатации загрузочного устройства с поворотной чашей, недостаточная эффективность его работы привели к тому, что основной поток материала направлялся

в центральную часть шахты, где скапливались мелкие фракции, а у футеровки — крупные. Основная масса теплоносителя двигалась в кольцевом пространстве у футеровки печи, а в центральной ее части известня обжигалась при пониженных температурах. При этом средняя величина активности известня составляла 60,2%.

Наиболее совершенным загрузочно-распределительным устройством в настоящее время является лотковое устройство, в котором распределительным органом является наклонный лоток, который в зависимости от вида топлива и системы его сжигания имеет различную конфигурацию. Так, для шахтных пересыпных печей, где требу-

ется равномерно распределить карбонатное сырье и твердое топливо по сечению шахты, лоток выполняется в виде пластины с окнами и отбойниками. Для печей на газообразном топливе, где требуется направленное распределение известняка (крупная фракция — в центральной части шахты, мелкая — у футеровки), лоток выполняется в виде сплошной пластины.

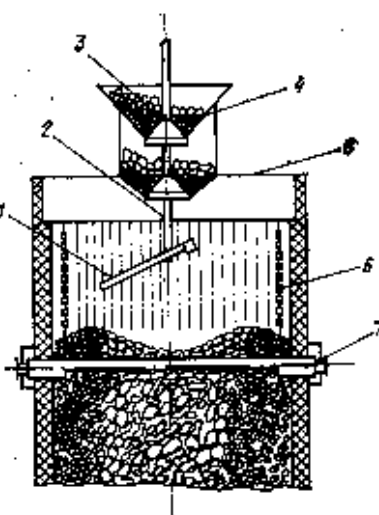
В НПО «Сахар» (г. Киев) для экспериментальной шахтной печи на ма-зуте создано загрузочно-распределительное устройство, на базе которого в НПО «Стройматериалы» разработана техническая документация на двухклапанное лотковое загрузочно-распределительное устройство для шахтных печей на газообразном топливе.

Это устройство (см. рисунок) представляет собой двухклапанную конструкцию, установленную по оси шахты. Распределение загружаемого известняка 4 по сечению шахты осуществляется при помощи наклонного лотка 1 в виде сплошной пластины, закрепленного на вертикальном валу 2, который пропущен внутрь шахты по оси запорных колоколов 3, 5.

При загрузке одной порции известняка заполняется расположенный под лотком сектор, площадь которого равна примерно 1/6 площади горизонтального сечения. После загрузки каждой порции известняка вал, на котором закреплен лоток, поворачивается на 65°. Частота вращения вала не превышает 1 об/мин, что обеспечивает его самоторможение после отключения электропривода. Вокруг лотка возле футеровки смонтирована цепная заставка 6, защищающая футеровку от ударов камня и способствующая направленному перераспределению фракций известняка по сечению шахты.

Эти устройства изготовлены на Вильковском опытно-экспериментальном машиностроительном заводе НПО «Стройматериалы» и установлены на двух печах Трипольского завода, где показали себя надежными в работе, обеспечивающими направленное распределение известняка по сечению шахты.

Установка специального короба-балки 7 для отбора печных газов, распо-



Двухклапанное лотковое загрузочно-распределительное устройство шахтной печи

ложенного ниже уровня засыпки, позволила стабилизировать температуру отходящих газов.

Ранее, при эксплуатации печей на газообразном топливе было обнаружено, что периодически происходит нарушение в движении материала по высоте шахты печи. При повышении удельных тепловых нагрузок или уменьшении выгрузки он начнет «спекаться», образует своды, так как между кусками материала нет пустот, которые образуются в пересыпных печах, работающих на твердом топливе.

Для улучшения движения материала по шахте печей конфигурация рабочего пространства шахты была заменена на коническую, с максимальным диаметром в зоне горения 3,2 м и сужающуюся в зоне подогрева.

Система ввода и сжигания природного газа в шахтных печах играет решающую роль в их работе. Эксплуатация печей на природном газе показала, что установка второго яруса периферийных горелок не вызывает необходимости. Напротив, создаются определенные трудности в регулировании процесса горения природного газа.

ВНИИстриом им. П. П. Будникова предложена конструкция центральной горелки, которая монтируется непосредственно на балке-рассекателе выгрузочного механизма. При ее применении исключается преждевременное воспламенение газа и отпадает потребность в рециркуляции.

На шахтных печах Трипольского завода двухъярусное сжигание газа в периферийных горелках было заменено на одноярусное с установкой центральной горелки конструкции ВНИИстриома. При этом был отключен нижний ярус периферийных горелок. После реконструкции были проведены промышленные испытания печей с отработкой основных теплотехнологических параметров их работы.

За время эксплуатации печей получены следующие параметры их работы. Производительность печи (натуральной извести) — 100 т/сут; содержание активных ($\text{CaO} + \text{MgO}$) в выпускаемой извести — не менее 80%; температура выгружаемой извести — до 50°C; общий расход природного газа ($Q_p^h = 33100 \text{ кДж}/\text{Нм}^3$, $\text{Нм}^3/\text{ч}$) 560 в том числе на периферийные горелки — 365—390, на центральную горелку 195—170; средний состав уходящих печных газов, %: CO_2 — 28,8%, O_2 — 5,2, N_2 — 71; температура уходящих печных газов — до 300°C.

По результатам испытаний составлены материальный и тепловой балансы (на 1 кг CaO) шахтных печей до и после реконструкции. Анализ статей балансов показал, что потери тепла с уходящими печными газами уменьшились, несмотря на повышение их температуры, что связано со значительным уменьшением их объемов. Уменьшились потери тепла с выгружаемой извести. При этом с увеличением расхода топлива на печь удельный расход тепла на 1 кг CaO снизился.

Реконструкция и промышленное освоение технологии обжига извести в шахтных печах Трипольского завода силикатных стекловидных материалов позволили увеличить производительность печей, обеспечить устойчивый выпуск извести не ниже II сорта. Годовой экономический эффект составил 216,8 тыс. р.

Ресурсосбережение

УДК 666.871.56.003.4

С. А. ВЫСОЦКИЙ, канд. техн. наук, М. И. БРУССЕР, канд. техн. наук,
В. П. СМИРНОВ, инж., А. М. ЦАРИК, инж. (НИИЖБ Госстроя СССР)

Оценка эффективности и классификация минеральных добавок к цементам и бетонам

В связи с ростом дефицита цемента, уменьшением ресурсов высококачественного сырья, увеличивающимся объемом производственных отходов и обострением экологической проблемы повышается актуальность применения различных дисперсных минеральных добавок (МД) при изготовлении цементов и бетонов.

Для рационального использования минеральных добавок большое значение имеет достоверная оценка их эффективности.

Среди действующих методов физико-механических испытаний метод, отвечающий ГОСТ 21—9—81 [1], не учитывает специфики поведения МД в сочетании с портландцементом. Предусматривает способы определения некоторых характеристик (например, водостойкости), неприемлемые для отдельных видов добавок, не позволяет оценить добавки-наполнители, хотя они также могут быть эффективны [2]. В подходе к испытаниям по методу Л. Я. Гольдштейна и др. [3] значительно упрощено описание минеральная добавка: портландцемент, искусственно затрублена дисперсность МД. Стандартные методы [1] и [4] не учитывают особенностей бетонов.

Предварительно проведенные опыты показали, что оценка эффективности использования МД во экономии цемента, достигаемой для получения бетонной смеси и бетона с заданными характеристиками, не является однозначной, а зависит от ряда факторов, в том числе от вида и химико-минералогического соста-

ва и других характеристик используемого цемента.

Иллюстрацией могут служить данные, полученные при испытаниях бетонов на различных цементах с минеральными добавками вулканического происхождения. Влияние вида цемента на эффективность использования минеральных добавок в пропаренных бетонах показано в табл. 1. Так, при использовании портландцементов с добавками (ПЦ),веденными при помоле цемента (ингарский ПЦД, с 15—20% золы-уноса, и брянский ПЦД, с 8—10% трепела), отмечена минимальная эффективность минеральных добавок, дополнительно добавляемых в бетонную смесь, вожжи при применении бездобавочных портландцементов. В свою очередь среди исследованных преимуществ имеется воскресенский [1], что, вероятно, связано с повышенным содержанием в нем щелочей (около 1,5%), в том числе более 40% быстровторущимися (в виде сульфатов), активизирующим частицы вулканического стекла. Плохая же совместимость МД с белгородским ПЦ связана, очевидно, с пониженным содержанием R_2O в клинкере (менее 0,45%).

Эффективность минеральных добавок, вводимых в бетонные смеси, в значительной степени зависит также от отношения C/B , расхода цементного теста, зернового состава песка. Поэтому даже при использовании конкретных сырьевых материалов эффективность МД в бетоне необходимо оценивать по результатам подбора не одного состава бетона, а с варирированием как минимум

Таблица 1

Вид исходного цемента	Количество добавки в исходном цементе, %	Содержание K_2O , %	Удельная экономия портландцемента \mathcal{E}_{u} при введении минеральных добавок			
			ператата	кузбасского шлака	шлакоглинеческого туфа-зольта	цеолита
Воскресенский ПЦ	—	1,45	0,97	0,83	0,31	-0,6
Спасский ПЦ	—	0,7	—	0,2	0,2	—
Белгородский ПЦ	—	0,38	—	-0,13	0,1	-0,82
Брянский ПЦД	Трепел 4—10	0,41	0,32	-0,21	0,07	—
Липарский ПЦД	Зола-унос 15—20	0,66	0,61	-0,23	-0,27	—

Приложение: ПЦ — портландцемент; ПЦД — портландцемент с минеральной добавкой, введенной при помоле цемента.

На трех уровнях значений C/R и расхода добавки. Не исключает этой необходимости и оперирование с часто используемым показателем цементирующей эффективности МД [6].

Вместе с тем для предварительной оценки и сопоставления различных МД, а также для выбора наиболее эффективных из них является выработавшая нами упрощенная оценка, которая базируется на испытаниях эталонного состава бетона при фиксированном содержании МД в цементе. Основные положения такой оценки заключаются в следующем.

1. Исходным материалом служат портландцемент M400 или M500 второй группы с активностью при пропаривании по ГОСТ 22236-85, речной кварцевый песок и гранитный щебень фракций 5-10 и 10-20 мм в соотношении 2:3 по массе. Так как с изменением крупности песка в содержании в нем тонкодисперсных фракций изменяется эффективность МД, эти показатели следует сохранять постоянными: $M_{\text{в}}=1,8 \pm 0,1$; содержание фракции менее 0,14 мм — $8 \pm 2\%$.

2. Содержание МД в смешанном цементе — максимальное по ГОСТ 22266-76, т. е. 30% по массе для добавок осадочного происхождения (кроме глинистых) и близкой к ним по свойствам добавки силикатной пыли (отхода производства ферросилиция) и 40% по массе для всех остальных добавок. При этом достаточно ярко проявляется эффект МД и в большинстве случаев обеспечивается минимально допускаемый расход портландцемента в бетоне исходя из условий сохранности арматуры.

3. В качестве эталонного выбран состав с соотношением цемент (ПЦ+МД): песок:щебень равным 1:2:3,5 по массе, из которого приготовляют смесь умеренной подвижности ($\text{OK} = 4 \pm 1$ см). При переходе к более жирным составам (например, 1:1,5:3) эффективность МД проявляется в меньшей степени. Это соответствует общей закономерности, по которой в первую очередь по мере возрастания C/R , увеличение расхода цементного теста в бетоне, повышение содержания тонкодисперсных фракций в заполнителях (менее 0,14 мм), снижение пустотности песка наблюдается уменьшение эффективности действия МД.

4. Заданную удобоукладываемость обеспечивают регулированием расхода воды, причем этот способ позволяет лучше различать добавки по качеству (в частности, по различной водопотребности).

5. Из бетонных смесей на основе портландцемента, а также на основе портландцемента и иссажаемой добавки изготавливают по 9 кубов с ребром 10 см. Из них 6 кубов пропаривают по режиму 2+3+6-2 ч при 80°C, причем 3 куба испытывают на сжатие через 1 сут после изготовления, а еще 3 — в возрасте 28 сут последующего нормального твердения. Три куба постоянно хранят в нормальных условиях и испытывают через 28 сут.

Следует отметить, что испытания кубов после пропаривания позволяют в наибольшей степени выявить различия между добавками по эффективности и

в определенной степени могут служить в качестве ускоренного метода для сравнительной оценки МД. 28-суточные испытания после пропаривания дают возможность получить более достоверное представление об эффективности МД в сравнении с портландцементом, поскольку последующее после тепловыполненной обработки твердение бетона только на портландцементе в ряде случаев протекает более интенсивно, нежели бетонов, содержащих МД.

6. В качестве показателя эффективности МД принимают удельную экономию портландцемента \mathcal{E}_d за единицу прочности бетона эталонного состава, достигаемую при введении единицы массы добавки:

$$\mathcal{E}_d = \frac{C/R - C'/R'}{C/R},$$

где n — доля добавки по массе в смешанном вяжущем (в долях единицы); C и C' — расходы портландцемента в бетонах соответственно без добавки и с минеральной добавкой; R и R' — значения прочности бетона при сжатии соответственно без добавки и с минеральной добавкой.

На основе такого подхода сделана оценка ряда МД, различающихся по природе, механизму проявления активности и по другим характеристикам, причем использованы добавки как естественной дисперсности (золошлаковые отходы, силикатная пыль), так и специальные размолотые до дисперсности, характерной для измельчения материалов в шаровых мельницах. На основе полученных данных предложена классификация минеральных добавок.

Использование показателя \mathcal{E}_d позволяет разграничить минеральные добавки

по свойствам и эффективности применения в бетоне стандартного состава (табл. 2).

По эффективности действия МД могут быть разделены на эффективные (трех групп); с $\mathcal{E}_d > 0,1$ и неэффективные с $\mathcal{E}_d < 0,1$ (табл. 3). Дальнейшее рассмотрение классификации МД основывается в первую очередь на испытаниях пропаренных бетонов, в которых эффективность добавок, как правило, проявляется более заметно.

К первой группе — высокоеффективных МД — относятся добавки, характеризуемые $\mathcal{E}_d > 0,7$, главным образом доменные гранулированные шлаки, причем для исследованных основных шлаков достигнутое значение $\mathcal{E}_d \geq 1$ свидетельствует о практической равноценности их портландцементу или даже о некотором превосходстве над ним. Высокая эффективность подобных добавок обусловлена низкой их водопотребностью (порядка 95% в сравнении с бетонной смесью стандартного состава на портландцементе) и высокой гидратационной активностью (степень гидратации основных шлаков после пропаривания по данным экстракционного анализа достигает 20% и более [6]). К этой же группе могут быть, по-видимому, отнесены тонкодисперсные белитовые шлаки и электротермофосфорные шлаки.

Ко второй группе относятся МД, обеспечивающие $\mathcal{E}_d = 0,4-0,7$ и объединяющие широкий спектр искусственного (различные виды тонких зол, силикатная пыль) и природного происхождения (в частности, осадочные горные породы — диатомит). Эффективность их изменяется в широких пределах в зависимости от механизма проявления химической активности, степени актив-

Таблица 2

Минеральная добавка	$S_d, \text{м}^2/\text{kg}$	$R/R' \text{ бетона}$	Удельная экономия цемента в бетонах, твердящих в условиях			Эффективность МД
			28 сут тепловыполненная обработка	28 сут тепловыполненная обработка	28 сут тепловыполненная обработка	
Основной доменный шлак	200	0,52	1,22	1,12	0,92	Высокая
Высокодисперсный перлит Ягодинского месторождения	660	0,51	1	0,97	0,57	»
Отход производства ферросилиция	—	0,72	1,2	0,7	0,7	Средняя
Зола-ухос Ладыжинской ГРЭС	200	0,5	0,56	0,67	0,41	»
Высокодисперсная зола-ухос Новосибирской ТЭС	200	0,51	0,93	0,59	0,75	»
Диатомит	1400	0,74	0,87	0,55	-0,05	»
Домогатская зола Павлодарской ТЭС	520	0,66	0,78	0,54	0,4	»
Зола Павлодарской ТЭС	300	0,56	0,42	0,43	0,26	»
Домогатская зола Боркутинской ТЭС	350	0,66	0,87	0,34	0,3	Низкая
Булгаковский шлак Көркемского месторождения	310	0,51	0,4	0,33	0,5	»
Булгаковский турбошлак Светлогорского месторождения	590	0,52	0,48	0,31	0,52	»
Зола Боркутинской ТЭС	300	0,56	0,13	0,05	-0,22	Неэффективная
Молотый кварцевый песок	310	0,5	-0,23	-0,03	0,28	»
Неолит Ягодинского месторождения	450	0,62	-0,55	0,5	-0,41	»

Приложение: В качестве исходного вяжущего использовали воскресенский ПЦ + Струнек активация.

Таблица 3

Степень эффективности МД	Показатель эффективности \mathcal{E}_d	Характеристика наиболее распространенных минеральных добавок различной эффективности		
		водопотребность бетонной смеси стандартного состава с МД, % от водопотребности смеси без ПЦ	механизм проявления химической активности МД	характеристика химической активности МД
Высокоэффективные	0,7	<100 (90–100)	Гидравлический	Высокая
Среднеэффективные	0,4–0,7	<100 (80–100)	Гидравлическо-пушцоланический	—
		<100–110	Пушцоланический	Низкая
		110–125	—	Средняя
Малоэффективные	0,1–0,4	<120 (90–100)	Пушцоланический или отсутствует	Низкая
Неэффективные	0,1	<100 (90–100)	Отсутствует	—

группы, так и особенно добавок 2-й и 3-й группы оптимальное содержание МД снижается. Добавки 2-й группы рекомендуются для изготовления бетонов марок М300–М500.

Снижение оптимального содержания МД по мере возрастания марки бетона наиболее заметно проявляется при использовании добавок с высокой водопотребностью и малопрочными агрегатами зернами. Добавки 3-й группы целесообразно применять в бетонах марок М200–М250. Применение МД с $\mathcal{E}_d < 0,1$ допустимо, но основной целью его является утилизация отходов производства. Достижение технико-экономического эффекта с учетом защиты окружающей среды, улучшение однородности, связности и транспортируемости бетонных смесей.

Особый практический интерес в настоящее время представляют минеральные добавки 2-й группы, поскольку ресурсы более эффективных добавок ограничены. Запасы же ряда стекловидных вулканических пород (туфобазальтов, перлитов и сопутствующих им пород), топливных зол, осадочных пород служат существенным резервом для дальнейшего увеличения выпуска вяжущих и бетонов, а эффективность этих добавок может быть повышена в результате диспергирования путем помола как в шаровых мельницах, так и в установленных в настоящее время на заводе предприятий строиндустрии струйных активаторах и вибромельницах.

Рассмотренный подход к определению эффективности различных минеральных добавок позволяет учесть специфику поведения последних в бетонах. Он рекомендуется для предварительной оценки МД в исследовательской практике и на производстве. Такой подход к оценке МД и предложенную на его основе классификацию целесообразно исполь-

зовать при разработке нормативно-технических документов, регламентирующих испытания добавок, а также изготовление и применение бетонов с их использованием.

СПИСОК ЛИТЕРАТУРЫ

- ГОСТ 21-9-61. Добавки для цементов, активные минеральные добавки. Технические условия.
- Lisicki K. H. Wirksamkeitsfaktor und Zementlängenivalentmasse — neue Kenngrößen zur Bewertung von Betonzusatz und Zementzusatzstoffen // Betontechnik. 1987. № 2. С. 58–62.
- Метод определения активности минеральных добавок к цементам / Л. Я. Гайдышев, О. А. Велохвостова, Л. С. Гефтерова, Г. Ф. Ермакова // Цемент. 1988. № 12.
- Стандартные методы отбора образцов и испытания зольной пыли для натуральных пушцоланов с целью использования их в качестве минеральной добавки в бетоне на портландцементе. Первый стандарт ASTM C 311–66; ВСП № М-49312, 1985.
- Сыт А. Э. Современный подход к применению золь-уноса в бетоне. — В кн.: Технология товарной бетонной смеси / Под ред. Р. Дхира. — М.: Стройиздат, 1981.
- Высоцкий С. А. Эффективность теплово-влажностной обработки бетонов на шлако-портландцементах различного состава: Автореф. дис. на соискание уч. степени канд. техн. наук. — М., 1977.

ности МД, водопотребности, механических свойств зерен добавки. Среди этой группы могут быть выделены следующие типичные представители, обладающие характерными показателями водопотребности и химической активности:

а) МД с низкой водопотребностью (менее 100%) и слабой пушцоланической активностью (например, золь-унос Лайджинской ГРЭС от сжигания каменного угля), эффект которой при низкой удельной поверхности $S_{\text{д}}$ (2000 см²/г), обуславливающей низкую пушцоланическую активность, связан в первую очередь с понижением густотой цементного теста (19%) и пластифицирующим влиянием зольных частиц на удобоукладываемость смеси;

б) МД с высокими значениями пушцоланической активности и водопотребности (110–125% и более) — склоняющая пыль, диатомит и им подобные добавки, которые благодаря высокой дисперсности и наличию кремнезема в аморфном состоянии сильно связывают известняк, но обладают высокой нормальной густотой (50–80%) и значительно увеличивают вязкость смеси, что уменьшает экономию цемента;

в) МД со средними значениями водопотребности (100–110%) и пушцоланической активности (исходная и доломитовая золы Павлодарской ТЭС);

г) МД, обладающие одновременно пушцоланической и гидравлической активностью вследствие наличия самостоятельной твердеющих фаз (из числа изученных МД — высокоосновная зола от сжигания угля Канско-Ачинского месторождения).

В третью группу входят МД, обеспечивающие $\mathcal{E}_d = 0,1–0,4$. Добавки этой группы имеют слабые пушцоланические свойства или вообще не имеют их. К числу таких добавок относятся грубодисперсные золы, в том числе зола Воркутинской ТЭС. Она содержит более 20% частиц крупнее 85 мкм. Имеет вследствие этого пониженную активность и содержит агрегаты более мелких частиц, что в совокупности отрицательно сказывается на прочности бетона, ряд, вулканических горных порок (см. табл. 2).

Неэффективными следует считать добавки с $\mathcal{E}_d < 0,1$. В эту группу добавок могут входить различные виды наполнителей типа кварцевого песка никакой дисперсности (см. табл. 2), закристаллизованные шлаки, отдельные виды зол, карбонатные наполнители и другие инертные добавки.

В зависимости от группы добавок по эффективности с учетом результатов изучения свойства бетонов могут быть даны следующие рекомендации по применению МД: для снижения расхода цемента (основное назначение МД), повышения сохраняемости удобоукладываемости смесей, улучшения некоторых строительно-технических свойств бетонов и их экономичности рекомендуются главным образом добавки 1-й и 2-й групп.

Добавки 1-й группы целесообразно использовать в бетонах различных марок вплоть до М400–М500. С увеличением марки бетона как для добавок этой

Критерии определения оптимальных параметров разработки песчано-гравийных месторождений земснарядами

В практике горных работ при добыче сырья для нерудных строительных материалов из-за его относительной малоценности имеют место необоснованно высокие потери без экономического ущерба для горнодобывающего предприятия. Однако для народного хозяйства потеряные запасы вызывают ущерб, связанный с дополнительным нарушением площадей и дополнительными затратами на освоение новых месторождений. Следовательно, рациональные параметры разработки месторождений следует определять с учетом экономических показателей горных работ, качества минерального сырья, ценности других природных ресурсов на площади горных работ и рационального использования отработанных площадей после окончания горных работ.

Существующие методики сравнения способов и систем разработки¹, различающихся различным уровнем потерь, в качестве оценочного показателя рекомендуют экономическую эффективность \mathcal{E} , определяемую разностью прибыли P и ущерба U , связанных с потерянными запасами:

$$\mathcal{E} = P - U. \quad (1)$$

При разработке месторождений песчано-гравийных смесей земснарядами существенные потери полезного ископаемого наблюдаются на дне карьера. Для залежей большой мощности эти потери определяются технической возможной глубиной разработки, которая у наиболее распространенных земснарядов с грунтовым насосом, размещенным в трюме, составляет 10–15 м. Для залежей с мощностью, не превышающей техническую глубину разработки, потери на дне карьера составляют межшахтовые целики, остающиеся при переносе грунтозабора в новое положение.

Увеличение шага переноса грунтозабора приводит к увеличению количества горной массы, отработанной при одном положении грунтозабора, сокращает затраты времени на папильонирование от несекущих к 1 м³ добываемого полезного ископаемого, и соответственно увеличивает производительность земснаряда. В то же время возрастают потери полезного ископаемого и межшахтовых целиках.

В общем виде критерий для определения оптимального шага переноса грунтозабора, обеспечивающий максимальную народнохозяйственную эффективность, можно представить

¹ Бейков Б. Н. Справочник по нормированию отбора руды из карьеров. — М.: Недра, 1960.

$$\mathcal{E}_{\text{их}} = \mathcal{U}(\alpha_1, \alpha_2, \dots, \alpha_n) - [Z + \mathcal{U}_0 + C_p/(1 - P)] \rightarrow \text{макс}, \quad (2)$$

где $\mathcal{U}(\alpha_1, \alpha_2, \dots, \alpha_n)$ — цена добываемой песчано-гравийной смеси (ПГС), зависящая от качественных показателей $\alpha_1, \alpha_2, \dots, \alpha_n$, изменяющихся при изменении шага переноса грунтозабора земснаряда, P ; Z — приведенные затраты на добычу 1 м³ ПГС, р/м³; \mathcal{U}_0 — народнохозяйственная ценность земной поверхности, нарушенная при добыче 1 м³ ПГС, р/м³; C_p — геолого-разведочные, проектно-изыскательские и другие затраты, связанные с подготовкой месторождения к эксплуатации, р/м³; H — потери полезного ископаемого в долях.

Разработка песчано-гравийной массы как сырья для нерудных строительных материалов осуществляется обычно без разубоживания подстилающими породами. При стабильных качественных показателях ПГС по мощности залежи шаг переноса грунтозабора не влияет на ценность добываемого сырья, и ее можно не учитывать при определении оптимального шага переноса грунтозабора. В этом случае критерий из (2) равен значению условия

$$\Phi = Z + \mathcal{U}_0 + C_p/(1 - P) \rightarrow \text{мин}. \quad (3)$$

Приведенные затраты на добычу 1 м³ ПГС составляют:

$$Z = C_p Q^{-1} + C_{\text{п}} t_{\text{п}} V_{\text{ш}}^{-1} + C_{\text{в}} m_{\text{в}} (m_{\text{в}} - H)^{-1}, \quad (4)$$

где C_p и $C_{\text{п}}$ — стоимость машино-часа работы земснаряда соответственно при выемке полезного ископаемого и папильонажных работах без выемки грунта, р/ч; Q — техническая производительность земснаряда, м³/ч; $t_{\text{п}}$ — продолжительность технологического перерыва в работе земснаряда, связанного с переносом грунтозабора, ч; $V_{\text{ш}}$ — объем полезного ископаемого, отрабатываемый между технологическими перерывами в работе земснаряда, связанными с переносом грунтозабора, м³; $C_{\text{в}}$ — затраты на удаление 1 м³ вскрыши, р/м³; $m_{\text{в}}$ — мощность удаляемой вскрыши, м; $m_{\text{в}} - H$ — мощность полезного ископаемого, м; H — средняя толщина слоя полезного ископаемого, оставленного на дне карьера в межшахтовых целиках (шебе-бор), м.

Народнохозяйственная ценность земной поверхности, нарушенная при добыче 1 м³ ПГС, будет:

$$\mathcal{U}_{\text{в}} = 10^{-4} S_{\text{в}} (m_{\text{в}} - H)^{-1}, \quad (5)$$

где $S_{\text{в}}$ — народнохозяйственная ценность нарушенных площадей, р/га.

Объем полезного ископаемого $V_{\text{ш}}$, отрабатываемый между технологическими перерывами в работе земснаряда, и величина недобора H определяются по различным формулам в зависимости от способа выемки и папильонирования. При выемке отдельными воронками, расположениями по квадратной сетке, их значения составят:

$$V_{\text{ш}} = A^2 (m_{\text{в}} - H), \quad (6)$$

$$H = 0,385 A \operatorname{tg} \alpha, \quad (7)$$

где A — расстояние между центрами смежных воронок, м; α — угол подводного откоса в процессе выемки.

При выемке с непрерывным папильонированием по ширине заходки в процессе выемки

$$V_{\text{ш}} = B S_{\text{в}} (m_{\text{в}} - H), \quad (8)$$

где B — ширина заходки, м; $S_{\text{в}}$ — шаг подачи грунтозабора на забой, м.

Величина недобора при свайно-тросовом папильонировании на сваях с неподвижными направляющими

$$H = 0,333 S_{\text{в}} \operatorname{tg} \alpha, \quad (9)$$

а при свайно-тросовом и свайном папильонировании на сваях с напорным ходом

$$H = 0,25 S_{\text{в}} \operatorname{tg} \alpha. \quad (10)$$

С учетом (4) и (5) условие для определения оптимальных параметров переноса грунтозабора при различных способах выемки и папильонирования имеет вид

$$\Phi = C_p Q^{-1} + C_{\text{п}} t_{\text{п}} V_{\text{ш}}^{-1} + (C_{\text{в}} m_{\text{в}} + 10^{-4} S_{\text{в}} - C_{\text{в}} m_{\text{в}})/(m_{\text{в}} - H) \rightarrow \text{мин}. \quad (11)$$

Однако параметры, оптимальные для народного хозяйства, могут быть неоптимальными с точки зрения отрасли, предприятия или бригады земснаряда, так как экономические интересы народного хозяйства, трудового коллектива и отдельного работника не всегда совпадают. Так, для отрасли критерием для определения оптимальных параметров переноса грунтозабора должно быть выражение (11) без учета ценности нарушенных площадей

$$\Phi_0 = C_p Q^{-1} + C_{\text{п}} t_{\text{п}} V_{\text{ш}}^{-1} + (C_{\text{в}} m_{\text{в}} + C_{\text{в}} m_{\text{в}})/(m_{\text{в}} - H) \rightarrow \text{мин}. \quad (12)$$

Для предприятия в условиях (12) не учитываются затраты на освоение новых запасов

$$\Phi_0 = C_p Q^{-1} + C_{\text{п}} t_{\text{п}} V_{\text{ш}}^{-1} + C_{\text{в}} m_{\text{в}}/(m_{\text{в}} - H) \rightarrow \text{мин}. \quad (13)$$

Для команды земснаряда, работающей единоначально, оптимальными будут параметры выемки, обеспечивающие наименее высокую производительность. Критерий оптимальности параметров переноса грунтозабора для команды земснаряда может быть определен из условия (13) без учета затрат на вскрышные работы:

$$\Phi_k = C_p Q^{-1} + C_{\text{п}} t_{\text{п}} V_{\text{ш}}^{-1} \rightarrow \text{мин}. \quad (14)$$

Анализ показателей работы земснаряда 300-40 по различным критериям проведен в условиях Беляевского участка

Тицкого карьера управления ПО Кубаньвостройматериалы при мощности песчано-гравийной залежи $m_x = 7,6$ м, мощность вскрыши $m_y = 2,7$ м. Кровля песчано-гравийной залежи не обводнена, удаление вскрышных пород за контуры карьера производится бульдозером при затратах на удаление вскрыши $C_s = 0,25$ р/м³.

Для сравнения были определены следующие показатели, соответствующие критериям оптимальности (11)–(14) соответственно для народного хозяйства, отрасли, предприятия и команды земснаряда: эксплуатационная производительность земснаряда, потеря полезного ископаемого, площадь, нарушенная при добыче 1 млн. м³ ПГС, затраты предприятия на выемку 1 м³ ПГС, значение показателя Φ по формуле (11) и параметры переноса грунтовзaborа, соответствующие условиям (11)–(14).

Значения этих показателей приведены в таблице. Народнохозяйственная эффективность работы земснаряда по предлагаемому критерию по сравнению с работой при максимальной производительности более высокая при выемке отдельными воронками и составляет при минимальной для Краснодарского края ценности площадей $S_3 = 5000$ р/га 0,637–0,549–0,088 р/м³ со снижением производительности земснаряда на 16,7%.

С увеличением ценности нарушенных площадей до $S_3 = 20000$ р/га, что в условиях Краснодарского края соответствует пахотным землям, эффективность работы по предлагаемому критерию возрастает до 0,948–0,775–0,173 р/м³ со снижением производительности на 27,6%.

Такая же закономерность изменения показателей работы земснаряда наблюдается при других способах выемки и пальпционирования, но изменение самих показателей невысокое по сравнению с

Объект	Шаг переноса грунтовзaborа	Эксплуатационная производительность земснаряда, м ³ /ч	Потери, %	Площадь, нарушенная при добыве 1 млн. м ³ ПГС, га	Применение взысканий		$\Phi S_3 = 5000$ р/га	$\Phi S_3 = 20000$ р/га
					При выемке отдельными воронками	При выемке с пальпционированием на сваях в каледионовых направлениях		
Команда земснаряда	12,5	192	37	21	0,375	0,637	0,948	
Предприятие	6,8	176	16	16,1	0,354	0,567	0,798	
Отрасль	5,3	169	16	15,6	0,356	0,562	0,785	
Народное хозяйство:								
при $S_3 = 5000$ р/га	4,5	160	13	15,2	0,358	0,549	—	
при $S_3 = 20000$ р/га	3,3	159	10	14,6	0,373	—	0,775	
При выемке с пальпционированием на сваях в каледионовых направлениях								
Команда земснаряда	3,2	194	8	14,3	0,913	0,516	0,733	
Предприятие	1,8	190	4,8	13,8	0,308	0,508	0,71	
Отрасль	1,9	187	3,3	13,6	0,304	0,506	0,71	
Народное хозяйство:								
при $S_3 = 5000$ р/га	1,1	185	2,8	13,5	0,306	0,506	—	
при $S_3 = 20000$ р/га	0,8	180	2	13,4	0,308	—	0,708	
При выемке с пальпционированием на сваях с пакорным ходом								
Команда земснаряда	3,2	194	6,1	14	0,306	0,512	0,724	
Предприятие	2,1	192	4	13,7	0,302	0,506	0,711	
Отрасль	1,6	188	2,8	13,5	0,303	0,504	0,707	
Народное хозяйство:								
при $S_3 = 5000$ р/га	1,3	187	2,5	13,4	0,304	0,503	—	
при $S_3 = 20000$ р/га	1	184	1,9	13,4	0,306	—	0,706	

выемкой отдельными воронками. Выемка отдельными воронками кроме более высоких потерь характеризуется и снижением производительности по сравнению с другими способами, но обеспечивает более высокое качество ПГС, если песчано-гравийное месторождение залегает на глинистых породах за счет исключения разрушения песчано-гравийной массы комковой глиной.

Так как применение предлагаемого критерия приводит к снижению производительности земснаряда, он может

быть использован на практике в том случае, когда максимальная зарплата команды земснаряда будет соответствовать не максимальному количеству вымытого грунта, а работе с параметрами, определенными по предлагаемому критерию, т. е. в тех случаях, когда предприятие, бригада и каждый работник будут работать в таких экономических условиях, при которых критерии оптимальности выбора параметров технологии будут совпадать на всех уровнях хозяйственной деятельности.

УДК 621.21.002.237

Ю. Г. КАРАСЕВ, канд. техн. наук (Московский горный институт), В. В. КОНКИН, горный инженер (Институт литосферы АН СССР)

Выбор направления развития горных работ на карьерах природного камня

На выбор направления развития фронта горных работ карьеров природного камня большое влияние оказывают горно-геологические, экономические, организационные и социальные факторы.

Физико-технические свойства полезного ископаемого и вскрытых пород, условия их залегания, распределение объемов кондиционного сырья в пределах контура подсчета запасов, направление и интенсивность распространения главных систем трещин массивов во многом определяют порядок вскрытия рабочих горизонтов карьеров, конструкции фронтов горных работ.

Изменение цен и спроса на продукцию может привести к изменению структуры себестоимости и перераспределению объемов добываемого полезного ископаемого, что сказывается на порядке вскрытия и отработки рабочих горизонтов карьеров. Аналогичные изменения происходят и при внедрении новой техники и технологии при производстве вскрытых и добочных работ, изменения объемов производства.

При расположении карьеров в промышленно развитых районах возникают проблемы с отчуждением земель для открытых разработок, безопасного ведения горных работ для близкорасполо-

женных населенных пунктов, занятой окружающей среды, рекультивации нарушенных земель.

В настоящее время для действующих карьеров определяющими являются горно-геологические факторы: трешиноватость и блочность массива.

Блочность, как правило, находится в обратной зависимости от трешиноватости, поэтому анализ трешиноватости массива горных пород позволяет решить многие технологические задачи на карьерах природного облицовочного камня, определить оптимальное расположение и направление помещений фронта горных работ карьера, выбрать комплекс горного оборудования, решить вопросы режима горных работ, определить перспективные участки для добычи блоков на действующих карьерах.

В качестве примера взаимосвязи трешиноватости и блочности массива с порядком отработки погодной толщи служит анализ, проведенный для Емельяновского гранитного карьера.

Определение степени трешиноватости Емельяновского карьера возможно по карте удельной трешиноватости

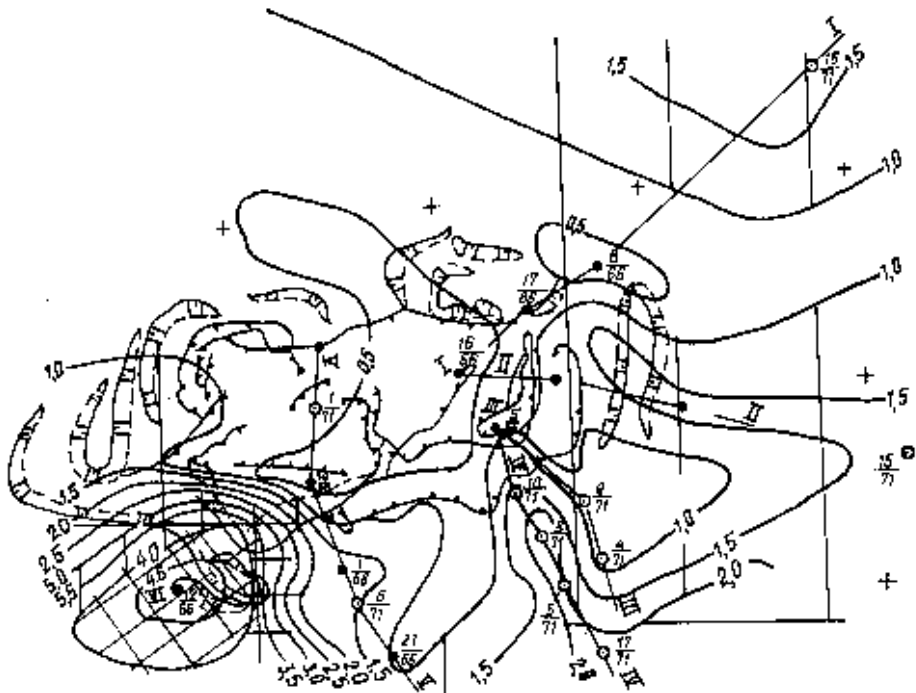


Рис. 1. Карта удельной трещиноватости ($\text{м}/\text{м}^2$)

— удельная трещиноватость от 0 до 1; // — то же, от 1 до 2; — то же, от 2 до 5; + — то же, от 3 до 4; × — то же, от 4 до 5; (—) — скважины разведки 1971 г.; ● — то же, 1986 г.; | — вскрышные уступы; --- — добывчные уступы

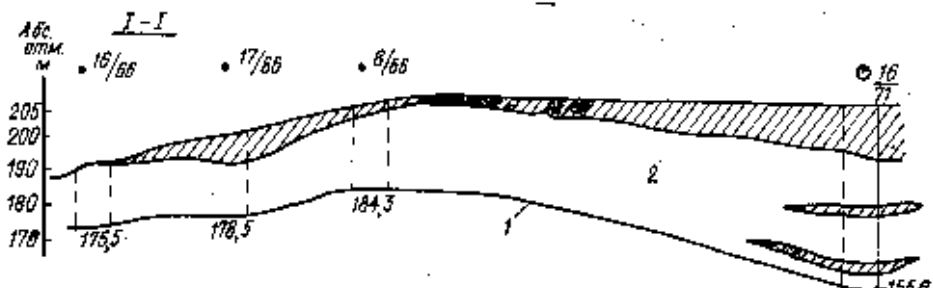


Рис. 2. Разрез по линии I—I

1 — блочный камень; 2 — нижняя граница размежевочной зоны

(рис. 1). Выявленные основные закономерности и распределение трещиноватости массива были подтверждены результатами промышленной добычи блоков на карьере к натурным измерениям параметров трещин в забоях, проведенным при участнике авторов в 1987—1988 гг.

Для определения перспективного направления развития фронта горных работ было построено шесть разрезов по скважинам для различных участков. На рис. 2 приведен разрез по линии I—I.

Развитие фронта в северном направлении характеризуется высокой блочностью массива, небольшой мощностью вскрытых пород. Сильнотрещиноватые зоны здесь почти полностью отсутствуют. Наибольший выход блоков камня будет достигнут на первых этапах отработки (скв. 17/66, 8/66—15/66). В дальнейшем (скв. 16/71) увеличивается мощность вскрыши, появляются сильнотрещиноватые зоны гранитного массива, не пригодные для получения блоков.

В восточном направлении сильнотрещиноватые зоны и вскрытые породы отсутствуют. Их наличие обнаруживается только в районе скв. 15/71.

Западный участок гранитного массива разведен недостаточно, поэтому построение геологических разрезов по линиям скважин в данном направлении не представляется возможным. Согласно данным карты удельной трещиноватости блочность участка возрастает с юга на север, поэтому можно предположить, что северная часть западного участка более пригодна для отработки, чем южная.

Порядок развития карьерного поля определяется не только горно-геологическими, но и другими факторами. К северу от существующего карьерного поля, в 50—100 м, находятся цеха карьера, административно-бытовые здания и сооружения различного назначения, отвалы, дорога. Далее на северо-восток располагается жилой поселок.

Восточный участок, прилегающий к карьеру, представляет собой слабохолмистую поверхность. В 200-х м от границы карьера проходит автомобильная дорога. Поверхность к югу от карьерного поля отведена под отвалы негабаритного камня. На западе вскрытые уступы карьера примыкают к сельскохозяйственным угодьям — пашне и огородам. Развитие работ в этом направлении приведет к нарушению почвенно-растительного слоя.

С учетом данных социально-экономического характера и данных анализа трещиноватости массива Емельяновского месторождения возможны следующие направления развития фронтов горных работ карьера.

В северном и западном направлениях дальнейшее расширение бортов карьера ограничено размещением на поверхности зданий и сооружений карьера, жилого поселка. Однако данные участки имеют камень самой низкой удельной трещиноватости и высокой блочности. Отработку добывчих уступов в этом направлении целесообразно проводить до границы безопасного ведения горных работ.

Богатым по запасам и качеству полезного ископаемого является восточный участок. Развитие горных работ в этом и юго-восточном направлениях идет до автомобильной дороги, проходящей параллельно верхней бровке карьера.

В южном направлении в качестве перспективной может быть рассмотрена лишь центральная его часть (скв. 1/71, 14/66). Длина фронта работ в этом квадре не должна превышать 30—40 м. Юго-западный и юго-восточный участки карьера не пригодны для добычи гранита на блоки.

В результате анализа рекомендуется следующий порядок развития карьерного поля:

1 — доработка добывчих уступов западного и северного участков;

2 — концентрация работ на восточном участке с параллельной отработкой центральной части южного участка;

3 — нарезка новых горизонтов в западной части dna карьера и отработка их в восточном направлении.

Отработка гранитного карьера Емельяновского месторождения в данной последовательности и указанных направлениях позволит добывать блоки высокого качества, увеличить производительность карьера по блочной продукции, соблюдать требования социально-экономического характера.

М. И. КАТАНОВИЧ, инж., З. Г. МИШЕЛЬ, канд. техн. наук (ВНИИПроектасбестцемент),
Л. Е. ШЕХТМАН, инж. (Стерлитамакское ПО «Сода»)

Ускорение твердения асбестоцемента с помощью дистиллерной жидкости

Совершенствование формоочного оборудования асбестоцементных предприятий и увеличение его производительности часто связано с сокращением длительности тепловлажностной обработки асбестоцементных листов в конвейерах предварительного твердения с 4—5 до 3—3,5 ч. Это служит в ряде случаев причиной ухудшения качества (снижение прочностных и геометрических показателей), а на некоторых предприятиях вызывает разрушение листов при снятии их с тележек конвейера.

Чтобы обеспечить требуемую продолжительность тепловлажностной обработки асбестоцементных листов, в промышленности прибегают к увеличению числа листов на тележках конвейера, либо числа тележек по длине конвейера. Так, в последней модели конвейера (СМА-358) предусмотрено 100 тележек. При увеличении числа листов на тележках ухудшается профиль изделия, растет объем брака по геометрическим показателям. Если прибегнуть же к второму способу — увеличению числа тележек, повышается энерго- и материалоемкость оборудования. Более сложным становится обслуживание последнего, т. е. снижаются технико-экономические показатели производства.

Иногда для интенсификации твердения асбестоцемента прибегают к дополнительному подогреву технологической воды и увеличению температуры паро-воздушной среды в конвейере. Однако эти меры так же недостаточно эффективны, так как при небольшом дополнительном подогреве недостаточен эффект ускорения твердения, а существенный подогрев может привести к снижению пластичности полуфабриката и к температурной деструкции изделий в конвейере т. е. к снижению их качества.

Проведенные ранее исследования [1, 2] позволили разработать способ интенсификации твердения асбестоцементных изделий [3—5], заключающийся в нанесении химических добавок-ускорителей твердения на асбестоцементный слой и его вакуум-обезвоживания. Показана возможность существенного ускорения твердения асбестоцементных листов и увеличения в 1,4—1,5 раза пропускной способности конвейера с применением в качестве добавки-ускорителя хлористого кальция.

Внедрение этого способа на основе применения довольно дорогого и не очень доступного товарного хлористого кальция связало с необходимостью решать вопросы регуляризации его поставок и складирования требуемых запасов. Это в целом снижает эффективность предлагаемого способа.

В то же время есть промышленные предприятия, производящие синтетич-

еские цементные вещества, титаномагниевые, хлорогранитные продукты и др., у которых скапливаются вредные технологические отходы, загрязняющие окружающую среду, содержащие в своем составе хлорид кальция. Так, ПО «Сода» (г. Стерлитамак), объединяющее содовое, цементное и асбестоцементное производство, вынуждено решать проблему утилизации дистиллерной жидкости, являющейся побочным продуктом производства соды по аммиачному способу. Дистиллерная жидкость содержит до 13% CaCl_2 , а также сульфаты, карбонаты и гидроксиды кальция, хлорид натрия и др. При производстве 1 т соды вместе с дистиллерной жидкостью выбрасывается более 1 т CaCl_2 и 0,5—0,6 т NaCl .

Зная о недостаточных темпах начального твердения асбестоцементных листов в асбестоцементном производстве на ПО «Сода», приводящих к разрушению изделий при их съеме с тележек конвейера тепловлажностной обработки, а также о наличии на близлежащем содовом производстве указанной дистиллерной жидкости, авторы предприятия совместную попытку использовать указанную жидкость для ускорения твердения асбестоцементных листов. Для этого на линии СМ-1155 шиферного производства ПО «Сода» смонтировали установку из двух емкостей вместимостью 7 и 54 м³ (приемной и накопительной). Снабдили ее двумя насосами (центробежным и плунжерным) и коллектором с форсунками для подачи дистиллерной жидкости на асбестоцементный слой при его вакуумировании на сухие листоформовочные машины. Испаряли жидкости из слоя удаляли с помощью дополнительной вакуум-коробки, установленной на фильтр-раме. Суммарное значение вакуума в основной и дополнительной вакуум-коробках составляло примерно 0,8 кгс/см². При выпуске контрольных партий листов дополнительную вакуум-коробку отключали.

Дистиллерная жидкость, использованная в работе, содержала 107,8 г/л ионов Cl^- ; 94,3 г/л ионов SO_4^{2-} . Общая щелочность — 54,4 г/л, pH=10,1.

Портландцемент имел удельную поверхность 3100—3740 см²/г, остатки на сите с сеткой № 008—6—16%. Химико-минералогический состав цемента приведен ниже (содержание окислов и расчетный минералогический состав даны в %).

	CaO	SiO_2	Al_2O_3	Fe_2O_3	MgO	SO_3	C_2S	C_3S	C_4A	C_4AF
63,4—66,00	20,08—20,25	5,07—5,25	3,9—4,17	3,97	1,92—2,18	59,2—64,7	9—12,9	6,2—7,3	11,9—12,7	

Асбестовые шихты содержали 75% асбеста 5-й группы (в том числе 15—40% асбеста марки БП-5-65; 26—30% — КП-5-50 и 10—30% — ДП-5-50) и 25% асбеста 6-й группы (БП-6-45).

Асбестоцементные смеси состояли из 13,1—13,2% асбеста и 86,8—86,9% цемента.

При применении дистиллерной жидкости повышалась влажность асбестоцементного слоя до вакуумирования на 2—11%. Однако влажность свежесформованного пакета опытных партий благодаря дополнительному вакуумированию практически не превышала контрольный уровень. Несмотря на подключение дополнительной вакуум-коробки, увеличение внесения твердой фазы с фильтром не наблюдалось.

Затвердевшие листы подвергали физико-механическим испытаниям после конвейера тепловлажностной обработки, а также — в возрасте 3, 7 и 28 сут.

Для оценки кинетики твердения асбестоцементных изделий испытывали образцы 30×130 мм, вырубленные из свежесформованного асбестоцемента и прошедшие вместе с листами на тележках тепловлажностную обработку в конвейере в течение 1—4 ч. Результаты приведены в табл. 1 и показывают, что применение дистиллерной жидкости (партии О₁ и О₂) позволяет существенно ускорить твердение асбестоцемента, особенно в течение первых 2—3 ч. В дальнейшем темп набора прочности снижается, что можно объяснить связыванием хлорида кальция с образованием гидрохлоралюмината кальция при гидратации $\text{Ca}_2\text{Al}_2\text{O}_5$.

Таблица 1

Маркировка партии	Температура подложки и среды, °С	Прежде прочности при натке, кгс/см ²				асбестоцементных образцов при пло- должительности тврдения, ч	асбестоцементных листов после тепловлажност- ной обработки
		1	2	3	4		
K ₁	72	0	18	87,7	120	87,5	
O ₁	72	2,9	94,7	135,2	149	126,4	
K ₁	61	0	19,4	78,1	92,7	—	
O ₁	61	0	76,5	119,9	126,8	96,7	

Анализ результатов испытаний показывает, что опытные образцы, изготовленные с применением дистиллерной жидкости, через 2 ч 15 мин — 2 ч 33 мин достигали уровня прочности соответствующих контрольных образцов, твердевших в течение 3 ч 30 мин, а при однократовой продолжительности твердения (3 ч 30 мин) их прочность в 1,28—1,39 раза преосуществляла контрольный уровень прочности. При этом прочность опытных образцов, обработанных при 61°C в течение 3 ч 30 мин, была в 1,16 раза выше прочности контрольных образцов такого же возраста, обработанных при 72°C.

В целом полученные данные показывают возможность существенного сокращения продолжительности тепло-

Таблица 2

Содержание ионов, г/л	Время от начала ввода дистиллерной жидкости, ч									
	0	1	3	4-30	23-30	28	29	30	31*	41**
Cl- в технологической воде	2,7	2,9	4,2	5,2	7	-	-	-	-	7,5
SO ₄ ²⁻ в технологической воде	0,4	0,6	2,1	2,7	5,2	5,3	6,1	6,3	6,5	4,4
Cl- в свежесформованном асбестоцементе	0,06	-	1,6	1,7	2,0	-	-	-	-	-

Приложение. * Подача дистиллерной жидкости прекращена, ** Спустя 10 ч после прекращения подачи дистиллерной жидкости.

влажностной обработки асбестоцементных изделий с одновременным снижением температуры паровооздушной среды в результате применения дистиллерной жидкости в качестве ускорителя твердения асбестоцемента.

Применительно к производственным условиям ПО «Сода» добавка дистиллерной жидкости позволяет снизить температуру среды в конвейере с 70 до 60°C, уменьшить на 3-4 число листов на тележках при продолжительности обработки 3 ч 30 мин и тем самым улучшить геометрические показатели листов и снизить расход пара.

При использовании дистиллерной жидкости в производственных условиях термометрическим способом контролировали накопление ионов Cl- и SO₄²⁻ в рекуперированной технологической воде, а также содержание ионов Cl- в свежесформованном асбестоцементе (табл. 2). Установлено, что накопление указанных ионов в технологической воде происходит медленно.

Расчет показывает, что в условиях асбестоцементного производства ПО «Сода» содержание Cl-ионов в технологической воде при постоянном применении дистиллерной жидкости в условиях полностью замкнутого цикла рекуперации стабилизируется на уровне 30-40 г/л. Расчетное содержание хлорида кальция в свежесформованном полуфабрикате при этом составит около 10% массы цемента, будет чрезмерным и (как свидетельствуют результаты лабораторных экспериментов) приведет к значительному снижению прочности асбестоцемента в поздние сроки.

Для получения максимального эффекта в условиях производства ПО «Сода» содержание хлорида кальция в асбестоцементе (в пересчете на Cl-) должно находиться на уровне 2,5-3,5% массы цемента.

С учетом результатов ранних исследований [6] следовало ожидать, что накопление сульфат-ионов в технологической воде приведет к снижению фильтрационных свойств асбестоцементной суспензии. Однако в процессе применения дистиллерной жидкости на ПО «Сода» снижение производительности формовочных оборудования не наблюдалось. Следует также отметить, что прочностные показатели листов опытных партий в возрасте 7 сут были не ниже, чем у контрольных образцов.

Резюмируя изложенное, можно отметить, что применение дистиллерной жидкости в производстве волнистых асбе-

сток в производстве асбестоцементных листов 40/150-1750 (без учета экологического эффекта) составляет около 14 тыс. р. на одну технологическую линию.

СПИСОК ЛИТЕРАТУРЫ

1. Тимашев В. В., Каганович М. И. Исследование влияния некоторых электролитов на предварительное твердение асбестоцемента. — (Сб. тр. / МХТИ им. Д. И. Менделеева). — М., 1977. — Вып. 38.
2. Тимашев В. В., Каганович М. И. Определение прочности контакта асбестоцементных слоев. — Тез. докл. Региональной конф. по физико-химической механике дисперсных систем и материалов. — Харьков, 1980.
3. А. с. 813643 СССР, МКИ 2 СО4B 15/16. Способ изготовления асбестоцементных листов / В. В. Тимашев, А. М. Фукс, Ю. С. Гризак, М. И. Каганович (СССР) // Открытия. Изобретения. — 1981. — № III.
4. А. с. 1129191 СССР, МКИ 2 СО4B 15/16. Способ изготовления асбестоцементных труб / В. В. Тимашев, З. Г. Мишель, М. И. Каганович (СССР) // Открытия. Изобретения. — 1984. — № 46.
5. Кузнецова Т. В., Мишель З. Г., Каганович М. И. Способ и установка для применения химических добавок с целью повышения качества изделий на основе цемента. — (Инф. листов / МГЦНТИ). — М., 1984. — № 46.
6. Влияние химического состава жидкой фазы асбестоцементной суспензии на ее фильтрационные свойства / Т. М. Беркович, Б. М. Михельсон, В. А. Соболь, Л. Г. Тонкая. — (Сб. тр. / ВНИИПроЭкоАсбоЦемент). — М.: Стройиздат, 1975. — Вып. 31.

Инженерно-техническое отделение

молодежного центра «СЕВЕР»

- принимает заказы на разработку технико-экономических расчетов, рабочей документации на строительство кирпичных заводов малой мощности (5-10 млн. шт. усл. кирпича в год)
- реализует техническую документацию на туннельную печь с годовой производительностью 10 млн. шт. вид топлива — газ, мазут
- длина и ширина печи: 105,5×2 м
- оказывает техническую помощь и консультирует организации, специализирующиеся в этой области.

Работы выполняются специалистами ведущих институтов промышленности строительных материалов Союзгипрострома и ВНИИстрома им. П. П. Будникова.

За справками обращаться по адресу:
129226 Москва, 1-й Сельскохозяйственный пр., д. 7/1.
Инженерно-техническое отделение молодежного центра «Север».
Телефоны: 181-29-48, 181-29-71.

Новые и улучшенные материалы

УДК 674.813-41

В. И. МАРТЫНЮК, инж. (Испытательная пожарная лаборатория, г. Черновцы, УССР),
А. А. ЛЕОНОВИЧ, д-р техн. наук (Ленинградская лесотехническая академия
им. С. М. Кирова)

Огнезащищенные древесно-стружечные плиты

Широкое использование древесно-стружечных плит (ДСП) в строительстве сдерживается их пожарной опасностью. Стандартные ДСП являются горючими материалами, и СНиП 2.01.02—85 «Противопожарные нормы» значительно ограничивают их использование. Снижение горючести ДСП возможно модифицированием древесных частиц [1] или нанесением всучивающихся огнезащитных покрытий [2].

Внедрение водорастворимых антиприренов обеспечивает разномерное распределение огнезащитного средства в объеме материала, однако усложняет производство в связи с необходимостью сушки древесных частиц перед технологической операцией осмоления. При проектировании новых цехов это может быть учтено установкой дополнительного оборудования, но исключает организацию производства огнезащищенных древесно-стружечных плит (ОДСП) на действующих предприятиях.

Нанесение покрытий предназначено для обработки ДСП по месту их установки. Эта операция не является индустриальной, что ограничивает широкое внедрение подобной огнезащиты при производстве ОДСП.

В разработанном новом виде продукции ОДСП-ТП задачу решали с использованием порошкового огнезащитного средства, представляющего собой фосфаты и полифосфаты, имеющие промышленное и опытное производство. В качестве антиприренов использовали аммофос (ГОСТ 18918—79), дциандиамид (ГОСТ 6988—73), полифосфат аммония с техническим названием фактор, представляющий собой продукт взаимодействия аммиака и фосфорного ангирида с СП-1000-3000 (ТУ 6-08-795-81), практически не растворяющийся в воде.

ДСП изготавливали в цехе Берегометского лесокомбината объединения «Черновицлес» на стандартном оборудовании линии плоского прессования трехслойных плит. Расход связующего КФ-МТ (ГОСТ 14231—79) — 18% по отношению к массе древесных частиц наружных слоев, считая на сухие вещества. Температура греющих плит пресса 160—170°C, давление прессования 3 МПа в течение 7 мин. Толщина ЛСП — 15—19 мм. Физико-механические показатели определяли по ГОСТ 10632—77. Огневые испытания проводили по методу КТ (ГОСТ 16363—76) и методу распространения пламени (ГОСТ 12.1044—84), а также по стандарту СЭВ (СТ СЭВ 2437—80). Результаты обрабатывали методом вариационной статистики.

Выбор сочетаний препаратов диктуется следующими соображениями. Пирофосфат аммония при нагревании начинает разлагаться и обеспечивает огнезащиту древесины по механизму каталитической дегидратации. Термодинамика его активации сопримерна с температурой активного пиролиза древесины. Аммофос представляет собой смесь ортофосфата аммония (доля $\text{NH}_4\text{H}_2\text{PO}_4$ — 80% по массе) с примесями солей металлов. Дциандиамид, как компонент всучивающейся композиции типа ВПД, обеспечивает образование всучивающегося защитного слоя.

Влияние различных антиприренов на горючесть плит, изучаемое по методу КТ, при содержании антиприренов 12% (по массе) и их основные физико-механические характеристики показаны в табл. 1. Соотношение фактор: дциандиамид (ДЦДА) — 4 : 1, соотношение фактор: аммофос — 1 : 1.

Рассмотренные антиприрены снижают горючесть ДСП до уровня трудногорючих материалов: потеря массы менее 9%, самостоятельное горение и тление отсутствуют. Прочность плит несколько ниже стандартной, что обусловлено присутствием в структуре плит антиприренов, выступающих в качестве инертного (по отношению к прочности) наполнителя. Теоретически при условии равномерного распределения антиприренов в объеме материала ДСП прочность их должна снизиться на 12%.

Вместе с тем обнаруживается негативное влияние аммофоса на поверхностные свойства ДСП. Из-за кальция солей металлов и разложения аммофоса с выделением аммиака нарушается сплошность поверхности. На ней появляются раковины глубиной 1—2 мм, диаметром 2—35 мм. Частичная замена аммофоса несколько уменьшает, но не устраивает отмеченный дефект.

Фактор не нарушает качество поверхности готовых ДСП. К нему дополнительно добавляли ДЦДА для создания своеобразного всучивающегося покрытия, которое обеспечивает образование покровного слоя на торце поджигаемого образца.

Приведенная прочность у всех образцов оказывается одного порядка. Это указывает на то, что вводимые антиприрены примерно в одинаковой мере влияют на механические показатели ДСП. Сравнение с требованиями стандарта показателей для ДСП марки П-2Б, предназначенных для использования в строительстве, свидетельствует о том, что во своему качеству огнезащищенные изделия могут найти применение в помещениях, к которым предъявляются повышенные требования пожарной безопасности.

Свойства огнезащищенных древесно-стружечных плит зависят от расхода антиприрена. Влияние доли антиприренов по массе (фактор и ДЦДА) в частиках наружных слоев на показатели ДСП приведено в табл. 2. При снижении доли антиприрена до 6—8% появляются кратковременное симметричальное горение и тление среднего огнезащищенного слоя. Несмотря на удовлетворительные значения потери массы, такое количество антиприрена оказывается недостаточным.

Таблица 1

Физико-механические характеристики плит	Показатель для ДСП с антиприреном			
	Фактор	аммофос	фактор и ДЦДА	фактор и аммофос
Плотность, кг/м ³	605	806	789	743
Влажность, %	6,3	7,1	6,4	8,3
Предел прочности, МПа:				
при изгибе перпендикулярно пластине	13,2 0,49	17,7 0,51	16,1 0,38	15,5 0,55
Приложенная прочность, кПа-мм:				
при изгибе перпендикулярно пластине	21,4 0,81	21,9 0,68	20,4 0,44	20,8 0,73
Разбухание, %	23,3	17,7	18,5	23,8
Потеря массы, %	6	6,2	6,7	6,8
Показатель по ТОСТ 10632-77				

Таблица 2

Физико-механические характеристики ДСП	Показатель для ДСП с долей антиприрена, % по массе			
	12	10	8	6
Плотность, кг/м ³	739	736	702	739
Влажность, %	5,4	6,5	7,1	5,6
Предел прочности, МПа:				
при изгибе перпендикулярно пластине	15,1 0,83	18,9 0,47	18,1 0,55	18,6 0,66
Разбухание, %	18,5	15,6	15,7	15,4
Потеря массы, %	6,7	5,42	6,8	6,44

Таблица 3

Компонент	Расход для слоя, кг		
	наружного	внутреннего	в целом
Измельченная древесина КФ-МТ	2330	8060	9390
Отвердитель NH_4Cl	850	880	1710
Фактор ДЦДА	370	—	370

результаты обрабатывали методом вариационной статистики.

Промышленная технология ОДСтП должна базироваться на применении антиприра фиктора ДЦДА в количестве 10—12% (по массе). Рецептура для получения трудногорючих плит марки ОДСтП-ТП в расчете на 1000 м² плотностью 700 кг/м³, толщиной 18 мм содержит (табл. 3) для наружных слоев, доля которых составляет 20 и 20%, а для внутреннего слоя — 60%.

Исследованы пожароопасные характеристики ОДСтП, изготовленные по данной рецептуре. Оценка горючести по стандарту СЭВ (табл. 4) показала,

Таблица 4

Пожароопасные характеристики ДСтП	Показатель для	
	ОДСтП-ТП	ДСтП
Температура дымовых газов, °С	120/125	320/360
Время самовоспламенения, с	6,0	160/210
Степень повреждения, %:		
по длине	42/45	80/85
в массе	3/3	30/35

Приимечание. Перед чертой — среднее значение, за чертой — максимальное.

что материал относится к группе трудногорючих. Дымообразование в условиях горения, по данным Ленинградского филиала ВНИИПО, благодаря отнесению понижается, и материал классифицируется как с умеренной дымообразующей способностью. Неогнезащищенные плиты относятся к категории высокой дымообразующей способности.

В условиях горения материал ОДСтП-ТП выделяет как следствие неполного горения несколько больше оксида углерода, для чего потребовалось ужесточить условия испытания.

Особенность производства ОДСтП-ТП состоит в том, что в технологическую линию дополнительно монтируется узел осмоления и введение антиприра. Дозатор антиприра блокирован с ленточным комбайнером, подающим стружку на осмоление. Чистый рабочий раствор смолы попадает на частицы антиприра, соизмеримые с размерами мелкой фракции древесных частиц, так называемой пыли. Этим обусловлен повышенный расход связующего на наружные слои ДСтП. Его дополнительные утолщают, чтобы компенсировать снижение прочности материала из-за присутствия антиприра. Остальные параметры производственного процесса сохраняются без изменений.

В случае если надо перейти на стандартную продукцию, подачу антиприра прекращают, отключая автономный привод лозатона, и устанавливают соответствующий расход связующего КФ-МТ.

Отнесенная ДСтП-ТП по рассмотренной технологии увеличивает их стоимость по сравнению со стоимостью стандартных древесно-стружечных плит на 31 р/м², или на 26%.

СПИСОК ЛИТЕРАТУРЫ

- Леонович А. А. Теория и практика изготовления огнезащищенных древесных плит. — М.: Изд-во ЛГУ, 1978.
- Левенчик А. А. Новое в скажевик горючести древесных и древесно-пластичных материалов. — М.: ВНИИПИЭИспром, 1989.

УДК 666.068.69.057.43

В. И. ЛАРИНА, канд. техн. наук (ВНИИстройполимер)

Новое поколение водно-дисперсионных клеящих мастик дивитекс строительного назначения

В последнее время достигнуты успехи в разработке новых водно-дисперсионных клеющих мастик. В СССР и за рубежом отработаны десятки различных латексов, накоплены экспериментальные данные о технологии и свойствах составов. Новизна и широта исследований позволяют говорить о создании перспективного направления в развитии клеющих мастик на основе водных дисперсий полимеров (латексов).

Изменяя тип водной дисперсии, количество последнего в композиции, применяя различные добавки, можно широко регулировать технологические свойства клеевого состава и эксплуатационные характеристики материала.

Для производства клеев без растворителей за рубежом в основном используют поливинилэфирные дисперсии и сополимеры на их основе, дисперсии сополимера винилхлорида с винилиденхлоридом, дисперсии на основе сложных эфиров акриловой кислоты (акриловые дисперсии), а также различные виды латексов (бутадиенстирольный, хлоропреновый, бутадиенкарбоксилатный, хлоропренакрилонитрильный).

В качестве наполнителей используют мел, клюкву, известняковую и кварцевую муку, тальк и другие материалы.

Введение в клеящий состав целевых и технологических добавок позволяет получить композицию с заданными свойствами.

Строющиеся в стране производства клеющих мастик должны выпускать современные составы взамен устаревшего синтеза. Кроме того, следует учитывать, что в текущей лягите также также не будет отечественного сырья для получения водно-дисперсионного клея типа КДС-2. С учетом того, что до 1990 г. и далее предусматривается дополнительный ввод мощностей по производству линолеума. Вопрос уменьшения полимерности клеющих мастик становится наиболее острым, так как развитие сырьевой базы для дополнительного изготовления клеющих мастик пока остается проблематичным. В связи с этим задача заключается в разработке водно-дисперсионных клеющих мастик с уменьшенным (на 20—30% по массе) содержанием полимера и с повышенной морозостойкостью. Последнее обстоятельство очень важно, так как позволит перевозить и хранить продукты при отрицательных температурах.

Отечественная промышленность для получения клеевых композиций (синтеза, гумилекса, бутилата) в качестве основного полимерного сырья использует дивинилстирольный латекс СКС-65ГП (ГОСТ 10564—75), производство кото-

рого, по данным Гипрокачука, к 1990 г. составит 100 тыс. т.

Известно, что дивинилстирольный латекс является слабополимерным полимером [1] и для достижения необходимой прочности клеевого соединения в применяемых композициях дивинилстирольного латекса должно быть не менее 65—70% по массе (синтеза — 67,2%, гумилекса — 70%).

В последние годы для снижения содержания латекса в композиции, придачи ей необходимой вязкости, клейкости (липкости), а также для повышения физико-механических показателей клеевого соединения проводятся работы по модификации свойств латекса путем введения в него олигомеров с функциональными группами [2]. Образец олигомера КБФ такого рода (ТУ 223 ЭССР 79—85) получен из НИИ пластических масс. Предполагалось, что наличие в термореактивном связующем (олигомере) замеев, содержащих ароматические и гетероароматические циклы, приведет к повышению эксплуатационных свойств материала, а наличие в молекуле фенольной группы вызовет пластификацию системы и позволит улучшить технологические свойства композиций.

Олигомер был опробован в качестве модифицирующей добавки к дивинилстирольному латексу СКС-65ГП. Содержание добавки изменяли от 1 до 50% по массе по отношению к латексу. Анализ влияния количества термореактивного связующего на прочностные свойства латексной пленки показал, что оптимальное содержание олигомера составляет 2% по отношению к латексу (предел прочности при разрыве составляет 5,3 вместо 2 МПа для чистой латексной пленки).

В соответствии с полученными данными дальнейшие испытания проводили на наполненных композициях, содержащих 2% олигомера (по отношению к латексу). Затем этот состав был дополнительно проверен по основным технологическим и физико-механическим свойствам. Эксплуатационные свойства латексных клеющих мастик приведены в табл. 1.

Данные таблицы показывают, что лабораторные образцы, выполненные на основе дивинилстирольного латекса СКС-65ГП и модифицированные олигомером, являются технологичными (вязкость 1,3—3 Па·с), имеют более высокую прочность клеевого соединения за 24 ч (0,8—0,88 МПа) по сравнению с промышленными образцами клея синтеза (соответственно данные Олесского линолеумного завода — 0,34 МПа и Хлюбинского завода «Стройполи-

Таблица 1

Образец	Вязкость, Па·с,			Плот-	Предел прочности при отрыве, МПа, через сут			
	исх.	1 мес	3 мес		1	3	14	28
№ 1	2,3	3	5	1,3	0,8	0,93	1,07	0,87
№ 2	3	3,5	4	1,42	0,8	1	0,73	0,80
№ 3	1,3	—	—	1,36	0,88	0,97	0,93	0,93
Синтекс Одесского ливольного завода «Большевик»	28	—	—	—	0,94	0,33	0,65	0,67
Синтекс Хлюбинского завода «Стройполимер»	66	—	—	—	0,31	0,47	0,58	0,59

Таблица 2

Клеящий состав	Вязкость, Па·с	Предел прочности при отрыве, МПа, через 24 ч	Клеящий состав	Вязкость, Па·с	Предел прочности при сдвиге, МПа
Водно-дисперсионный клей (опытный образец)	2,4—2,9	0,4	Водно-дисперсионный клей (опытный партия)	6	0,78—0,8
Мастик гумилакс	31	0,18	Бустилат	8	0,38—0,37

Таблица 4

Номер образца	Вязкость, Па·с			Плотность, г/см³	Предел прочности при отрыве, МПа, через сут			
	исх.	Через 1 мес	Через 3 мес		1	3	14	28
4	0,8—1	1,2	3,2	1,61	0,78	0,63	0,85	0,97

сов с различным содержанием олигомеров;

определенна морозостойкость хлевого состава с оптимальным содержанием олигомера (дивитекс М).

Известно, что с применением смолы КБФ в битумно-латексных (СКС-65ГП) композициях повышается морозостойкость последних [4]. Оптимальное содержание олигомера КБФ в системе подбирали на бинарных моделях латекс+олигомер. Было установлено, что существенное увеличение морозостойкости (образцы выдерживали 5 циклов попеременного замораживания при температуре -20°C и оттаивания при температуре $+20^{\circ}\text{C}$) достигается при содержании 30% по массе олигомера. Сравнительные свойства морозостойких мастик представлены в табл. 5.

Приведенные в таблице данные свидетельствуют, что введение в латекс 30% олигомера позволяет получить водно-дисперсионный клей повышенной морозостойкости — выдерживает 5 циклов попеременного замораживания и оттаивания. При этом прочность хлевого соединения мало изменяется по сравнению с прочностью исходного образца (0,4 против 0,42 МПа). Вязкость увеличивается до 8 МПа·с при сохранении технологичности нанесения клея.

Результатом проведенных исследований явилась разработка водно-дисперсионных клеящих мастик дивитекс нового поколения, характеризующихся

уменьшенным содержанием полимера: марки А — с использованием технического лигносульфоната; марка Б — водорастворимого полимера и повышенной морозостойкостью дивитекс М.

Отработаны технологические параметры изготовления клеющих мастик, выпущены опытные партии материала и применены на строительных объектах.

Определены основные эксплуатационные свойства хлевых соединений. Разработаны технические условия на опытные партии мастик дивитекс, типовой технологический регламент, обоснование эффективности производства этих мастик и составлены лимитные цены.

На клеющую мастерку дивитекс получены: свидетельство на товарный знак Госкомитета СССР по изобретениям и

Таблица 5

Номер образца	Вязкость, Па·с	Предел прочности при отрыве, МПа, Через сут				Морозостойкость, циклы
		1	3	14	28	
5	2,6	0,42	0,56	0,7	0,61	5
6	0,4	0,46	0,6	0,6	0,6	5

Приложение. Над чертой — данные испытаний мастик до воздействия отрицательных температур, под чертой — после пяти циклов попеременного замораживания при температуре -20°C и оттаивания при $+20^{\circ}\text{C}$.

открытиям, авторское свидетельство [5], а также положительное решение Государственной научно-технической экспертизы на зонтику (дивитекс марки В).

Экономический эффект при производстве мастики дивитекс может составить до 50 р. на 1 т по сравнению с изогиблением мастики синтеза. При этом клеящая способность первой в два раза выше.

Водо-дисперсионный клей дивитекс был представлен на международных выставках «Конеко-87» и «Конеко-89» в

СССР. Он экспонировался на Всесоюзной выставке «Развитие жилищного, культурно-бытового строительства в СССР» в 1988 г. и в павильоне «Строительные материалы» объединенных павильонов «Строительство» на ВДНХ СССР.

СПИСОК ЛИТЕРАТУРЫ

- Клей на основе латексов. Технический обзор. Серия «Производство инженерно-технических и асбестотехнических изделий». — М., 1984. — № 3.

УДК 661.213.9.58/34

Г. И. ТАРАСОВА, канд. хим. наук, И. Е. ИЛЬЧЕВ, канд. хим. наук, С. К. ПАУС, инж. (Белгородский технологический институт строительных материалов им. И. А. Гришманова)

Сухая побелка и безолифная шпаклевка

В последние годы в строительстве при отделке зданий и сооружений и в быту при ремонте квартир находят применение kleевая побелка, представляющая собой порошкообразную смесь молотого мела с kleем и антисептиком [1—2], а также безолифные шпаклевки, основное достоинство которых — это возможность при их получении отказаться от использования дисперсионной олифы, вырабатываемой из пищевой сырьи [3].

Недостатками тех и других составов являются: во-первых, потребность в дорогостоящих и остродефицитных связующих — казеиновом kleе, крахмале и карбоксиметилцеллюлозе (КМЦ); вторых, невысокая адгезия к окрашиваемым поверхностям, инаква водостойкость.

Авторами разработаны новые составы сухой безолифной шпаклевки [4] и сухой побелки на основе природного мела. В качестве связующего используют коллоидно-водорастворимые при нагревании до 90°C отходы производства капролактама.

Отходы — кубовые отходы дистилляции капролактама (КОДК) — представляют собой олигомеры с молекулярной массой 200—2000 у. е. При обычных условиях — это волокнистое вещество плотностью 1362 кг/м³, температура размягчения 85—95°C, цвет охристый. При нагревании в воде до 85—90°C и перемешивании КОДК образуют коллоидный раствор, проявляющий связующее действие по отношению к мелу.

Побелку готовили следующим образом. Мел и КОДК смешивали (соотношения материалов указаны в табл. 1) и размывали в шаровой мельнице до получения остатка на ситах с сеткой № 01 (ГОСТ 3924—84) не более 6%. В качестве оптического отбелителя, а также антисептика добавляли медный купорос от 0,03 до 0,5% массы мела. Чтобы приготовить рабочую сuspенцию, сухую смесь затворяют горячей водой (85—90°C) и перемешивают до образования однородной массы.

Технологичность побелки, пневматической методом распыления, определяется ре-

Таблица 1

Компонент побелки	Содержание компонента, % для состава			
	1	2	3	4
Мел молотый	97	93	93	90
КОДК	3	5	7	10

Примечание. В составы вводили CuSO₄ — 0,05% суммарной массы компонентов.

Таблица 2

№ состава побелки	Свойства побелки					
	мел, ч.	адгезия к оптике при комнатной температуре, кг/см²	пластическая вяз- кость, Ч. пг. Пн.	диккитовая ка- рбонатная сталь, Ч. пг. Пн.	водостойкость, %	удоропроч- ность, %
1	93,5	2,05	4,075	29,5	620	55
2	91,6	8,8	4,13	23	680	62
3	89,6	4,8	4,105	19,9	675	65,5
4	86	6,6	4,27	19,4	710	67,5

Таблица 3

№ состава	Содержание компонента, %		Свойства шпаклевки			
	мел молотый	отходы	адгезия, игбс	водостой- кость, %	жгучесть, сур	удоропроч- ность, %
1	93	5	3,9	4	20	50
2	93	7	4,6	10	30	55
3	96	10	6,6	12	90	62
4	87	18	9,3	15	80	68
5	88	17	9,4	17	360	75
6	80	20	9,6	20	360	78
7	76	26	10,2	21,5	360	79

ологическими характеристиками, динамическим напряжением сдвига τ_η и пластической вязкостью Η_η. Реологические свойства побелок определяются на вискозиметре ВСН-3. Составы и свойства побелок представлены в табл. 1 и 2.

- Синтетические и искусственные латексы. Получение в ходификации. — Тезисы докл. 6-й Всесоюзной латексной конференции. — ЦНИИЭХим. — М., 1982.
- Чудаков М. И. Промышленное использование латекса. — Над. 2-е, испр. и доп. — М.: Лесная промышленность, 1978.
- А. с. 567670 СССР М Кл. C09 F 3/24 COBZ 95/00 Битумно-полимерная композиция для покрытий / В. П. Дятлова, О. П. Блинова, Н. В. Пощупова и др.
- А. с. 1481247 СССР МКИ С09 F 3/12 Клей-композиция / В. И. Ларин, А. А. Колодкин, Т. В. Крылова, А. Ф. Матюхин // Открытия. Изобретения. — 1989. — № 19.

С увеличением содержания КОДК повышается адгезия побелки, однако при этом уменьшается ее белесина, поэтому оптимальным является содержание добавки из отходов 5—7%.

Пластическая вязкость супензий побелки в воде изменяется незначительно — от 4,08 до 4,27 Па·с при увеличении содержания КОДК от 3 до 10%. Более заметно снижается предельное динамическое напряжение сдвига — с 29,5 до 19,4 Па (см. табл. 2).

Таким образом, КОДК выступает в роли слабого диспергатора по отношению к агрегатам меловых частиц в расплавленном состоянии (при температуре 80—90°C) и вязкого при обычной температуре.

Чтобы получить окрашенную поверхность в побелку, нужно вводить водорастворимые красители и пигменты.

Безолифная шпаклевка отличается от описанных выше побелочных составов повышенным содержанием КОДК. Составы и свойства безолифной шпаклевки приведены в табл. 3.

На основе анализа данных табл. 3 сделан вывод, что оптимальным составом следует считать те, которые содержат 17—20% КОДК.

Составы сухой побелки и безолифной шпаклевки испытаны в производственных условиях. Они показали высокую технологичность в применении и устойчивость после нанесения на поверхности бетонные, деревянные, оштукатуренные.

Выполненные в Белгородской областной санэпидемстанции исследования показали, что токсичные вещества отсутствуют как в составах побелок и шпаклевок, так и в воздухе помещений, в которых выполнялись строительные работы с их применением.

Предлагаемые составы эффективны и производство внутренних отделочных строительных работ в промышленных, гражданских и сельскохозяйственных зданиях и сооружениях. По сравнению с применением известных отделочных составов использование побелок позволяет снизить себестоимость отделочных работ на 27%, а шпаклевочных — на 46%.

СПИСОК ЛИТЕРАТУРЫ

- ТУ 458-1-14-79 «Клеевая побелка».
- ТУ 458-1-14-84 «Клеевая побелка».
- Завражих Н. Н. и др. Производство отделочных работ в строительстве. — М.: Стройиздат, 1987.
- А. с. № 1657386 (СССР) / Г. И. Тарасова, И. Е. Ильинцев, С. К. Паус. Способ приготовления шпаклевок // Открытия. Изобретения. — 1987. — № 45.

Приборы и автоматика

УДК 622.234.014.8:681.3.004.14

П. Н. ЩЕРБАКОВ, инж. (Днепропетровский горный институт)

Электронно-вычислительная система контроля загрузки автосамосвалов

Применение автосамосвалов большой грузоподъемности на открытых разработках месторождений полезных ископаемых усложняет выполнение контроля и учета массы транспортируемых грузов. Это объясняется значительными капитальными затратами на сооружение извлекающих установок, концентрацией грузозапасов на одни пункты, снижением скорости или остановкой автосамосвала в момент взвешивания и невозможностью осуществлять контроль загрузки автосамосвала со стороны машиниста экскаватора.

В Днепропетровском горном институте разработана электронно-вычислительная система, позволяющая оперативно получать информацию о массе горных пород непосредственно при их погрузке в кузов автосамосвала. Контроль процесса погрузки выполняется как водителем автосамосвала, так и машинистом экскаватора.

Структурная схема системы представлена на рис. 1. Та ее часть, которая устанавливается в автосамосвале, содержит следующие узлы: преобразователь массы груза в электрический сигнал D , генератор информационных импульсов GI , управляемый элементом сравнения EC , цифроаналоговый преобразователь $ЦАП$, счетчик импульсов $СИ_1$.

При поступлении электрического сигнала с датчика D на один из входов EC с уровнем напряжения, превышающим уровень напряжения, поступающего на второй вход EC с $ЦАП$, EC разрешает работу GI и его импульсы поступают на счетчик импульсов и на вход $ЦАП$. Выходное напряжение последнего начинает возрастать пропорционально количеству входных импульсов, пока не превысит уровень напряжения, поступающего с датчика. По

этому условию элемент сравнения EC запрещает работу генератору информационных импульсов GI .

Если же выходное напряжение датчика вновь увеличится, EC снова разрешает работу GI , что повлечет за собой увеличение выходного напряжения $ЦАП$. Этот процесс будет продолжаться до тех пор, пока выходное напряжение датчика будет возрастать, причем значение не имеет, каким образом оно будет возрастать, плавно или скачкообразно, т. е. можно осуществлять взвешивание горных пород, погружаемых в кузов автосамосвала экскаваторами циклического действия.

Многочисленные исследования и обобщения литературных источников и данных промышленных экспериментов показали целесообразность применения в качестве первичных преобразователей массы груза в электрический сигнал бесконтактных датчиков углового перемещения подвеснойной части автомобиля относительно неподвесной при его загрузке.

Продольные штанги, воспринимающие продольные нагрузки, воспроизводят линейное перемещение поршней цилиндров в угловом выражении. Зависимость перемещения поршия и угла штанги относительно плоскости рамы или платформы характеризуется выражением

$$h = l \sin \alpha,$$

где h — перемещение поршка, мм; l — длина штанги, мм; α — угол перемещения штанги, град.

Наиболее простым и надежным преобразователем углового перемещения является электрическая магнит, выходное напряжение которой также описывается синусоидальной зависимостью в функции угла поворота ее ротора. Приходом ротора такой микромашинки должна служить продольная штанга автосамосвала, тогда выходной сигнал будет линейной величиной относительно ее углового перемещения. В связи с этим в качестве преобразователя массы груза в электрический сигнал для данной системы принят сельсины, включенный в трансформаторном режиме. Как известно, выходное напряжение сельсина также описывается синусоидальной зависимостью

$$u = u_0 \sin \alpha,$$

где u_0 — напряжение источника питания статора; α — угол поворота ротора, град.; u — выходное напряжение.

Получение первичной информации с помощью сельсина отличается следующими преимуществами: просто решается вопрос его установки на автосамо-

свале (не требуется больших трудозатрат для изготовления специальных крепежных элементов); широкий выбор среди большого количества различных типов, классов точности и конструктивного исполнения, нет необходимости в разработке устройств суммирования выходных сигналов, так как это достигается последовательным включением выходных роторных обмоток; мощность выходных сигналов, как правило, достаточна для дальнейшей обработки средствами электроники даже у самых малогабаритных и, следовательно, малоизвестных сельсинов.

Из большого разнообразия серийно выпускаемых промышленностью типов наиболее подходящим для настоящей системы является малогабаритный сельсины класса I типа БД 404 А. Требуемая точность при взвешивании будет достигнута, если на автосамосвал устанавливать четыре сельсина, т. е. по одному из измерения перемещений по соответствующим подвескам. Статорные обмотки сельсинов включаются параллельно, роторные — последовательно так, что выходное напряжение всех датчиков суммируется. После выпрямления и гашения пульсаций это напряжение поступает на вход электронных преобразователей по заданному алгоритму.

Сложность взвешивания состоит в том, что первоначальная информация о перемещении загружаемого кузова, получаемая с помощью сельсинов, может стать источником существенной погрешности. Это объясняется тем, что, во-первых, выходная характеристика пневматидроцилиндров существенно нелинейна, во-вторых, пневматидроцилиндры не сохраняют ее неизменной, так как происходят утечки газа и масла из их полостей. Кроме того, дополнительная погрешность будет возникать из-за неравномерной загрузки платформы автосамосвала, из-за уклона погрузочной площадки и др.

Влияние всех указанных факторов исключается в системе тем, что сначала заломивается первоначальный уровень сигнала датчика (непосредственно перед загрузкой автосамосвала), а затем вычитается из конечного уровня сигнала (после загрузки). Система также учитывает нелинейность чувствительного элемента. Этим обеспечивается однозначное соответствие между уровнем электрического сигнала и массой груза, находящегося в кузове автосамосвала. Функциональная схема разработанной системы представлена на рис. 2. Счетные импульсы с выхода генератора импульсов GI поступают на счетчик импульсов $СИ_1$ через

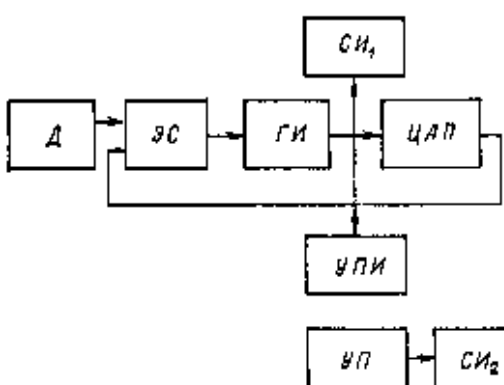
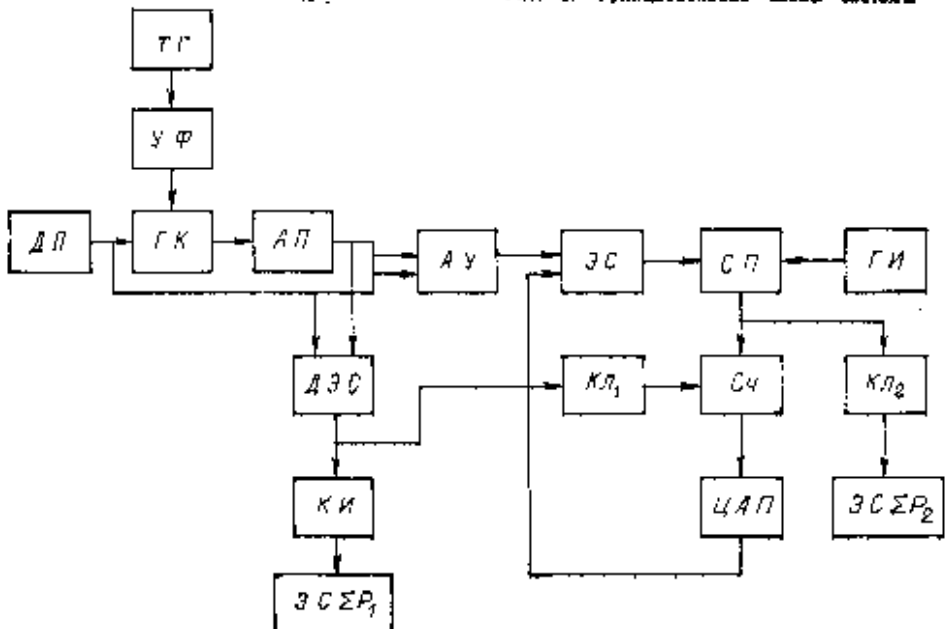


Рис. 1. Структурная схема системы

Рис. 2. Функциональная схема системы



схему совпадений Сп. Разрешающий или запрещающий импульс на эту схему поступает с выхода элемента сравнения ЭС, сравнивающего между собой выходные напряжения цифровизированного преобразователя ЦАП и аналогического устройства АУ.

Элемент сравнения ЭС запрещает поступление импульсов через схему Сп в том случае, когда выходное напряжение АУ меньше выходного напряжения ЦАП. АУ предназначено для аналого-вого вычитания напряжения, поступающего с выхода устройства аналоговой памяти АП, из напряжения, поступающего с выхода датчиков углового перемещения ДЛ. Вход устройства АП непрерывно подключен к выходу ДЛ через герметический контакт ГК только во время движения автомобиля. Управляется ГК напряжением, поступающим с тахогенератора ТГ. Формирование управляющего сигнала осуществляется устройством УФ.

При остановке автомобиля ГК отключает вход АП от источника, измеряемого датчиком сигнала. АП запоминает этот сигнал, т. е. хранит значение уровня последнего сигнала, полученного перед остановкой автомобиля. АУ выполняет аналоговые вычитания данного уровня из сигнала, поступающего непосредственно с выхода датчика.

Таким образом, на выходе АУ в первоначальный момент после остановки автомобиля будет нулевой уровень напряжения независимо от значения уровня напряжения на выходе датчиков перед остановкой. Этим обеспечивается исключение веса тары автомобиля и задается начальный «нулевой» уровень отсчета при изменении значения начального давления газа в полостях пневмоцилиндров. В значительной степени снижается также погрешность измерения за счет возможных уклонов погрузочной площадки.

При загрузке автомобиля выходное напряжение АУ будет возрастать от этого нулевого уровня. Так на выходе ЦАП при этом уровень сигнала был также нулевой, то ЭС разрешит по-

ступление импульсов на счетчик через схему Сп.

С увеличением числа импульсов, подсчитываемого и индицируемого счетчиком, будет возрастать выходное напряжение ЦАП. При сравнении этого напряжения с напряжением на выходе АУ ЭС запретит дальнейшее поступление импульсов на счетчик.

Таким образом, на счетчике будет индицироваться число, пропорциональное уровню напряжения на выходе АУ, т. е. пропорциональное выходному напряжению датчиков, изменявшемуся после остановки автомобиля в зависимости от массы груза, погруженного в его кузов.

Для подсчета числа грузовых рейсов автомобиля предложено использовать электромагнитный счетчик импульсов ЭСЕР₁. Управление его работой осуществляется по следующему алгоритму. После остановки автомобиля на разгрузку уровня сигналов, поступающих с выхода ДЛ и АП на вход второго элемента сравнения ЭС, одновременно с ключом управления ЭСЕР₁ закрыт.

После разгрузки уровень напряжения на выходе ДЛ снизится до исходного значения, а на выходе АП вследствие того, что ГК разомкнут, сохранится постоянным. ДЭС при этом переключится в состояние, при котором ключ КИ подключит обмотку ЭСЕР₁ к источнику напряжения его питания, якорь счетчика провернет счетный барабан первого десятичного разряда на 0,5 оборота.

С началом движения автомобиля ГК подключит вход АП к выходу ДЛ и на выходе АП напряжение сравняется с напряжением ДЛ. ДЭС при этом переключится в исходное состояние, КИ обеспечит обмотку ЭСЕР₁ и счетный барабан повернется еще на 0,5 оборота. Этим прибавится единица к числу, хранящемуся на счетчике. Таким образом, для занесения на счетчик одного рейса необходимо перед этим выполнить следующие условия: автомобиль должен быть загружен, должен сначала двигаться, а затем остановиться, должен разгрузиться и тро-

нуться с места.

Для установления счетчика Сп в нулевое состояние предусмотрено управлять ключом сброса в «нуль» К₄, с помощью которого сбрасывается выходной сигнал ДЭС. Такая схема позволяет хранить на счетчике импульсов Сп информацию в течение всего рейса. Сброс произойдет только после разгрузки автомобиля.

Известно, что контроль загрузки автомобиля со стороны его водителя целесообразно осуществлять во время погрузки и не отвлекать его при движении. В этой связи управляющий сигнал на ключ К₁ следует подавать с формирователя УФ. Сброс в «нуль» будет происходить в таком случае всякий раз, когда автомобиль тронется с места.

Обозначененный на функциональной схеме второй электромеханический счетчик ЭСЕР₂ используется для суммарного накопления массы транспортируемого груза. Управление его обмоткой такое же, как и в ЭСЕР₁. Импульсы на ключ К₂ поступают непосредственно с выхода схемы Сп.

Для контроля процесса загрузки со стороны машиниста экскаватора применяется счетчик импульсов СИ₂, устанавливаемый непосредственно в его кабине. Сообщение на экскаватор информации о массе горных пород, погруженных в кузов автосамосвала, осуществляется при помощи передающего устройства на автомобиле и приемного устройства на экскаваторе УП, выход которого подключен ко входу счетчика СИ₂.

Для передачи информации с автосамосвала на экскаватор о процессе погрузки и массе горных пород применяется низкочастотная индуктивная связь исключающая использование средств и каналов радиосвязи.

На вход передатчика поступают имформационные импульсы, которые усиливаются по тому составным эмиттерным повторителем, в нагрузку которого включен трансформатор. Выходная обмотка трансформатора нагружена на проволочную петлю, охватывающую пространство, внутри которого необходимо обеспечить связь. При протекании импульсов тока по этой петле внутри ее индуцируется электромагнитное поле, быстро затухающее за ее пределами.

Приемник электромагнитного поля представляет собой обычный двухкаксадный низкочастотный усилитель на транзисторах с включенным на входе резонансным контуром. Контур настроен на частоту следования счетных импульсов. К выходу приемника подключается счетчик импульсов.

Оперативная информация о массе горных пород в кузове автосамосвала позволяет машинисту экскаватора обеспечивать номинальную его загрузку. Разработанная электронно-вычислительная система может найти широкое применение в АСУ автомобильным транспортом на карьерах.

Результаты научных исследований

УДК 669.088.001:620.189.1

Ю. П. ГОРЛОВ, д-р техн. наук (МИСИ им. В. В. Куйбышева), Г. С. РАЕВСКАЯ, канд. техн. наук, Р. В. ВАГАНОВА, канд. техн. наук (ВНИПИТеннопроект), А. А. УСТЕНКО, канд. техн. наук (ВНИИЭСМ)

К вопросу прогнозирования срока службы кристаллизующихся минеральных волокон

Минеральные изделия являются эффективными теплоизоляционными материалами, однако, область их применения ограничивается температуроустойчивостью минеральных волокон до 700°C.

С целью создания новой минераловатной изоляции с температурой применения 700–1000°C разработана технология получения кристаллизующихся минеральных волокон, которая предусматривает термообработку минералоизвестного ковра методом термоудара при температуре 700°C. В качестве сырьевых материалов для получения таких волокон использовались горные породы группы габбро-базальтов и конкретизирующие добавки в виде доломита, магнезита и марганцевого шлака [1].

Путем рентгенофазовых и микроскопических исследований установлено, что в интервале температур 700–1000°C в предварительной термообработке волокнах кристаллизуется шпинель-пироксеновая фаза. Кристаллизация волокон начинается с поверхности и при этом образуется ранночерная мелкозернистая структура.

В процессе кристаллизации меняются многие свойства волокон. Следовательно, фиксируя изменение этих свойств, можно составить представление о степени воздействия на них протекающего процесса кристаллизации. Одним из свойств-индикаторов процесса кристаллизации является прочность [2].

В результатах проведенных исследований установлено, что разрушение волокон не происходит предварительную термообработку, начинаясь после 700°C вследствие неравномерной кристаллизации и при 1000°C волокна сохраняют нечто лишь 30% прочности. Волокна же, подвергнутые предварительной термообработке, и процессе которой образуется большое число центров кристаллизации и создаются условия для равномерной мелкозернистой кристаллизации, сохраняют 60% первоначальной прочности вплоть до 1000°C. Эти результаты подтверждают целесообразность предварительной термообработки минеральных волокон для улучшения их прочностных характеристик.

Отличительной особенностью кристаллизующихся минеральных волокон является то, что выделение основной кристаллической фазы на базе образовавшихся в процессе термообработки центров кристаллизации происходит непосредственно при эксплуатации минераловатных изделий. В связи с этим особый интерес представляет изучение кинетики роста кристаллов во времени, поскольку размеры кристаллических зерен в первую очередь отражаются на прочности волокон.

На Ульяновском заводе теплоизоляционных изделий в промышленных условиях (в печи с плоскостью зеркала расплава – 48 м²) была выпущена опытная партия производных матов на основе кристаллизующихся минеральных волокон из шихты состава, %: габбро-диабаз – 75, доломит – 25. Оксидный состав волокон, %: SiO₂ – 44,38; Al₂O₃ – 12,24; TiO₂ – 1,32; Fe₂O₃ – 4,97; FeO – 0,58; MnO – 0,14; CaO – 17,61; MgO – 9,32; Na₂O – 2,11; K₂O – 0,68; SO₃ – 0,7. Часть этой партии была подвергнута предварительной термообработке.

Для проведения долговременных испытаний образец прошлогоднего мата был установлен в смотровое окно регенератора ванной печи с подковообразным направлением пламени. Переходка факела осуществлялась через 30 мин, при этом температура отходящих газов колебалась в пределах 700–1000°C. Таким образом, образец подвергался многократной циклической температурной нагрузке: в течение 30 мин нагревался от 700 до 1000°C, а в следующие 30 мин охлаждался от 1000 до 700°C. Термопары для измерения температуры отходящих газов были расположены непосредственно под смотровым окном регенератора.

После проведения испытаний в течение 1 мес волокна были исследованы с помощью электронного микроскопа (рис. 1). Для сравнения были также исследованы волокна этой же опытной партии, но обработанные при 1000°C в течение 1 ч в лабораторных условиях. При этом установлено, что в обо-

их случаях волокна имеют одинаковую мелкокристаллическую структуру и кристаллические зерна равномерно распределены в остаточной стеклофазе, которая скрепляет их между собой и препятствует росту крупных кристаллов, т. е. структура волокон стабилизируется. Постоянство структуры волокон можно объяснить с помощью теории теплопроводности и учения о физико-химическом равновесии.

Поскольку процесс кристаллизации является экзотермическим процессом, то на скорость роста кристаллов значительно влияет скорость отвода тепла кристаллизации от поверхности раздела фаз. Если теплота кристаллизации увеличивает температуру поверхности раздела фаз, то скорость роста кристаллов смягчается [2].

Если учесть, что теплопроводность отдельного волокна сколько-нибудь воздуховых прослоек, которыми окружены волокна в волокнистой массе [3], то становится очевидным, что при длительном воздействии высоких температур отвод тепла от поверхности раздела фаз затруднен, следовательно, замедляется и скорость роста кристаллов. Вместе с тем, по этой же причине при воздействии высоких температур тепловые потоки концентрируются в середине волокна, при этом увеличиваются тепловые колебания и скорость диффузии молекул к поверхности волокна, где и начинается наиболее активный рост кристаллов.

Проведенные исследования позволили установить, что кристаллизация волокон действительно начинается с поверхности.

Поскольку скорость роста кристаллов, как отмечалось выше, обуславливается скоростью отвода тепла кристаллизации от поверхности раздела фаз, то по мере роста кристаллов скорость отвода тепла кристаллизации замедляется вследствие более высокой теплопроводности кристаллической фазы по сравнению с теплопроводностью стеклообразной фазы [3], а следовательно, замедляется и скорость роста кристаллов, т. е. система стремится к равновесию.

Согласно второму принципу термодинамики при постоянных температуре и давлении равновесное состояние системы наступает при изменении свободной энергии системы $\Delta G = 0$. Рост кристаллов и увеличение поверхности раздела фаз сопровождается возрастанием свободной энергии системы вследствие освобождения теплоты кристаллизации, а размещение компонентов стекла в кристаллическую решетку сопровождается уменьшением свободной энергии системы, так как необходимо преодолеть межфазовый энергетический барьер.

Суммарный процесс кристаллизации становится равновесным, когда приращение свободной энергии системы при первом процессе равно убыткам свободной энергии системы при втором процессе. При этом кристаллы достигают некоторого предельного для данных условий размера и их рост прекращается [4]. Такое равновесное состояние наступает в течение первых суток службы волокон в минераловатных изделиях при высоких температурах и не нарушается во время длительной эксплуатации (см. рис. 1).

Рентгенофазовый анализ показал



Рис. 1. Микроструктура кристаллических волокон после 4 мес эксплуатации при температуре 1100°C в промышленных условиях. Ув. ×3000

что степень закристаллизованности волокон после 4 мес. эксплуатации не увеличивалась по сравнению со степенью закристаллизованности волокон, обработанных при температуре 1000°C в течение 1 сут. На кривой ДТА волокон после 4 мес. эксплуатации экзотермический пик кристаллизации практически отсутствует, это свидетельствует о полной заторможенности процесса кристаллизации [Рис. 2].

При эксплуатации кристаллизующихся минеральных волокон в промышленных условиях было установлено, что их прочность уменьшается на 15% в течение первых суток эксплуатации в связи с ростом кристаллов и формированием кристаллической структуры волокон. Это объясняется тем, что предварительной термообработки достигается лишь образование большого числа центров кристаллизации, а формирование кристаллической структуры волокон происходит непосредственно при эксплуатации изделий из них. В дальнейшем снижение прочности волокон замедляется и за 4 мес. составило всего 3%.

Как показали физико-химические исследования, уменьшение снижения прочности волокон во времени объясняется прекращением роста кристаллов и стабилизацией структуры волокон.

Таким образом, при прогнозировании срока службы кристаллических волокон параметры структурных изменений могут быть исключены, и за основу приняты прочностные показатели.

После термообработки волокон в промышленных условиях их прочность σ_0 составила 80%. В процессе эксплуатации минераловатных изделий прочность волокон изменялась следующим образом:

Период эксплуатации t_i , мес	1	2	3	4
Прочность волокон σ , %	65,8	64,5	63,7	63,1

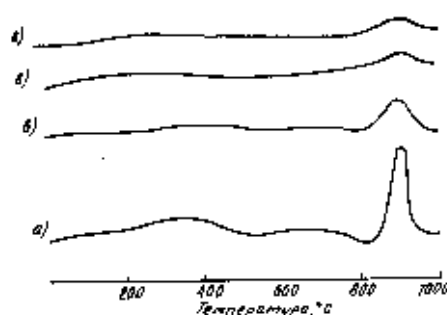


Рис. 2. Кривые ДТА волокон:
исходных (а); после термообработки при температуре 700°C; методом термоудара в течение 20 ми (б); после испытаний предварительно термообработанных волокон при температуре 1000°C в течение 1 сут (в); после эксплуатации предварительно термообработанных волокон в промышленных условиях при температуре 1000°C в течение 4 мес (г)

Такой характер изменения прочности волокон во времени может быть описан уравнением:

$$\sigma_t = \sigma_{\text{пр}} - a e^{-b t_i}, \quad (1)$$

где σ_t — остаточная прочность волокон в течение периода эксплуатации t_i , %; $\sigma_{\text{пр}}$ — предельно допустимая остаточная прочность волокон, %; t_i — период эксплуатации, мес; a , b — расчетные эмпирические константы, учитывающие характер изменения прочности волокон во времени.

Согласно принятому в данной работе определению температуроустойчивости $\sigma_{\text{пр}}=50\%$.

Из уравнения (1) следует, что при $e^{-bt_i} = 1$ $\sigma_t = \sigma_{\text{пр}} - a$ или $a = \sigma_0 - \sigma_{\text{пр}} = 80 - 50 = 30$.

Подставляя в уравнение (1) $a = 30$ — $\sigma_{\text{пр}}$ и преобразуя его, находим выражение для второй константы b :

$$b_i = -\frac{1}{t_i} \ln \frac{\sigma_0 - \sigma_{\text{пр}}}{80 - \sigma_{\text{пр}}}.$$

По этому уравнению определяем b_i для каждого периода эксплуатации, и расчетную эмпирическую константу b

находим как среднее арифметическое этих определений. В результате получаем $b = 0,365$.

Из уравнения (1) следует, что

$$t = \frac{1}{b} \ln \frac{a}{\sigma_t - \sigma_{\text{пр}}}.$$

При $\sigma_t = \sigma_{\text{пр}} = \infty$, поэтому принимаем $\sigma_t - \sigma_{\text{пр}} = 0,01$, т. е. на порядок меньше определяемого значения прочности.

Прогнозируемый срок службы кристаллизующихся минеральных волокон при температуре 1000°C составляет

$$t = \frac{1}{0,365} \ln \frac{30}{0,01} = 22 \text{ мес.}$$

Такой срок службы кристаллизующихся минеральных волокон может обеспечить работу футеровок печей без профилактического ремонта, поскольку рабочая кампания многих печей, например ванных, не превышает 22 мес.

Таким образом, проведенные исследования позволили теоретически и экспериментально доказать возможность использования кристаллизующихся минеральных волокон для изоляции объектов с температурой среды 700—1000°C и способность таких волокон работать в течение длительного времени без разрушений и деформаций.

Себестоимость кристаллизующихся минеральных волокон в три раза меньше себестоимости муллитокремнеземистых волокон, применяемых в настоящее время для изоляции объектов с температурой среды 700—1000°C. Замена последних новыми волокнами в объеме 10 тыс. м³ позволит сэкономить 375 тыс. р. в 1 год.

СПИСОК ЛИТЕРАТУРЫ

1. А. с. № 1047869 (СССР), МКИ С 03 В 37/00. Способ изготовления минераловолокнистого материала с кристаллической структурой / Р. В. Вагапова, Г. С. Рязанская (СССР) // Открытия, Изобретения. — № 36. — 1988.
2. Павлючкин Н. М. Основы технологии стекловолокон. — М.: Стройиздат, 1970.
3. Горлов Ю. П., Меркин А. П., Устевко А. А. Технология теплоизоляционных материалов. — М.: Стройиздат, 1980.
4. Аппен А. А. Химия стекла. — Л.: Химия, 1970.

УДК 666.7/8:65.011.4

В. Ф. ЧЕРНЫХ, канд. техн. наук, О. С. ОГУРЦОВА, инж. (Краснодарский политехнический институт), А. В. НЕХОРОШЕВ, д-р техн. наук (Московский институт инженеров землеустройства)

Реологические свойства цементно-песчаных смесей при повторном перемешивании

В Краснодарском политехническом институте разработана технология облицовочных плит, имитирующих мрамор, из цементно-песчаных смесей.

Особенностью мелкозернистых бетонов (получаемых без крупного заполнителя) является повышенный расход цемента при их изготовлении, а также ухудшение некоторых свойств изделий. Однако с использованием определенных технологических приемов можно полу-

чать долговечные изделия и на основе цементно-песчаных смесей.

Известно, что механические воздействия на бетонные смеси через некоторое время после их затворения (активация) оказывают положительное влияние на физико-механические свойства затвердевшего бетона [1—3]. Для получения наибольшего эффекта от активации бетонной смеси следует учитывать характер процессов структурооб-

разования при твердении бетона [2, 4].

Разработка и выдаче рекомендаций по определению оптимальных сроков приложения механических воздействий к бетонным смесям посвящено много работ. Однако промышленность нуждается в простых и надежных способах, с достаточной степенью точности определяющих время приложения таких воздействий. Кроме того, основное внимание исследователи уделяли изучению

прочностных характеристик активированного бетона, а реологические свойства, в частности вязкость и пластическая прочность бетонных смесей, изучены недостаточно. Авторами изучены кинетика вязкости цементно-песчаных смесей, выдержаных определенное время и повторно перемешанных, применяемых для изготовления бетонных плит, имитирующих мрамор. Применение повторного виброрирования в данном случае нежелательно, так как тогда нельзя получить заданный четкий рисунок на поверхности изделий.

Были исследованы цементно-песчаные смеси с соотношением между портландцементом и песком от 1:1 до 1:3, причем, водоцементное отношение изменяли таким образом, чтобы подвижность бетонной смеси по ГОСТ 5802-86 находилась в пределах от 1-2 до 5-6 см. Вязкость смесей определяли на шариковом вискозиметре, аналогичном описанному в работе [5] и изготовленном в Краснодарском политехническом институте. При помощи этого прибора, укрепленного на форме $10 \times 10 \times 10$ см, определяли скорость погружения на заданную глубину шарика со стержнем при виброрировании смеси ($N=3000$ кол/мин; $A=0,15$ мм).

С некоторым приближением можно считать, что в процессе вибровоздействия цементно-песчаная смесь ведет себя, как ньютонаевская жидкость. Поэтому вязкость ее можно определить по формуле, используя уравнение Стокса:

$$\eta = \frac{P - P_a}{6 \pi R V}$$

где P — сила тяжести шарика; P_a — выталкивавшая сила Архимеда; R — радиус шарика; V — скорость перемещения шарика.

Установлено, что вязкость цементно-песчаной смеси не является величиной постоянной. Вязкость жирных смесей заметно снижается во времени (рис. 1, кривые 1 и 2), а затем, через 30-45 мин, начинается ее быстрое увеличение. При соотношении вяжущего и песка 1:2 характер изменения вязкости несколько другой: в рассматриваемом интервале времени не наблюдается увеличения вязкости по сравнению с ее первоначальными значениями (рис. 1, кривые 3, 4). В случае тонких смесей уменьшение вязкости очень небольшое (рис. 1, кривые 5 и 6).

Уменьшение вязкости во времени можно объяснить процессами гидролиза и гидратации, изменением концентрации жидкой фазы и образованием водных оболочек вокруг частиц цемента, что уменьшает трение между ними. С течением времени отдельные зерна цемента через тонкие водные прослойки объединяются в рыхлую пространственную структуру, которую принято называть коагуляционной. Этот процесс сопровождается увеличением вязкости. Чем меньше содержание вяжущего, тем незначительнее влияние на вязкость процессов, протекающих на ранней стадии его гидратации.

Вводя повторное перемешивание перед формованием изделий из цементно-песчаных смесей, мы анализировали вязкость смеси. Она уменьшилась практически для всех исследованных составов. Исследование кинетики вязкости

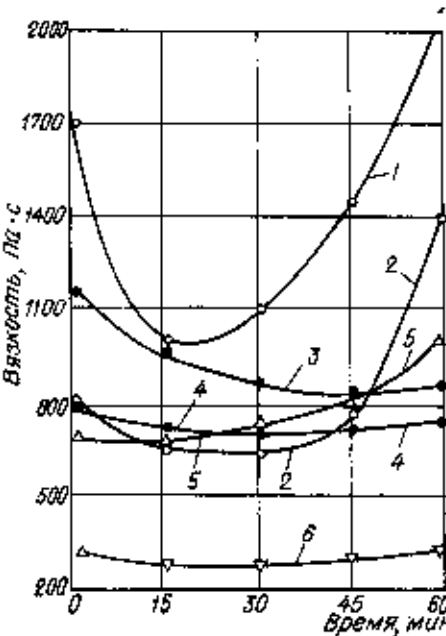


Рис. 1. Влияние времени выдержки цементно-песчаной смеси на ее вязкость при соотношении Ц:П=1:1:
1 — $B/C=0,4$; 2 — $B/C=0,45$; при соотношении Ц:П=1:2; 3 — $B/C=0,45$; 4 — $B/C=0,6$; при соотношении Ц:П=1:3; 5 — $B/C=0,8$; 6 — $B/C=0,6$

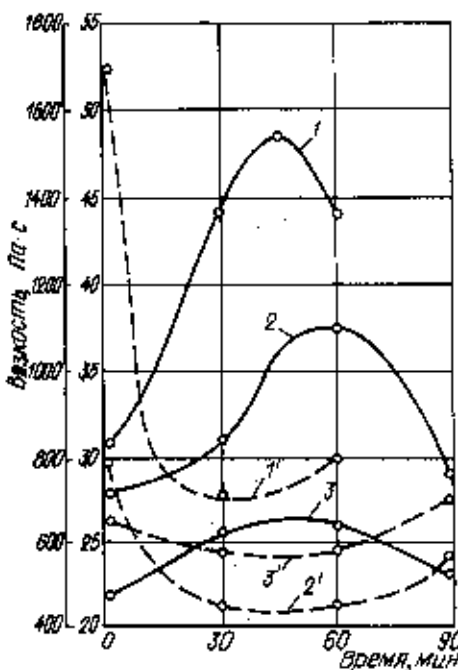


Рис. 2. Влияние времени выдержки цементно-песчаной смеси и повторного перемешивания на ее прочность и вязкость (Ц:П=1:1):
1 — прочность при $B/C=0,4$; 2 — то же, 0,45; 3 — то же, 0,6; вязкость при $B/C=0,4$; 4 — то же, 0,45; 5 — то же, 0,6

цементно-песчаных смесей и прочности затвердевшего камня при повторном перемешивании смеси перед формованием позволило выявить следующие закономерности.

Вязкость жирных смесей уменьшается на 9-60% (рис. 2), причем, более резкое снижение этого показателя наблюдается при выдержке смеси до повторного перемешивания в течение 30-

45 мин. С увеличением водонапряженности смеси, когда она становится более подвижной, вязкость ее после повторного перемешивания изменяется в меньшей степени. Такая закономерность наблюдается и при более низких расходах цемента. После выдержки затворенной смеси в течение 45 мин и более вязкость увеличивается во всех исследованных составах.

Известно, что на результат процесса гидратации большое влияние оказывает скорость переноса продуктов гидратации, осуществляемого за счет диффузии. Повторное перемешивание облегчает этот процесс. Создаются условия для встречи коллоидных частиц противоположного знака, в результате чего снижается их заряд и ускоряется процесс коагуляции. После виброуплотнения между частицами возникают более ориентированные и прочные структурные связи. Некоторое количество «свободной» жидкой фазы переходит в адсорбционно связанные состояния.

Сближение гидратированных частиц способствует увеличению плотности и прочности затвердевшего камня вследствие изменения структуры (сжатия) двойного электрического слоя (ДЭС) на границе твердые частицы — вода. Это подтверждается увеличением прочности затвердевшего камня и изделий, полученных на его основе — декоративных плит, имитирующих мрамор.

В наибольшей мере прочность повышается в интервале 30-45 мин от начала гидратации, т. е. когда происходит повторное перемешивание в период, соответствующий падающей вязкости смеси.

В результате проведенных исследований можно сделать следующие выводы: повторное перемешивание цементно-песчаной смеси — это эффективный технологический прием, позволяющий повысить прочностные показатели изделий, имитирующих природный мрамор, для небольших дополнительных энергозатрат;

оптимальное время выдержки смеси перед повторным перемешиванием соответствует периоду, когда вязкость смеси, определенная на вибровискозиметре, принимает минимальные значения;

чем больше изменяется вязкость смеси во времени, тем выше эффект прироста прочности изделий, полученных с повторным перемешиванием смеси.

СПИСОК ЛИТЕРАТУРЫ

- Предварительная обработка бетонной смеси / В. Д. Швартарх, А. А. Ильин, В. Е. Красильников и др. // Бетон и железобетон. 1985, № 6.
- Шкигалевский В. М. Формование изделий на виброплощадках. — М.: Стройиздат, 1988.
- Азелницкая Р. Д., Чеплинская В. Ф., Погорюхин Г. Н. О применении повторного виброрирования в заводской технологии // Бетон и Железобетон. 1982, № 4.
- Калмыкова Е. В., Майялов Н. В. Исследование процессов структурообразования в цементном тесте и характеристика цементов вязким методом // Бетон и Железобетон. 1987, № 4.
- Красильный И. М., Власов В. К. Прибор для определения вязкости бетонной смеси // Бетон и Железобетон. 1984, № 10.

И. Ю. БИРМАНТАС, канд. техн. наук, Т. Ю. ВАЙЦЕКАУСКЕНЕ, инж.,
А. Ю. КАМИНСКАС, д-р техн. наук, С. А. СТУЛГИС, инж. (ВПНИИ теплоизоляции)

О стойкости некоторых силикатов к воздействию угольной кислоты

Минеральное, стеклянное и асbestos-волосок, применяемые как строительный материал, различаются химическим составом и водостойкостью, а следовательно, и долговечностью. Волосок при работе с ними попадают в виде пыли в легкие людей и при длительном воздействии могут вызвать различные заболевания. В данном случае водостойкость волоска нежелательна, так как осевшие в легких их пылинки сохраняются длительное время и постоянно оказывают механическое воздействие на живые ткани.

Для определения водостойкости каждого силикатного материала применяют различные методы, поэтому по стойкости эти материалы редко сравнивают. Например, водостойкость минеральной ваты определяют по показателю pH [1], поскольку при растворении ее пробы в разбавленной кислоте pH раствора увеличивается. Скорость растворения определяют по количеству израсходованной 0,01 н. HCl для поддержания постоянного pH во времени [2].

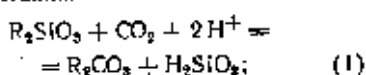
Известно, что чем больше содержится в составе кислых оксидов и чем выше степень их связывания с основными оксидами, тем меньше скорость растворения минеральной ваты в воде [3], поскольку при этом увеличивается молекулярный вес силикатного полимера,

характеризуемый кислородным числом. С увеличением кислородного числа от 2 до 4 структура полимера изменяется от пространственной через плоскостную к линейной [4].

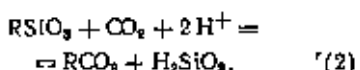
Кислородное число минеральной ваты изменяется в пределах 3,8—4,5, поэтому в ее структуре могут существовать отдельные, не связанные в полимеры силикаты, играющие решающую роль в ее водостойкости.

Целью исследований было изучить скорость растворения силикатных материалов в растворе угольной кислоты, поскольку ее действие в эксплуатационных условиях наиболее вероятно. Для выяснения причины стойкости силикатов к действию угольной кислоты в зависимости от их состава (табл. 1) решено было провести термодинамический анализ процесса гидратации и карбонатизации отдельных силикатов по методике и исходным данным, приведенным в литературе [4].

Рассмотрим реакцию карбонатизации некоторых метасиликатов при совместном участии в реакции CO_2 и H^+ по уравнению для силиката одновалентного металла:



для силиката двухвалентного металла:



Активность твердых веществ равна 1, поэтому константа равновесия реакции

$$K = \frac{1}{P_{\text{CO}_2} [\text{H}^+]^2}, \quad (3)$$

или

$$\lg P_{\text{CO}_2} = -\lg K + 2\text{pH}. \quad (4)$$

Парциальное давление углекислого газа в атмосфере составляет $10^{-3.5}$ кгс/см². Это значение во много раз превышает величину парциального давления CO_2 , необходимого для начала реакции карбонатизации силикатов при любом pH. Однако в кислой среде CO_2 не растворяется, поэтому совместная реакция не может происходить. Следовательно, реакция карбонатизации силикатов идет поэтапно. Сначала происходит растворение CO_2 в кислоте, после этого — карбонатизация.

Термодинамически наиболее стойкими к воздействию водородных ионов и углекислоты являются метасиликаты железа и магния. Так как волоска минеральной, стеклянной ваты и асбеста отличаются не только химическим составом, но и минерологическим строением, а это обстоятельство может оказаться решающим при растворении реальных материалов, целесообразно проанализировать кинетику растворения окиси измельченных ($<50 \text{ \AA}$) и немельченных волосков.

Пробы силикатного материала растворяли в воде при pH=6 по методике, описанной ранее [3]. Постоянный pH раствора поддерживали путем титрования при помощи автоматического титратора насыщенным раствором угольной кислоты, pH которой был доведен до 4. Скорость растворения силикатов рассчитывали по количеству израсходованной угольной кислоты.

Была изучена растворимость минеральной ваты различного модуля кислотности M_k , стеклянной ваты и асбеста Баженовского месторождения (см. табл. 1).

Результаты расчета скорости и времени полного растворения растертого в порошок и нерастертого волоска различного химического состава показаны в табл. 2.

По количеству израсходованной угольной кислоты (см. табл. 2) построены графические зависимости: для растертого в порошок материала (рис. 1) и проб минеральной, стеклянной ваты и

Таблица 1

№ пробы	Материал	Химический состав исследованного материала, %							
		SiO_2	Al_2O_3	Fe_2O_3	CaO	MgO	K_2O	Na_2O	M_k
1	Минеральная вата из шахты завода «Азовсталь»	40,56	8,3	0,87	43,66	4,87	0,27	1,17	1,01
2	То же, с близальтох	38,58	12,53	7,77	39,08	3,04	0,48	1,14	1,17
3	То же, с габбро-диабазом	38,3	13,73	3,18	37,88	2,78	0,97	1,33	1,31
4	Стеклянная вата	43,78	13,78	6,63	26,29	7,51	0,68	0,93	1,7
5	Асbestosовое волокно	64,74	2,38	0,29	10,7	5,16	0,48	14,49	4,23
6		42,1	0,7	1,65	0	40,8	—	—	1,05

Таблица 2

№ пробы	Содержание $\Sigma (\text{CaO} + \text{MgO} + \text{K}_2\text{O} + \text{Na}_2\text{O})$, г-экв/(г-экв·10 ⁻³), р-экв/GX $\times 10^3$	Нарасходовано волосок водорода при растертости, г-экв/(мин·10 ⁴), пробы		Скорость растворения, %,/(мин·10 ⁴), растертой	Скорость растворения, %,/(мин·10 ⁴), нерастертой	Расчетное время полного растворения, ч, пробы		Показатель водостойкости, pH
		растертой	нерастертой			растертой	нерастертой	
1	1,825	6,18	0,963	26,38	6,277	9,79	52,54	8,5
2	1,59	0,46	0,45	2,893	2,83	96	98,15	6,76
3	1,55	0,33	0,21	2,129	1,355	130,5	205	4,26
4	1,95	0,14	0,036	1,037	0,267	267,9	1040	3,6
5	1,11	0,11	0,04	0,991	0,36	280,8	771,6	2,26
6	2,04	0,66	0,011	2,745	0,054	101,2	5144	2,1

Приложение. № проб соответствует табл. 1.

распущеного асбеста в натуральном виде (рис. 2).

Как видно из приведенных данных, скорость растворения растертого асбестового порошка примерно равна скорости растворения минеральной ваты с M_2 около 1,2. По-видимому, при растворении нарушается кристаллическая структура асбеста и большого различия в химической стойкости между растертым стекловидным порошком минеральной и стеклянной ваты и порошком асбеста не обнаруживается.

Реакция между угольной кислотой и силикатами может осложниться образованием на границе раздела фаз твердого осадка карбоната. Для выяснения этого вопроса был проведен термодинамический анализ стойкости карбонатов, как одного из продуктов реакции, в кислой среде. Расчет свободной энергии реакции проводили по величинам свободных энергий образования исходных веществ и продуктов реакций, используя табличные данные [4].

Разложение карбонатов в кислой среде идет по уравнениям для карбоната

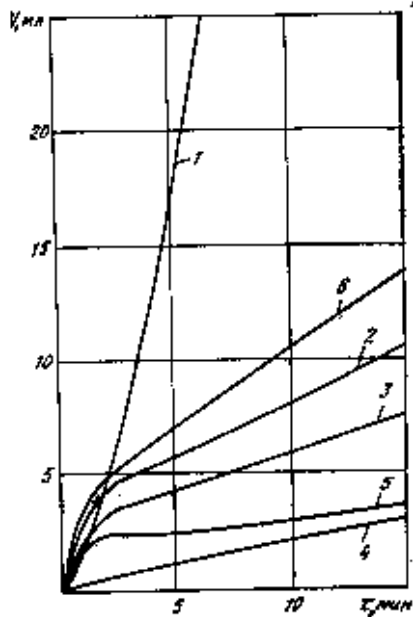


Рис. 1. Количество израсходованной угольной кислоты со временем при $\text{pH}=6$ при растворении растертого силикатного волокна (1-6 соответствует № пробы в табл. 1).

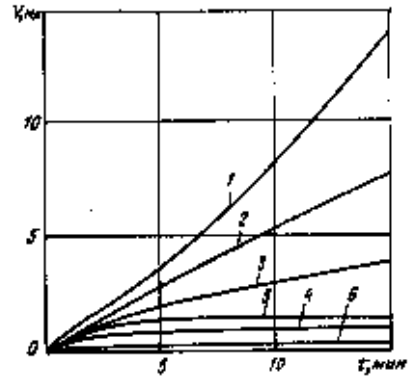
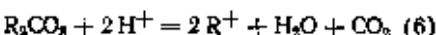
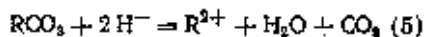


Рис. 2. Количество израсходованной угольной кислоты со временем при $\text{pH}=6$ при растворении растертого силикатного волокна (1-6 соответствует № пробы в табл. 1).

соответственно двух- и одновалентного металла с выделением CO_2 :



Константы равновесия соответственно равны

$$K_1 = \frac{[\text{R}^{2+}] \cdot \text{P}_{\text{CO}_2}}{[\text{H}^+]^2};$$

$$K_2 = \frac{(\text{R}^+)^2 \cdot \text{P}_{\text{CO}_2}}{[\text{H}^+]^4}. \quad (7)$$

Из уравнения (7) следует, что активность катионов можно рассчитать по уравнениям:

$$\lg [\text{R}^{2+}] = \lg K_1 - 2\text{pH} - \lg \text{P}_{\text{CO}_2} \quad (8)$$

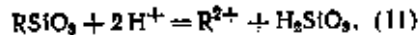
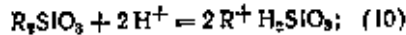
$$\lg [\text{R}^+] = \frac{1}{2} \lg K_2 - \text{pH} - \frac{1}{2} \lg \text{P}_{\text{CO}_2}. \quad (9)$$

На основе литературных данных [4] и формул (8) и (9) были рассчитаны термодинамические потенциалы и предельные величины pH раствора, характеризующие стойкость карбонатов в воде в условиях насыщения волны углекислым газом и в нормальных атмосферных условиях, при парциальном давлении CO_2 в атмосфере, равном $10^{-3.5}$ кгс/см².

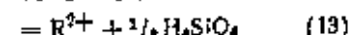
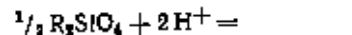
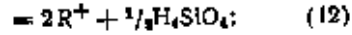
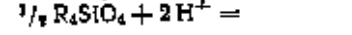
Установлено, что реакции растворения карбонатов в кислоте по уравнениям (5) и (6) являются экзотермическими ($\Delta H < 0$), кроме реакции растворения карбоната бария, при которой поглощается 1,1 кДж/моль тепла. Количество тепла, выделяемое при растворении карбонатов, увеличивается в ряду $\text{Ba}, \text{Ca}, \text{Li}, \text{Fe}, \text{Na}, \text{Mg}, \text{K}$. Свободная энергия реакции (Δ_f) уменьшается с уменьшением радиуса атома щелочноzemельного металла и с увеличением атомного радиуса щелочного металла. Наиболее стойким из рассматриваемых является карбонат железа. По такой закономерности изменяются значения $\lg K$. Таким образом, блокирование раздела фаз продуктами реакции при разложении силикатов кальция и магния не происходит.

В проведенных нами опытах растворения силикатов под $\text{pH}=6$ доминирующей стадией явилось растворение силикатов при воздействии на них ионов водорода.

Расчет термодинамических потенциалов, а также активности катиона при взаимодействии силиката с ионами водорода в воде осуществлялся с использованием уравнения для метасиликата соответственно одно- и двухвалентного металла:



а также для артосиликата соответственно одно- и двухвалентного металла:



Как видно из уравнений (10-13) для каждой реакции израсходовано по

два иона водорода для возможности сравнения значений термодинамических потенциалов между собой. Связь между свободной энергией реакции и константой равновесия в стандартных условиях рассчитывалась по формуле

$$\lg K = - \frac{\Delta_f^0}{5,707}. \quad (14)$$

Логарифмы активности катиона в зависимости от pH раствора рассчитывали по величине $\lg K$ для одновалентного катиона:

$$\lg [\text{R}^+] = \frac{1}{2} \lg K - \text{pH}; \quad (15)$$

для двухвалентного катиона:

$$\lg [\text{R}^{2+}] = \lg K - 2\text{pH}. \quad (16)$$

По формулам (15) и (16) рассчитывали предельные значения pH раствора, при которых соединения становятся неустойчивыми.

Реакция растворения силиката в кислоте является экзотермической. Расчетное количество выделяемого тепла зависит от механизма реакции, поскольку расчет энтальпии ΔH_{298}^0 и свободной энергии Δ_f^0 производится по количеству тепла, израсходованного на образование каждого соединения, участвующего в реакции. Как и при совместном действии ионов водорода и CO_2 , так и при воздействии кислоты, термодинамически наиболее стойкими являются силикаты железа и магния.

Активность катионов, выделяющихся в раствор во время реакции между ионами водорода и силикатами, уменьшается с увеличением pH раствора (рис. 3). Зависимость $\lg [\text{R}^+]$ от pH выражается прямой с угловым коэффициентом, равным валентности катиона. Следовательно, когда ионы одновалентны, эти прямые параллельны независимо от химического состава силиката.

Свободная энергия имеет значительно большее отрицательное значение для реакции с участием одновременно ио-

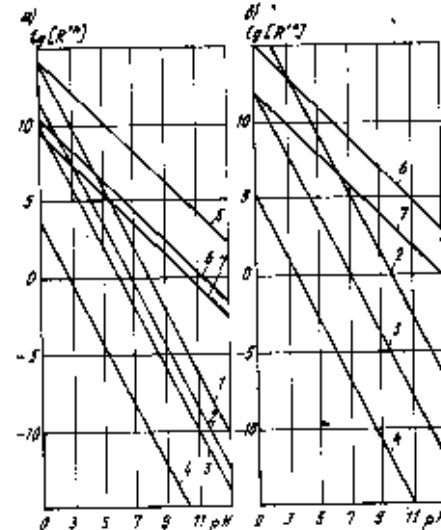


Рис. 3. Изменение активности катионов в процессе растворения под воздействием H^+ ионов силиклатов (a) и ортосиликлатов (b). Цифры: 1 — BaSiO_4 ; 2 — CaSiO_4 ; 3 — MgSiO_4 ; 4 — FeSiO_4 ; 5 — KSiO_4 ; 6 — Na_2SiO_4 ; 7 — Li_2SiO_4 .

нов водорода и CO_2 . Как видно из рис. 2, даже в этих условиях расщепленный асбест остается практически инертным к воздействию CO_2 в слабокислой среде. Минераловатные волокна сравнительно быстро подвергаются гидролизу, поэтому попавшая в легкие человека пыль растворяется.

Полученные данные послужат развитию исследований по замене асбеста

минеральной ватой в композициях с неорганическими связующими [5], а также по оформлению минераловатных изделий магнезиальными вяжущими и другими kleющими составами.

СПИСОК ЛИТЕРАТУРЫ

- Биржактас И. Ю., Химические методы определения качества минеральной ваты. — Вильнюс: Изд. ВНИИстраполимер, 1979. 156 с.
- Биржактас И. Ю., Каминская А. Ю., Тоголите Н. А. Влагостойкость минеральной ваты в слабокислой среде // Стройт. материалы. 1984, № 8.
- Вадиевская Г. Ю., Биржактас И. Ю. Влияние химического состава минеральной ваты на ее влагостойкость // Стройт. материалы. 1986, № 11.
- Бабушкин В. Н., Матвеев Г. М., Медведев-Петрович О. П. Термодинамика смесей. М.: Госстройиздат, 1972.
- Каминская А. Ю. Технология строительных материалов на магнезиальной сырье. — Вильнюс: «Мокомас», 1987.

УДК 628.749.22.003:539.214

Н. Г. МИХАЙЛОВИЧ, инж., Н. А. ГЛОТОВА, канд. хим. наук, В. С. ГОРШКОВ, д-р техн. наук (ВНИИстраполимер)

Методика определения полноты гелеобразования пластифицированного поливинилхлорида

Повышение качества ПВХ материалов, получаемых по пластизольной технологии, связано с оценкой полноты гелеобразования, обуславливающего их сдвигарно-химические и физико-механические свойства материалов. Известные методы оценки полноты гелеобразования ПВХ композиций характеризуются невысокой точностью, разбросом показателей. Испытания трудоемки и продолжительны [1—3].

Одним из наиболее быстрых является метод погружения образца в растворитель с последующим анализом изменения его поверхности [4], однако он позволяет лишь качественно оценить полноту гелеобразования.

Для количественной оценки полноты гелеобразования ПВХ, пластизольных пленочных материалов, нами был предложен метод, базирующийся на определении изменения массы образца в изодиаметровом эфире уксусной кислоты (ИАА). ИАА — растворитель, совместимый с ПВХ, не растворяющий его, но вымывающий пластификатор, с высокой температурой кипения, позволяю-

Таблица 1

Параметры желирования образцов, °С — мкн	Время выдержки образца в ИАА, мин	Количество экстрагированного ДФ, %
160—6	10	29
160—15	10	12.7
160—30	10	11
160—6	30	25.8
160—15	30	21.4
160—30	30	18
160—6	90	36.1
160—15	90	23.9
160—30	90	26.9

ющим проводить эксперимент при повышенной температуре, что обуславливает экспрессность метода анализа.

Для проведения анализа из пленок толщиной 1—1.2 мм вырубали таблетки диаметром 12 мм, помещали в мешочек из никромовой сетки с ячейкой 4 мм², подвешивали к торционным весам и опускали в терmostатированную при 50°C пробирку с растворителем. Массу образца замеряли через каждые 3—10 мин. По результатам эксперимен-

- Биржактас И. Ю., Каминская А. Ю., Тоголите Н. А. Влагостойкость минеральной ваты в слабокислой среде // Стройт. материалы. 1984, № 8.
- Вадиевская Г. Ю., Биржактас И. Ю. Влияние химического состава минеральной ваты на ее влагостойкость // Стройт. материалы. 1986, № 11.
- Бабушкин В. Н., Матвеев Г. М., Медведев-Петрович О. П. Термодинамика смесей. М.: Госстройиздат, 1972.
- Каминская А. Ю. Технология строительных материалов на магнезиальной сырье. — Вильнюс: «Мокомас», 1987.

това строили кривые зависимости изменения массы образцов от времени (рис. 1, 2). Получаемые кривые имеют экстремальный характер, положение экстремальной точки которых определяется временем достижения (мин) и абсолютной глубиной (отн. ед.) такого экстремума.

Из анализа представленных зависимостей следует, что под воздействием ИАА в пластифицированных ПВХ пленках протекают одновременно с разной скоростью два альтернативных процесса — экстракция пластификатора (преимущественно на первом этапе, I ветвь кривой) и поглощение растворителя (преимущественно на II этапе, II ветвь кривой). При этом, чем менее желирован образец, тем быстрее достигается равновесие этих процессов. Однако на первый взгляд создается впечатление, что, чем больше полнота гелеобразования, тем быстрее и в большем количестве из него извлекается пластификатор.

Для проверки этого предположения определяли абсолютные потери массы образцов после экстракции в ИАА и последующего высушивания образца до постоянной массы, т. е. количество экстрагированного пластификатора (табл. 1).

Эти результаты свидетельствуют о том, что в действительности с увеличением времени термообработки, а следовательно, полноты гелеобразования, количество извлекаемого пластификатора уменьшается как в первые моменты эксперимента, так и через 90 мин. Следовательно, увеличение глубины экстремума и времени его достижения на кривых потерь массы образцов при на-

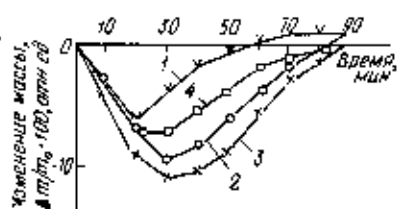
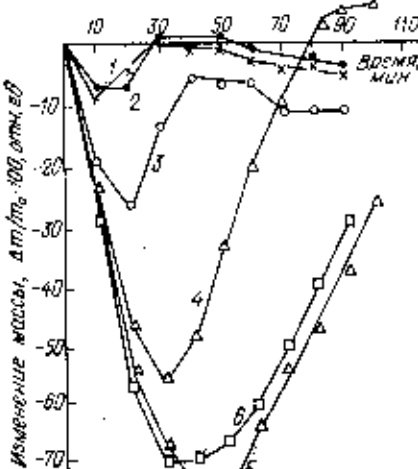
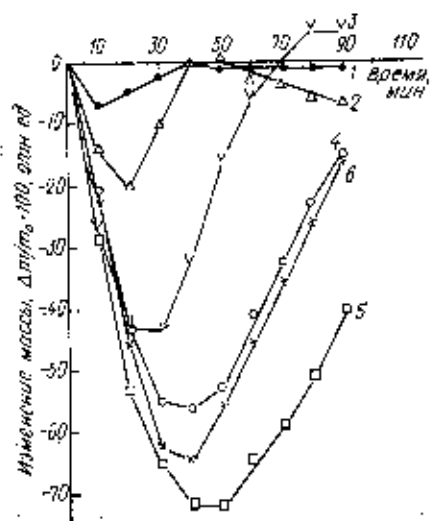


Рис. 2. Изменение массы наполненных ПВХ пленок в зависимости от времени выдержки в изодиаметровом эфире уксусной кислоты (ИАА) при температуре 160°C: 1 — 6; 2 — 15; 3 — 36; 4 — 70; 5 — 90. Температура термообработки, °С: 1 — 160; 2 — 180; 3 — 200. Время термообработки 15 мин

Рис. 1. Изменение массы ПВХ пленок в зависимости от времени выдержки в изодиаметровом эфире уксусной кислоты (ИАА) при температуре 160°C: 1 — 6; 2 — 15; 3 — 24; 4 — 36; 5 — 90. Время выдержки в изодиаметровом эфире уксусной кислоты (ИАА) при температуре 160°C: 1 — 10; 2 — 30; 3 — 50; 4 — 70; 5 — 90.

бухани, в также более острый угол наклона I ветви кривой (см. рис. 1, а) с возрастанием полноты гелеобразования обусловлены малой скоростью процесса набухания — проникание растворителя в структуру материала с более плотной сеткой геля происходит медленнее, вследствие чего вклад набухания в изменение массы образца на первом этапе (I ветвь кривой) для таких образцов уменьшается, что и проявляется в соответствующей форме кривой.

В случае образцов с недостаточной полнотой гелеобразования вследствие малой плотности трехмерной сетки геля происходят быстрая экстракция пластификатора и интенсивное набухание с большей скоростью. Поэтому угол наклона I ветви кривой больше, а протяженность ее меньше.

Таким образом, полнота гелеобразования ПВХ пластифицированных пленок характеризуется положением экстремальной точки кривой изменения $\frac{dm}{dt}$ в процессе выдержки, в растворителе, которая определяется временем достижения и глубиной этого экстремума.

Так, на рис. 1, б представлены кривые изменения массы ПВХ пленок в процессе выдержки в ИАА, полученные при разных температурах переработки в интервале 120–200°C (время термообработки 16 мин). Повышение температуры переработки до 180°C способствует возрастанию полноты гелеобразования (что подтверждается увеличением физико-механических показателей пленок) и сопровождается увеличением времени достижения (до 50 мин) и глубины экстремальной точки на кривых $\frac{dm}{dt}$, ми. Для образца № 6 время достижения экстремума уменьшается, что вероятно, вызвано «пережедированием» ПВХ пленки термообработкой при 200°C в течение 15 мин.

Аналогичные зависимости получены и для образцов после термообработки при 160°C в течение различного времени (см. рис. 1, а).

При исследовании наполненных пленочных материалов были получены подобные зависимости (см. рис. 2) с той лишь разницей, что абсолютная величина экстремумов меньше, так как введение наполнителя, увеличивая прочность структуры материала, ускоряет как извлечение пластификатора, так и поглощение растворителя. При этом время достижения экстремума остается на том же уровне.

Положительные результаты, полученные на лабораторных образцах, позволили использовать разработанную методику для оценки полноты гелеобразования промышленного линолеума, полученного промазным способом. Материалы для их основы — джут, стеклоткань и др. — не растворяются в ИАА и поглощают растворитель в несравненно меньшем количестве, чем ПВХ гель, поэтому не оказывают влияния на форму кривой изменения массы образцов линолеума.

Сравнительный анализ влияния полноты гелеобразования ПВХ линолеума на концентрацию диоктифталата в воздухе над образцами (табл. 2) показывает обратную зависимость этих данных и возможность использования раз-

Таблица 2

Концентрация ДОФ*, мг/м³	Параметры, характеризую- ющие полноту гелеобразования	
	Время дости- жения мини- мума, мин	Абсолютная величина минимума, отн. ед. $\times 10^2$
0,119	25	9,8
0,042	30	6
0	35	11
0	35	27
1,72	20	2,5
0	35	14
0,003	30	8,5
0	35	10,5
0	35	14

* Определение концентрации ДОФ в воздухе хроматографическим методом проведено Г. А. Кудрявцевой в И. Г. Карапановой.

работаний методики для прогнозирования способности линолеумов к выделению пластификаторов в газовую фазу.

Предлагаемая методика определения полноты гелеобразования может быть использована благодаря экспрессности анализа и достаточной точности испытаний в исследовательской и производ-

ственной практике с целью совершенствования технологии производства ПВХ материалов: определения оптимальных температурно-временных параметров переработки пластизолей и, следовательно, снижения энергоемкости производства в повышения качества материалов, а также разработки оптимальных составов композиций.

СПИСОК ЛИТЕРАТУРЫ

- Simonik G., Lapéik J. Stanávni lodočinacího stupň past — PVC — chemické Listy, 1975, sv. 69, N 12, 1290—1295.
- Wheeler A., Chilton D. British plastics, 1962, 35, N 12, p. 640.
- Streeler J.L. Wechselwirkung zwischen PVC — Pulver und Weichmacher und ihre anwendung. Technische verarbeitung beider weich — PVC — Iberet, Leder, schure, Leaderwaren, 1986, 11, N 1, 20—23.
- Kling D. Beurteilung des Leiterungsgrades eines aus PVC — Paste hergestellten Kunstleders, Kurtsfsotte, Bd. 41, 1951, Heft. 8, 240.
- Концентрирование и определение пластификаторов в воздушной среде; В. В. Мальцев, Г. А. Кудрявцева, В. Н. Бажников, А. П. Филиппова // БСН «Судостроение». Стр. I. 1980, Вып. 7.

УДК 669.865

Н. С. НИКОНОВА, канд. техн. наук, В. В. МИЮШИН, канд. техн. наук,
И. Н. ТИХОМИРОВА, инж. (МХТИ им. Д. И. Менделеева)

Кинетика фазообразования и твердения известково-кварцевого вяжущего с добавкой алюмината натрия

Одним из путей, позволяющих повысить качество автоклавных силикатных строительных материалов, является цепнонаправленный синтез в связующем низкоосновных гидросиликатов кальция. Эти фазы обладают высокой прочностью на растяжение и высокой удельной поверхностью, что обеспечивает хорошее их срастание и образование прочной структуры. Такими фазами являются волокнистые и игольчатые гидросиликаты кальция типа тоберкорита, ксантолита, фошагита, пектолита, кремнекислородные анионы (ККА) которых имеют цепочечную или ленточную структуру и высокую степень полимеризации кремнекислородных тетразидров.

Введение в вяжущее щелочей и соединений, имеющих щелочную реакцию, в оптимальном количестве позволяет повысить растворимость кремнезема и скорость его поступления в жидкую фазу, что стимулирует образование преимущественно низкоосновных гидросиликатов кальция [1]. В качестве таких добавок могут быть использованы щелочесодержащие промышленные отходы, в том числе и щелочные алюминаты и алюмосиликаты.

Авторы попытались проследить кинетические закономерности процессов, протекающих при автоклавном твердении известково-кварцевого вяжущего с добавкой NaAlO_2 , взятой в оптимальном количестве — 1% сверх массы вяжущего. Полученные характеристики сравнивались с аналогичными данными для образцов, приготовленных на основе бездобавочного вяжущего. Сырьевые смеси готовили из молотого Вольского песка с удельной поверхностью 400 m^2/kg и негашеной извести активностью 98%. Активность массы составляла 30%, форковочная влажность — 30%. Гидратационную обработку образцов проводили в лабораторном автоклаве. Время подъема температуры от комнатной до 175°C (избыточное давление 8 kgs/cm^2) — 2 ч.

Схема анализа образцов включала в себя комплекс химических и физико-химических методов: кинетический молибдатный анализ, химический анализ оксида кремния и оксидов металлов, дериватографию, ДТА, РГА, а также физико-механические испытания. Совокупность этих методов позволила получить количественную информацию о составе гидросиликатного материала

Составные части ГСМ	π_1	δ_1 , %	π_1	δ_1 , %	π_1	δ_1 , %	π_1	δ_1 , %	π_1	δ_1 , %
	При изотермической выдержке, ч									
	0	2	4	6	8					
Контрольные образцы										
Кислотогенит- вторичная часть ГСМ	1 2 3,7 67	0 9,5 29,7 42	5 2 8,4 56,4	5,6 0 24,9 1330,8	1 2 11,1 51,2	1,1 0,6 0,9 102,5	1 2 5,8 26,8	0 11 9 69,4	1 2 3,8 69,4	0 11,1 16,8 16,8
Псевдомор- фоз	19968	18,6	16305	13,2	12834	46,2	11739	54,2	1464	67,1
N_{cp}	3787,7		2940		5996,2		6392,4		9514,6	
Образцы с добавкой 1% NaAlO_2										
Кислотогенит- вторичная часть ГСМ	1 2 3 123	0 0 25,8 20,3	1 2 10,1 52,1	0 2 30,5 21,3	1 2 14,7 30	0 2 7,3 14,7	1 2 19,8 66,4	0 11,2 11,2	1 2 3,6 0,4	0 19,1 20,6
Псевдомор- фоз	193019	51,2	23847	48,2	20425	88,0	17888	69,2	11878	57,8
N_{cp}	9911,7		11496		14186		12372		6896,8	

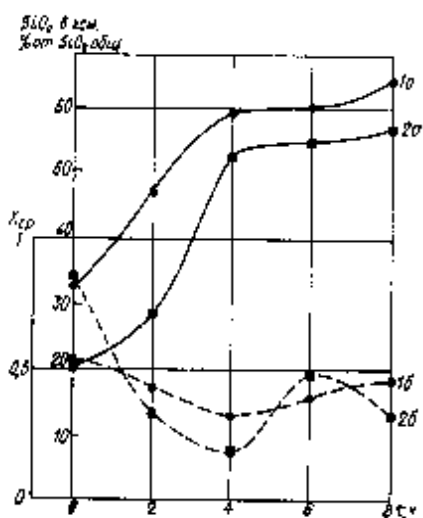


Рис. 1. Количество SiO_2 , связавшегося в гидросиликаты кальция, % общего содержания SiO_2 в образце (а); средневзвешенная основность кремнекислородных анионов в ГСМ (X_{cp}) в зависимости от времени изотермической выдержки (б). 1 — образцы с добавкой 1% NaAlO_2 ; 2 — контрольные образцы

(ГСМ) и о степени полимеризации кремнекислородных анионов в отдельных фазах. В работе использовали прием разделения всего гидросиликатного материала на две составляющие [2]: 1) — кислотогенитовую часть ГСМ (гидросиликаты, перешедшие в раствор 0,15 н. HCl за 30 мин непрерывного перемешивания при температуре $2 \pm 1^\circ\text{C}$), в которой масс-молекулярное распределение ККА получали расчетом на ЭВМ СМ-4 данных кинетических молибдатных кривых по методу, предложенному Э. В. Чекуновой, Н. И. Малевским [3]; 2) — псевдоморфоз, состоящий из высокополимеризованных фаз гидросиликатов и кварца, в котором определяли среднюю основность

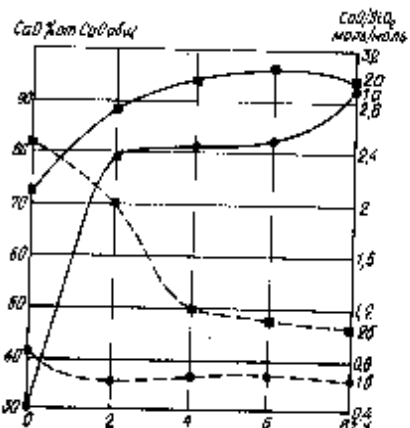


Рис. 2. Кинетика набора прочности при изотермической выдержке (а); б — среднее мольное отношение CaO/SiO_2 в ГСМ в зависимости от времени изотермической выдержки. 1 — образцы с добавкой 1% NaAlO_2 ; 2 — контрольные образцы

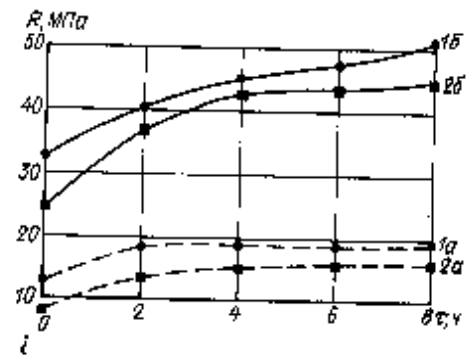


Рис. 2. Количество CaO , связавшегося в гидросиликаты кальция (а), % от общего содержания CaO в образце; б — среднее мольное отношение CaO/SiO_2 в ГСМ в зависимости от времени изотермической выдержки. 1 — образцы с добавкой 1% NaAlO_2 ; 2 — контрольные образцы

кремнекислородных анионов по водороду по совокупности данных термографии, метрического и химических анализов. Все это позволило получить более полную информацию о количественном распределении фаз в образце.

Рентгенофазовый и термографический анализ образцов показали, что при введении в вяжущее 1% алюмината натрия гидратные ковообразования оказываются представленными только гидросиликатами кальция, т. е. ионы натрия и алюминия встраиваются в их структуру, не образуя самостоятельных фаз.

Общее содержание SiO_2 в гидросиликатном материале (рис. 1, а) при добавке больше, чем в контрольных образцах во все сроки твердения. Однако скорость связывания SiO_2 выше в начальные сроки автоклавной обработки — в период подъема температуры и давления в автоклаве и в течение примерно первых 2 ч изотермической выдержки, но затем она несколько снижается и сравнивается со скоростью связывания SiO_2 в образцах контрольной серии. К моменту начала изотермического этапа твердения в образцах со щелочной добавкой количество SiO_2 , связавшегося в гидросиликаты кальция, примерно в два раза выше, чем в образцах без добавок. Это может быть связано как с более ранним началом процессов фазообразования и большей их скоростью, так и с образованием преимущественно кнаукоосновных фаз гидросиликатов кальция.

Обратная картина наблюдается при рассмотрении влияния добавки на кинетику связывания $\text{Ca}(\text{OH})_2$ (рис. 2, а). Но на поздних сроках твердения (после 7—8-часовой изотермической выдержки) процесс ускоряется вследствие того, что все катионы натрия уже вошли в структуру новообразований, и скапливается их торнозящее действие на усвоение известков.

На основании данных о количестве SiO_2 , оксидов металлов, CO_2 , а также кристаллизационной, силиконовой и гидроксильной воды, вошедших в структуру гидросиликатов кальция, было рассчитано количество гидросиликатного материала в процентах от массы образца (рис. 3). Величина среднего по всему гидросиликатному материалу мольного отношения CaO/SiO_2 в твердой фазе является интегральной характеристикой (рис. 2, б) и по ее изменению в процессе гидротермальной обработки можно сделать вывод о том, что при введении оптимального количества NaAlO_2 процесс фазообразования идет одностадийно, в отличие от бездобавочного вяжущего, в котором на начальном этапе изотермической выдержки образуются высокоосновные гидросиликаты кальция. Однако более детально отражают процессы формирования фаз ГСМ и их анионной структуры изменения масс-молекулярных распределений кремнекислородных анионов (см. таблицу), а также средневзвешенные величины основности и степени полимеризации ККА гидросиликатов кальция (рис. 1, а, б, и в таблице), вычисляемые по формулам:

$$X_{cp} = \sum_{i=1}^k g_i / \pi_i; N_{cp} = \sum_{i=1}^k g_i \cdot \pi_i.$$

Где n_1 — количество 1-й фракции ГСМ, доли единицы; n_2 — средняя степень полимеризации ККА 1-й фракции; x_1 — средняя основность ККА 1-й фракции в пересчете на 2-валентный металл.

Анализ этих данных позволяет заключить, что доля высших полимеров и средняя степень полимеризации при введении добавки выше, чем в контрольных образцах, однако к концу изотермического этапа автоокислительной обработки разница между этими характеристиками для той и другой серии образцов уменьшается. Вероятно, влияние щелочных добавок на процесс формирования анионной структуры новообразований наиболее сильно проявляется на начальных этапах твердения. Следует отметить отсутствие образцов с добавкой алюмината натрия даже на ранних стадиях гидросиликатов кальция с мономерными и димерными ККА. Все это подтверждает ранее уже сделанный вывод о том, что фазообразование в этом случае происходит более плавно, т. е. без резких изменений в

структуре гидросиликатов и, следовательно, без нежелательных внутренних напряжений в структуре камня, возникающих при перекристаллизации высокососновых фаз в низкоосновные.

Сопоставляя изменения количества ГСМ, кинетики набора прочности (рис. 3) и изменение средневзвешенной степени полимеризации (см. таблицу), можно заключить, что прочность материала зависит не только от количества гидросиликатной связки ($H_{\text{гсм}}$), но и от его качественной характеристики, которую отражает распределение ККА по степени полимеризации.

Математическая обработка данных по методу линейной регрессии позволила найти связь между прочностью на сжатие образцов $R_{\text{сж}}$, величиной $H_{\text{гсм}}$ и средневзвешенной степенью полимеризации кремнекислородных анионов $N_{\text{ср}}$. При уровне значимости 0,95 лучшим оказалось уравнение

$$R_{\text{сж}} = a + b H_{\text{гсм}} N_{\text{ср}}$$

для которого коэффициент корреляции составил 0,845. При этом расчетный критерий Фишера более чем в три раза выше табличного значения. Таким образом, это уравнение может быть использовано в первом приближении для прогнозирования свойств материала.

СИСТОМЫ ЛИТЕРАТУРЫ

- Гимашев В. В., Сычева Л. И., Никонова Н. С. Теория и практика самоармирования вяжущих материалов // Тез. докл. Всесоюз. конф. по химической химии и физико-химической механике. — Ташкент, 1984. Ч. 6.
- Комплексный метод анализа фазового состава высокополимеризованных силикатов / Н. И. Малышевский, Э. В. Чечурова, Г. К. Александрова, Е. И. Мартынова / Моск. инж.-стройт. институт. — Чернаводы, 1986. — Деп. в ОНИИ-ТЭХИМ 16.12.86, № 1136 XII-86.
- Чечурова Э. В., Малышевский Н. И. Применение статистического метода расчета при обработке данных молибдатного кинетического анализа силикатов / Моск. инж.-стройт. институт. — Чернаводы, 1986. — Деп. в ОНИИ-ТЭХИМ 27.11.85, № 1137 XII-85.

Рефераты опубликованных статей

УДК 666.198.621.745.012

Управляющие воздействия на ход загравочного процесса в производстве минеральной ваты / К. К. Эйдукович, Г. П. Абрахам, Я. М. Гордов / др. // Стройт. материалы. 1989. № 10. С. 6—8. Приведены результаты промышленного внедрения управляющих воздействий на тепловую и газодинамическую рабочую зону загражки минерального производства. Отработаны режимы плавки шихты при работе загражки на 20 и 18 футах. На основе анализа полученных ядер распределения температур показаны пути повышения производительности печек и сокращения расхода кокса. В результате проведенных работ производительность загражки возросла на 11%. Ил. 3, табл. 2, библ. 4.

УДК 666.3.041.54.654.589

Реконструкция шахтных печей на природном газе / П. А. Старожилов, С. Л. Гершман, И. М. Черкасский и др. // Стройт. материалы. 1989. № 10. С. 6—9. Описана реконструкция шахтных печей для обжига известняка на природном газе Трапольского завода силикатных строительных материалов, позволяющая увеличить производительность печей, улучшить качество выпускаемой известняка. Ил. 1.

УДК 666.971.16.001.4

Оценка эффективности классификации минеральных добавок и цемента и бетонам / С. А. Высоцкий, М. И. Бруссер, В. П. Смирнов, А. М. Царик / Стройт. материалы. 1989. № 10. С. 9—11. Рассмотрен метод оценки эффективности использования различных минеральных добавок в производстве цемента и бетонов стандартного состава. Предложена классификация минеральных добавок. Приведены рекомендации по применению добавок различных групп по эффективности в бетонах. Табл. 3.

УДК 679.8.02.852.002.2

Патрой Н. А. Критерии определения оптимальных параметров разработки песчано-гравийных месторождений земснарядами / Стройт. материалы. 1989. № 10. С. 10—13. Предлагается экономический критерий определения оптимальных параметров разработки песчано-гравийных месторождений земснарядами. Приведено сравнение оптимальных показателей работы земснаряда, определенных по различным критериям. Табл. 1, библ. 1.

УДК 674.615.41

Мартынов В. И., Леонович А. А. Огнезащищенные древесно-стружечные плиты / Стройт. материалы. 1989. № 10. С. 17—18. Описана технология получения огнезащищенных древесно-стружечных плит с добавкой порошкового антипараэра фахкор в двойной дозировке. Приведены рецептуры для промышленного изготовления плит. Показаны характеристики горючести, токсичности и дымообразующей способности изделий. Табл. 4, библ. 2.

УДК 681.815.6.532.34

Тарасова Г. И., Ильинцев И. Е., Паус С. К. Сухая побелка и беззолиффикация деревянных // Стройт. материалы. 1989. № 10. С. 20. Предложены составы побелок и беззолиффикаций шпаклевок для внутренних строительных отделочных работ: побелки бетонных, деревянных в кирзовых опалубках поверхностей зданий. Исследованы свойства предлагаемых составов. С целью увеличения адгезии к обработанным поверхностям и водостойкости отделочных составов в них вводят в качестве добавок исследованные отходы химической промышленности — кубовая остатка дистилляции кипролактана (КОДК). Табл. 3, библ. 4.

УДК 669.234.004.3:681.2.004.14

Щербаков П. Н. Электронно-вычислительная система контроля загрузки автосамосвалов // Стройт. материалы. 1989. № 10. С. 21—22. Приведено описание электронно-вычислительной системы, позволяющей извещать горные породы непосредственно при их погрузке в кузов автосамосвала. Контроль комбайнальной его загрузки осуществляется как со стороны водителя, так и машиниста экскаватора. Для передачи информации с автосамосвала на экскаватор с массой погруженных горных пород применяется индуктивная связь, исключающая использование средства и канала радиосвязи. Электронно-вычислительная система может найти широкое применение в АСУ автомобильным транспортом на карьерах. Ил. 2.

УДК 666.198.001:620.169.1

К вопросу прогнозирования срока службы кристаллизующихся минеральных волокон / Ю. П. Горлов, Г. С. Раевская, Р. В. Наглова, А. А. Устенко // Стройт. материалы. 1989. № 10. С. 23—24. Приведены результаты долговременных испытаний кристаллизующихся минеральных волокон в промышленных условиях при температуре 1000°C. Установлено, что прочность волокон уменьшается на 15% в течение первых суток эксплуатации в связи с ростом кристаллов и формированием кристаллической структуры волокон, в дальнейшем снижение прочности замедляется. На основании физико-химических исследований показано, что такое поведение волокон обусловливается прекращением роста кристаллов и стабилизацией структуры волокон. Прогнозируемый срок службы кристаллизующихся минеральных волокон при температуре 1000°C равен 22 мес. Ил. 2, библ. 4.

УДК 668.79:68.011.4

Черных В. Ф., Огурцова О. С., Некорошев А. В. Реологические свойства цементно-песчаных смесей при повторном перемешивании // Стройт. материалы. 1989. № 10. С. 24—25. Приведены данные по хистике вязкости цементно-песчаных смесей, выдержаных определенное время и повторно перемешанных, приведенных для изготовления бетонных плит, кирпичных крахор. Установлено, что повторное перемешивание цементно-песчаной смеси является эффективным технологическим приемом, позволяющим улучшить прочностные показатели изделий при больших дополнительных энергозатратах. Оптимальное время выдержки смеси перед повторным перемешиванием соответствует периоду, когда вязкость смеси, определенная на вибропиезометре, приближается минимальным значениям. Ил. 2, библ. 5.

УДК 666.198.001:678.019.3

Остойчивость некоторых силикатов к воздействию угольной кислоты / И. Ю. Бирманта, Г. Ю. Вайдекус и др., А. Ю. Кважиаха и др., С. А. Стульгин / Стройт. материалы. 1989. № 10. С. 25—26. Приведены результаты изучения скорости растворения минерального и стеклянной ваты, а также asbestosового волокна в растворе угольной кислоты при постоянном рН=6. Показано, что скорость растворения верасторого и расторгутого asbestosового волокна сильно различаются, так как при растирании волокна происходит разрушение кристаллической решетки. Стойкость верасторого asbestosового волокна значительно превосходит стойкость минерального волокна. Проведен термодинамический анализ реакции между силикатами различного состава и ионами водорода при отсутствии и присутствии CO₂. Установлено, что наиболее стойкими являются силикаты железа и марганца и что стойкость металлофосфатов значительно превосходит стойкость орто-силикатов. Для расчета предельного зачехления pH, характеризующего стойкость силикатов, Ил. 3, табл. 2, библ. 5.

IN THE ISSUE

Ashmarin G. D., Sheinman E. Sh. High mechanized brick production plant of small capacity for rural construction
Grizans V. M. Determining the capacity of some process stages and transportation flows at ceramic building material plants
Eidukajevichus K. K., Abramov G. P., Gordon Ja. M., Ischutinov A. D., Savochkin N. G., Pushchenko A. N. Monitoring cupola furnace processes in the mineral wool production
Starominskaja P. A., Gershmann S. L., Cherkassky I. M., Mironenko N. G., Danilevitch A. V., Dutschak L. G. Reconstruction of shaft-type lime burning kilns operating on natural gas
Vysotsky S. A., Brusser M. I., Smirnov V. P., Zarik A. M. Efficiency evaluation and classification of mineral additives to cements and concretes
Petrov N. A. The criteria for determining optimum parameters for excavation of sand-gravel deposits by dredgers
Karassjov Ju. G., Konkin V. V. The choice of mining work development trends at natural stone quarries
Kaganovich M. I., Michel Z. G., Shekhtman L. E. Speeding up asbestos cement hardening process by means of distillate liquid
Martynjuk V. I., Leonovich A. A. Fire-resistant wood chipboards
Larkina V. I. A new generation of water-dispersive adhesive mastics Divitex used for building purposes
Tarašova G. I. Dry whitening and puttying without natural oil
Scherbakov P. N. Electronic computing system for dump truck loading control
Gorlov Ju. P., Rajevskaja G. S., Vagapova R. V., Ustenko A. A. Prediction of the service life of mineral fibres subjected to crystallization
Chernykh V. F., Ogurzova O. S., Nekhoroshev A. V. Rheological properties of cement-sand mixes in case of repeated mixing
Birmantas I. Ju., Vaitsekauskene G. Ju., Kaminskas A. Ju., Stulgis S. A. The resistance of some silicates to coal acid effect
Mikhailovitch N. G., Glotova N. A., Gorschkow V. S. The methods of determining the extent of gel formation of plasticized polyvinyl chloride

IN DER NUMMER

Ashmarin G. D., Scheinman E. Sch. Hochmechanisierte Ziegeliabrie kleiner Leistung für ländliches Bauwesen
Grizans W. M. Bestimmung der Leistung von einigen technologischen Stufen und Verkehrsflüssen auf den Betrieben zur Herstellung von keramischen Baustoffen
Eidukajewichus K. K., Abramov G. P., Gordon Ja. M., Ischutinov A. D., Savochkin N. G., Paschischenko A. N. Wirkung der Prozeßsteuerung im Kupolofen für Mineralwolleerzeugung
Starominskaja P. A., Gershmann S. L., Tscherkasski I. M., Mironenko N. G., Danilevitch A. V., Dutschak L. G. Rekonstruktion des auf dem Naturgas arbeitendem schachtartigen Kalkbrennofen
Wysokij S. A., Brusser M. I., Smirnov V. P., Zarik A. M. Wirksamkeitsbewertung und Klassierung von mineralischen Zusätzen zu Zementen und Beton
Petrov N. A. Kriterien der Bestimmung von optimalen Parametern des Abbaues von Sand-Kies Gewinnungsstellen mit Saugbaggern
Karassjov Ju. G., Konkin V. V. Auswahl der Entwicklungsrichtung für Bergbauarbeiten in den Gruben zur Natursteinengewinnung
Kaganowitsch M. I., Mischehl S. G., Schechtmann L. E. Beschleunigung der Erhärtung des Asbestzements mittels Destillationswasser
Martynjuk W. M., Leonowitsch A. A. Feuerbeständige Holzspanplatten mit schwer lösenden Anionenpolyphosphat
Larkina W. I. Neue Generation von wasserigen dispergierten Klebemassen (Divitex) für Bauzwecke
Tarašova G. I. Trockenwelgen und Spachtelung ohne Firnis
Schtscherbakow P. N. Elektronisches Rechensystem zur Regelung der Selbstkipperbeladung
Gorlov Ju. P., Rajewskaja G. G., Vagapowa R. B., Ustenko A. A. Vorausberechnung der Lebensdauer von kristallisierten Mineralfasern
Tschernykh V. F., Ogurzowa O. S., Nekhoroshev A. V. Les propriétés rhéologiques des mélanges ciment-sable au brassage répété
Birmantas I. Y., Vaitsekauskene G. Y., Kaminskas A. Y., Stulgis S. A. La résistance des silicates à l'action de l'acide carbonique
Mikhailowitch N. G., Glotova N. A., Gorschkow V. S. Methoden der Bestimmung von Geltüle in plastifiziertem PVC

DANS LE NUMERO

Achmarine G. D., Sheinman E. Ch. Une briqueterie hautement mécanisée de faible capacité pour le génie rural
Grizans V. M. Le rendement de certains processus technologiques et de transports aux entreprises de matériaux de construction des murs en céramique
Eidoukajewichus K. K., Abramov G. P., Gordon Ya. M., Ischutinov A. D., Savotchkine N. G., Pachischenko A. N. Les effets dirigeant le processus de cubage dans la production de la laine minérale
Starominskaja P. A., Guerchman S. L., Tcherkasski I. M., Mironenko N. G., Danilevitch A. V., Doutchak L. G. La reconstruction des fours verticaux à gaz naturel pour la cuisson de la chaux
Vysotski S. A., Brousser M. I., Smirnov V. P., Tsarik A. M. L'évaluation de l'efficacité et la classification d'adjunto-minéraux aux ciments et bétons
Petrov N. A. Les critères de paramètres optimaux pour l'exploitation des gisements de sables et de gravier avec drague à sucction
Karassjov Y. G., Konkin V. V. L'orientation des travaux miniers dans les carrières de pierre naturelle
Kaganowitsch M. I., Michel Z. G., Chekhtman L. E. L'accélération du durcissement de l'amiante ciment à l'aide du liquide distillé
Martynjuk V. I., Léonovitch A. A. Les panneaux de particules de bois agglomérées résistantes au feu
Larkina V. I. La nouvelle génération de mastics pour collage de dispersion aqueuse Divitex destinés à la construction
Tarašova G. I. Le badigeon sec et le mastic sans huile siccative
Chtscherbakow P. N. Le système de contrôle électronique de chargement de camions à beton
Gorlov Y. P., Rajewskaja G. S., Vagapova R. V., Oustenko A. A. Le pronostic de la durée de vie des fibres minérales cristallisables
Tschernykh V. F., Ogurzowa O. S., Nekhoroshev A. V. Les propriétés rhéologiques des mélanges ciment-sable au brassage répété
Birmantas I. Y., Vaitsekauskene G. Y., Kaminskas A. Y., Stulgis S. A. La résistance des silicates à l'action de l'acide carbonique
Mikhailowitch N. G., Glotova N. A., Gorschkow V. S. La méthode de déterminer la propriété de gélatinisation du polyvinylechlorure plastifié

Редакционная коллегия:

Л. А. МАТЕТТИ (главный редактор), М. Г. РУБЛЕВСКАЯ (зам. главного редактора),
Н. В. АССОВСКИЙ, А. С. БОЛДЫРЕВ, Ю. М. ВИНОГРАДОВ, А. В. ВОЛЖЕНСКИЙ,
Х. С. ВОРОВЬЕВ, Ю. А. ВОСТРЕЦОВ, Ю. В. ГУДКОВ, Б. К. ДЕМИДОВИЧ, Л. Б. ЗАВАР.
А. Ю. КАМИНСКАС, П. М. ЛУКЬЯНЧУК, А. Н. ЛЮСОВ, Б. П. ПАРИМБЕТОВ,
А. Ф. ПОЛУЯНОВ, С. Д. РУЖАНСКИЙ, Ю. Л. СПИРИН, И. В. УДАЧКИН,
Н. Н. ФИЛИППОВИЧ, Л. С. ВЛЬКИНД

Оформление обложки художника
А. Д. Ильши

Технический редактор Е. Л. Сангурова
Корректор М. Е. Шабалина,
Кирьянова И. А.

Сдано в набор 20.08.89.
Подписано в печать 03.10.89.
Формат 60×90 $\frac{1}{2}$. Бумага химико-журнальная
Печать высокая Усл. л. 4.0
Усл. кр.-отт. 6.0 Уч.-изд. л. 6.30
Тираж 14500 экз. Зак. № 302 Цена 80 к.

Подольский филиал ПО «Периодика»
Государственного комитета СССР по печати
142110, Подольск, ул. Кирова, д. 35